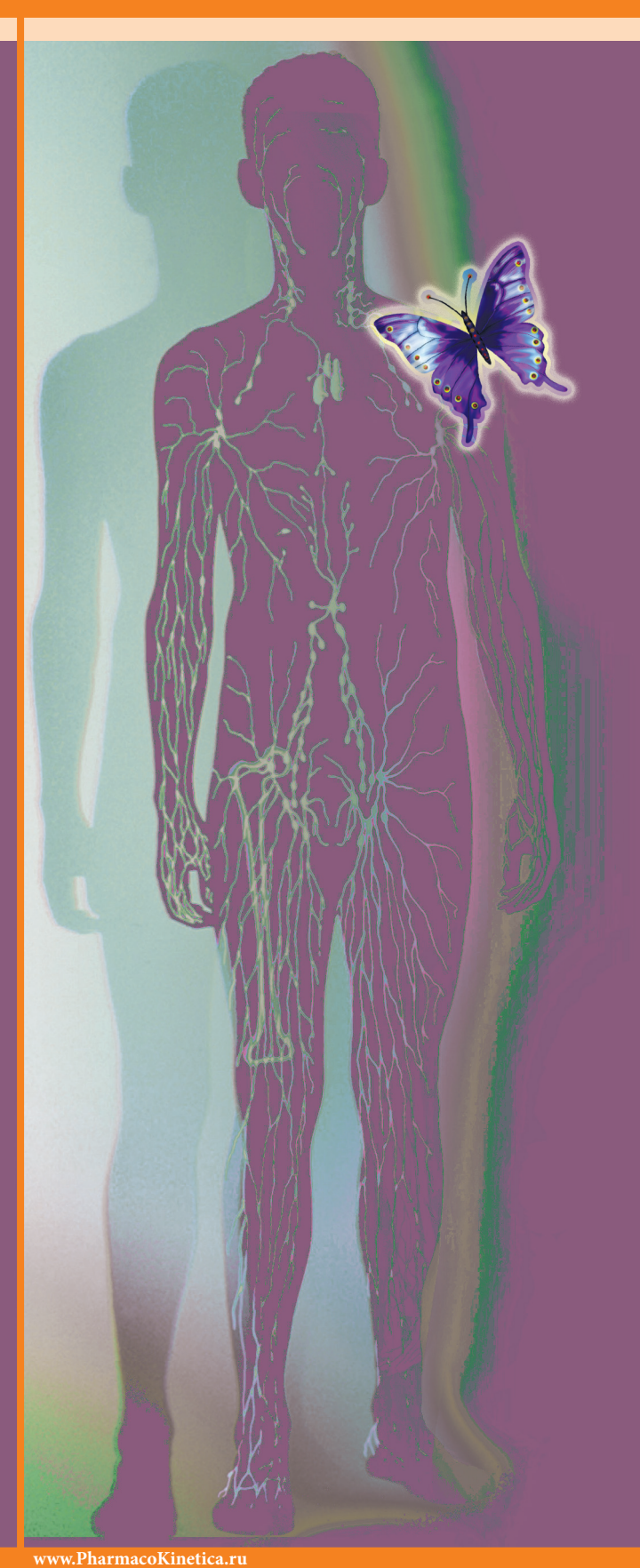
DAD KIKHETIKA W AKKAMIKA



No 4.2019



www.HealthEconomics.ru

18 Лет работы

230 +Исследований

220 +Публикаций Партнёров

Комплексная оценка для включения в ограничительные перечни



Оценка эффективности и безопасности



Фармакоэкономический анализ

- систематический обзор и метаанализ
- сетевой метаанализ

- анализ "затраты-эффективность"
- анализ "затраты-полезность"
- анализ "минимизации затрат"
- анализ влияния на бюджет



Разработка моделей в MS Excel



Подготовка досье на включение в

- модель "дерево решений"
- модель Маркова
- гибридная модель
- калькулятор

- перечень ЖНВЛП
- перечень ОНЛС
- перечень ВЗН
- минимальный ассортимент

Также Центр занимается:

- оценкой технологий здравоохранения
- фармакоэпидемиологическими исследованиями
- изучением качества жизни, связанного со здоровьем
- неинтервенционными исследованиями

По вопросам сотрудничества обращаться к:



Белоусов Дмитрий Юрьевич Ведущий специалист +7 (910) 449-22-73 clinvest@mail.ru



Чеберда Алексей Евгеньевич Исполнительный директор + 7 (963) 999-77-69 aecheberda@healtheconomics.ru



Афанасьева Елена Владимировна Генеральный директор + 7 (910) 400-88-87 eva88@list.ru

MO4 2019



Главный редактор Жердев Владимир Павлович

д.м.н., профессор, заслуженный деятель науки РФ, Москва

Зам. главного редактора Фирсов Александр Алексеевич

член-корр. РАН, д.б.н., профессор, Москва

Ответственный секретарь Литвин Александр Алексеевич д.б.н., Москва

Редакционная коллегия

Бондарева Ирина Борисовна д.б.н., Москва

Воронина Татьяна Александровна заслуженный деятель науки

РФ, д.м.н., профессор, Москва

Громова Ольга Алексеевна д.м.н., профессор, Москва

Дурнев Андрей Дмитриевич член-корр. РАН, д.м.н.,

профессор, Москва Ковалёв Георгий Иванович

д.м.н., профессор, Москва

Колик Лариса Геннадьевна д. б. н., профессор РАН, Москва

Колыванов Геннадий Борисович, д.б.н., Москва

Мирзоян Рубен Симонович заслуженный деятель науки

РФ, д.м.н., профессор, Москва Раменская

Галина Владиславовна д.ф.н., профессор, Москва Сариев Абрек

. Куангалиевич д.м.н., профессор, Москва

Спасов Александр Алексеевич академик РАН, д.м.н. профессор, Волгоград

Смирнов Валерий Валерьевич, к.ф.н., Москва

Стародубцев Алексей Константинович д.м.н., профессор, Москва

Сычёв Дмитрий Александрович член-корр. РАН, д.м.н.,

профессор, Москва

Тюренков Иван Николаевич член-корр. РАН, д.м.н. профессор, Волгоград

д.б.н., профессор РАН, Москва

Выпускающая группа

Белоусов Дмитрий Юрьевич ... Ответственный за выпуск

+7(910)449-22-73 e-mail: clinvest@mail.ru

Афанасьева **Елена Владимировна**

Генеральный директор ООО «Издательство ОКИ» подписка +7(916) 986-04-65 e-mail: eva88@list.ru caŭm: www.izdat-oki.ru

Жук Елена Владимировна

Дизайн и верстка e-mail: elenazuk70@mail.ru

Подписано в печать 25.12.2019 г. Тираж 400 экз. **Типография:** ООО «Буки Веди», www.bukivedi.com 115093, г. Москва, Партийный переулок, д. 1, корп. 58, стр. 3, пом. 11

Адрес редакции: 125315, Москва, ул. Балтийская, 8 ФГБНУ «НИИ фармакологии имени В.В. Закусова» РАН Тел./Факс: + 7 (495) 601-21-57; e-mail: zherdevpharm@mail.ru

Журнал «Фармакокинетика и Фармакодинамика» является приложением к журналу «Качественная клиническая практика». Журнал «Качественная клиническая практика» зарегистрирован Комитетом РФ по печати 28.05.2001 г. Свидетельство о регистрации средства массовой информации ПИ № 77-9142. Авторские материалы не обязательно отражают точку зрения редакции. Редакция не несет ответственности за достоверность информации, содержащейся в рекламных материалах.

www. Antibiotics-Chemotherapy.ru www.ClinVest.ru www.Hospital-Apteka.ru www.PharmacoGenetics-PharmacoGenomics.ru Фармакогенетика и Фармакогеномика

Журналы

Антибиотики и Химиотерапия Качественная клиническая практика Дайджест «Больничная аптека»

www.HealthEconomics.ru www.Market-Access-Solutions.ru www.izdat-Oki

Центр Фармакоэкономических Исследований Market Access Solutions Издательство ОКИ

ОБЗОРЫ

Лиганды сигнальных белков Ерас как инструменты для изучения их биологической активности и создания новых оригинальных лекарственных средств

ДОКЛИНИЧЕСКИЕ ИССЛЕДОВАНИЯ **ФАРМАКОДИНАМИКИ**

Исследование кардиотропной активности орто-алкокси аналогов соединения АЛМ-802 Мокров Г. В., Лихошерстов А. М., Барчуков В. В., Столярук В. Н., Цорин И. Б., Вититнова М. Б., Крыжановский С. А., Гудашева Т. А. 18

Антидепрессивные свойства дипептидного миметика мозгового нейротрофического фактора ГСБ-106 в тесте Порсолта при внутрибрюшинном субхроническом и хроническом введении мышам Таллерова А. В., Поварнина П. Ю., Минаев С. В.,

ЭКСПЕРИМЕНТАЛЬНАЯ ФАРМАКОКИНЕТИКА

Разработка и валидация методики количественного определения соединений ГЗК-111 и ЦПГ в плазме крови крыс с использованием метода ВЭЖХ с масс-спектрометрическим детектированием Подолько А. Л., Бочков П. О., Колыванов Г. Б., Литвин А. А.,

ТОКСИКОЛОГИЧЕСКИЕ ИССЛЕДОВАНИЯ

Исследование хронической токсичности готовой лекарственной формы ГБ-115 Сорокина А. В., Алексеева С. В., Мирошкина И. А., Забродина В. В., Колик Л. Г., Дурнев А. Д. 37

Исследование аллергизирующих свойств и иммунотоксического действия лекарственного препарата Гомеовокс Коваленко Л. П., Иванова Е. А., Лапицкая А. С., Коржова К. В., Журиков Р. В. 45

PHARMACODYNAMICS PHARMACODYNAMICS

Mo4 2019



Chief editor **Zherdev Vladimir**

Ph.D., Professor, Honored Scientist of the Russian Federation, Moscow

Deputy chief editor Firsov Alexander

Corresponding Member RAS, Ph.D., Professor, Moscow

Executive secretary Litvin Alexander Ph.D., Moscow

Editorial Board

Bondareva Irina

Ph.D., Moscow

Voronina Tatiana

Honored Scientist RF, Ph.D., Professor, Moscow

Gromova Olga

Ph.D., Professor, Ivanovo

Durney Andrey

Corresponding Member RAS, Ph.D., Professor, Moscow

Kovalev Georgy

Ph.D., Professor, Moscow

Colic Larisa

Ph.D., Professor, Moscow

Kolyvanov Gennady

Ph.D., Moscow

Mirzoyan Ruben

Honored Scientist RF, Ph.D., Professor, Moscow

Ramenskaya Galina

Ph.D., Professor, Moscow

Sariev Abrek

Ph.D., Professor, Moscow

Spasov Alexander

RAS, Ph.D., Professor, Moscow

Smirnov Valery

Ph.D., Moscow

Starodubtcev Alex

Ph.D., Professor, Moscow

Sychev Dmitry

Corresponding Member RAS, Ph.D., Professor, Moscow

Tyurenkov Ivan

Corresponding Member PAS, Ph.D., Professor, Volgograd

Graduate group

Belousov Dmitry

Responsible for this issue +7(910)449-22-73 e-mail: clinvest@mail.ru

Afanasyeva Elena

CEO in LLC «Publishing OKI» subscription +7(916)986-04-65 e-mail: eva88@list.ru site:www.izdat-oki.ru

Zhuk Elena

Design and layout e-mail: elenazuk70@mail.ru

Signed in print 25.12.2019 r. Circulation 400 copies. Typography: LLC Buki Vedi, www.bukivedi.com 115093, Moscow, Partiynyj pereulok, 1/58, bld. 3, office 11

Editorial address: 125315, Moscow, ul. Baltiiskay, 8 FSBI «ZAKUSOV INSTITUTE OF PHARMACOLOGY» Tel./Fax: +7(495)601-21-57; e-mail: zherdevpharm@mail.ru

Journal «Pharmacokinetics and Pharmacodynamics» is a supplement to the journal «Good Clinical Practice». Journal «Good Clinical Practice» registered by Russian Committee for Press 28.05.2001 Certificate of registration of mass media PI №77-9142. Copyring material does not necessarily reflect the views of the publisher. We take no responsibility for the accuracy of the information contained in promotional materials.

www. Antibiotics-Chemotherapy.ru www.ClinVest.ru

Journals

Antibiotics and Chemotherapy Good Clinical Practice www.Hospital-Apteka.ru Digest «Hospital pharmacy» www.PharmacoGenetics-PharmacoGenomics.ru Pharmacogenetics and Pharmacogenomics

WEB-portals

www. Health Economics.ru www. Market-Access-Solutions.ru www.izdat-Oki.ru

Center of Pharmacoeconomics Research Market Access Solutions Publisher OKI

REVIEWS

Epac signaling protein ligands as tools for studying their biological activity and creating new original drugs Mokrov GV, Nikiforova TD, Kryzhanovskiy SA. 3

PRECLINICAL PHARMACODYNAMICS **STUDIES**

Study of ALM-802 orto-alkoxi analogues cardiotropic activity Mokrov GV, Likhosherstov AM, Barchukov VV, Stolyaruk VN, Tsorin IB, Vititnova MB, Kryzhanovskiy SA, Gudasheva TA...... 18

Antidepressant-like activity of the dipeptide mimetic of brainderived neurotrophic factor GSB-106 in Porsolt test after intraperitoneal sub-chronically and chronically treatment in mice Tallerova AV, Povarnina PY, Minaev SV,

Gudasheva TA, Seredenin SB24

EXPERIMENTAL PHARMACOKINETICS

HPLC-MS method development and validation for simultaneous quantitation of GZK-111 and CPG compounds in rat plasma Podolko AL, Bochkov PO, Kolyvanov GB, Litvin AA, Gribakina OG, Shevchenko RV, Zherdev VP. 28

TOXICOLOGY STUDIES

Study of chronic toxicity of the GB-115 drug formulation Sorokina AV, Alekseeva SV, Miroshkina IA, Zabrodina VV, Kolik LG, Durnev AD

Evaluation of allergenic properties and immunotoxicity of Homeovox

Kovalenko LP, Ivanova EA, Lapickaya AS, Korzhova KV, Zhurikov RV 45

Лиганды сигнальных белков Ерас как инструменты для изучения их биологической активности и создания новых оригинальных лекарственных средств

Мокров Г. В., Никифорова Т. Д., Крыжановский С. А.

ФГБНУ «НИИ фармакологии имени В.В. Закусова», Москва

Аннотация. В обзоре рассмотрены современные представления о строении и функциях белков Epac (exchange proteins directly activated by сАМР, обменные белки, напрямую активируемые циклическим аденозинмонофосфатом). Вовлечённость белков Epac как в регуляцию физиологических функций организма, так и в инициации различных патологических процессов позволяет рассматривать их как принципиально новую биомишень для создания оригинальных, высокоэффективных лекарственных средств. Собраны сведения о существующих агонистах и антагонистах белков Epac, проанализировано влияние строения лигандов Epac на значения их аффинности и селективности. Представлены предполагаемые механизмы взаимодействия лигандов с белками Epac.

Ключевые слова: белки Ерас; Ерас1; Ерас2; агонисты Ерас; антагонисты Ерас; сАМР

Для цитирования:

Мокров Г.В., Никифорова Т.Д., Крыжановский С.А. Лиганды сигнальных белков Ерас как инструменты для изучения их биологической активности и создания новых оригинальных лекарственных средств // Фармакокинетика и фармакодинамика. – 2019. – № 4. – С. 3–17. DOI: 10.37489/2587-7836-2019-4-3-17

Epac signaling protein ligands as tools for studying their biological activity and creating new original drugs

Mokrov GV, Nikiforova TD, Kryzhanovskiy SA FSBI «Zakusov Institute of Pharmacology», Moscow

Abstract. The review discusses modern views about the structure and functions of Epac proteins (exchange proteins directly activated by cyclic adenosine monophosphate). The involvement of Epac proteins both in the regulation of the physiological functions of the body and in the initiation of various pathological processes allows to consider them as a fundamentally new biological target for creating original, highly effective drugs. Information on existing Epac protein agonists and antagonists was collected, and the influence of Epac ligands structure on the values of their affinity and selectivity was analyzed. Presumptive mechanisms of the interaction of ligands with Epac proteins are presented.

Keywords: Epac proteins; Epac1; Epac2; Epac agonists; Epac antagonists; cAMP

For citations

Mokrov GV, Nikiforova TD, Kryzhanovskiy SA. Epac signaling protein ligands as tools for studying their biological activity and creating new original drugs. Farmakokinetika i farmakodinamika. 2019;4:3–17. (In Russ). DOI: 10.37489/2587-7836-2019-4-3-17

Введение

Исторически полагали, что единственным аллостерическим эффектором сАМР является фермент сАМР-зависимая протеинкиназа или протеинкиназа А (РКА). Однако в конце 1998 г. был идентифицирован сАМФ-зависимый белок, который без участия РКА активировал малые GEF-азы (cAMP-GEFs) Rap cyперсемейства белков Ras [1], получивший название сАМР-регулируемый фактор обмена гуанидиновых нуклеотидов (сАМР-GEF) или обменный белок, напрямую активируемый сАМР (exchange protein directly activated by cAMP, Epac) [2]. Несколько позже появились сообщения о том, что РКА и белки Ерас в одной и той же клетке могут инициировать независимые друг от друга, в том числе избыточные и/или противоположные, эффекты [3]. Выделяют две изоформы сигнальных белков Epac – Epac1 или cAMP-GEF-I (молекулярная масса около 100 kDa) и Ерас2 или сАМР-GEF-II (молекулярная масса около 110 kDa), которые кодируются различными генами [4].

Сигнальные белки Ерас (Epac1 и Epac2) близки к друг другу и по своей структуре являются мультидо-

менными белками, содержащими NH_2 -концевую регуляторную область и COOH -концевой каталитический регион (рис. 1). Полагают, что NH_2 -концевая регуляторная область EPAC произошла из R субъединицы PKA , в то время как COOH -концевой каталитический регион по своей структуре наиболее тесно связан с представителями суперсемейства Ras — факторами обмена гуаниновых нуклеотидов (guanine-nucleotide-exchange factors, GTFs) [5].

Каталитический регион у всех белков Ерас имеет идентичную структуру и состоит из Ras-обменного домена — REM, Ras-ассоциированного домена — RA и С-концевого CDC25-гомологичного домена — CDC25-HD (рис. 1). Домен REM необходим для поддержания стабильности каталитического региона [6]. Домен RA выполняет двоякую функцию — инициацию биологического эффекта и цитозольную локализацию белка, а в случае белка Ерас2С обеспечивает его фиксацию на внутренней поверхности цитоплазматической мембраны. Домен CDC25-HD ответственен за обмен гуаниновых нуклеотидов белков Rap и локализацию белков в области ядерных поровых комплексов [7].

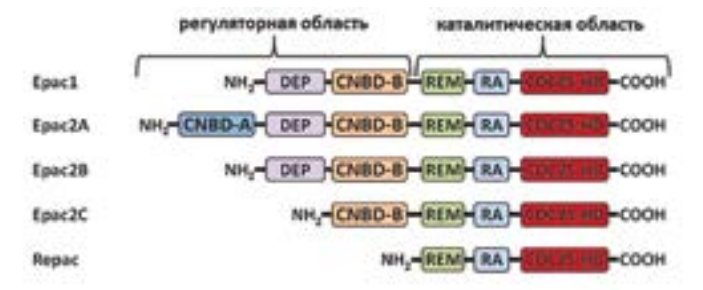


Рис. 1. Строение белков Ерас 1, Ерас 2А, Ерас 2В и Ерас 2С

Регуляторный регион белка Ерас1 содержит в своем составе сАМР-связывающий домен CNBD-В (или CBD-В), который помимо взаимодействия сАМР обеспечивает контакт белка Epac1 с микротрубочками [8], и N-концевой домен DEP (Disheveled/Egl-10/pleckstrin domain), ответственный за локализацию белка в области внутренней поверхности клеточной мембраны, и обеспечивает транслокацию Epac1 к митохондриям [9].

Регуляторный регион белка Epac2A также содержит CNBD-B и DEP домены (рис. 1), однако N-концевым доменом этого белка является не DEP домен, а присоединенный к нему дополнительный низкоафинный CNBD-A (CBD-A) домен, который в отличие от CNBD-B домена обладает меньшим сродством к сАМР и не может индуцировать активность малых GTF-аз после связывания сАМР [9, 10]. CNBD-A и DEP домены принимают участие в регуляции внутриклеточной локализации белка Epac2A [7].

Структура регуляторного региона белка Epac2B аналогична таковой, известной для белка Epac1 [7]. Регуляторный регион белка Epac2C содержит только один N-концевой домен CNBD-B.

Между доменом CNBD-В регуляторного региона и REM доменом каталитической области белков Ерас располагается псевдо-β-складка, так называемый «шарнир» или «коммутатор», содержащий в своем составе консервативную последовательность (мотив) VLVLE (321VLVLE325), состоящий из 4 доменов — E308, T311, R313 и H317 (рис. 2) [11]. Шарнир необхо-

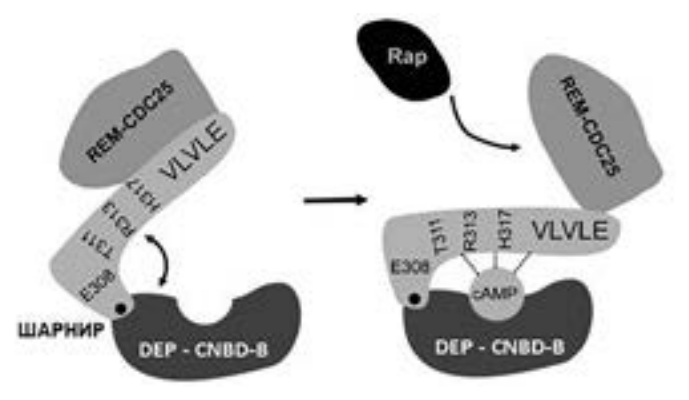


Рис. 2. Схема действия «шарнира» белков Ерас, обеспечивающего механизм их автоингибирования

дим для автоингибирования белков Ерас. Домен E308 прилежит к CNBD-В домену регуляторного региона, а консервативная последовательность VLVLE — к REM домену каталитической области (рис. 2).

К настоящему времени известно, что белки Ерас, как минимум, экспрессируются в нейронах ЦНС (фронтальная кора, гиппокамп), клетках гладкой мускулатуры бронхиального дерева, иммунокомпетентных клетках, кортикальных нефронах, β-клетках поджелудочной железы, клетках гладкой мускулатуры сосудов (в том числе коронарных), клетках сосудистого эндотелия и кардиомиоцитах [12]. Показано, что белки Ерас играют ключевую роль в регуляции базисных внутриклеточных сигнальных путей, ответственных за поддержание внутриклеточного гомеостаза, а их гипер/гипоэкспрессия лежит в основе патогенеза многих патологических процессов. Например, в сердечно-сосудистой системе в нормальных физиологических условиях белки Ерас1 регулируют барьерную функцию и, возможно, ангиогенез эндотелиальных клеток сосудов [13, 14]. Если роль белков Ерас1 в регуляции ангиогенеза и пролиферации эндотелиальных клеток окончательно не ясна, то их место в регуляции пролиферации/ангиогенеза гладкомышечных клеток сосудов представляется достаточно определённым белки Ерас1, действуя корпоративно с РКА, проявляют антиангиогенную активность [15]. Помимо этого, белки Ерас 1 участвуют в регуляции тонической активности сосудистого русла – в крупных сосудах активация сопряжённых с белками Ерас1 сигнальных путей инициирует вазодилатацию, а в микрососудах кожи, напротив — вазоконстрикцию [16]. В условиях патологии, например сосудистой травмы, активированные белки Ерас1 стимулируют процессы миграции гладкомышечных клеток сосудов и пролиферацию их неоинтимы [17]. Несмотря на то что документально подтверждена экспрессия белков Ерас2 в эндотелиальных и гладкомышечных клетках сосудов, их вклад в регуляцию функциональной активности сосудистого русла не известен. Не менее важен и вклад белков Ерас в регуляцию деятельности сердца. В физиологических условиях сопряжённые с белками Ерас1 сигнальные каскады регулируют инотропную и в определённой мере лузитропную функцию кардиомиоцитов, а также процессы их межклеточного взаимодействия [18]. Помимо этого, как белки Ерас1, так и белки Ерас2 проявляют выраженную антиапоптотическию активность [19]. В условиях острой ишемии миокарда активация митохондриальной изоформы белков Epac1 инициирует гибель кардиомиоцитов [20]. В условиях хронической сердечной патологии (хроническая сердечная недостаточность, постинфарктный коронарокардиосклероз и др.) сопутствующая ей избыточная активация β_1 -адренорецепторов и, соответственно, избыточная активация сАМР/Ерас1-сопряжённых сигнальных каскадов играет существенную роль в развитии гипертрофии, ремоделирования и фиброза миокарда, а активация Ерас2-сопряжённых сигнальных каскадов инициирует развитие нарушений сердечного ритма [21–23].

Накопленный к настоящему времени литературный материал свидетельствует о важной роли белков Ерас не только в регуляции физиологических функций организма, но и в инициации различных патологических процессов, что позволяет рассматривать их как принципиально новую биомишень для создания оригинальных, высокоэффективных лекарственных средств.

Для решения этой проблемы, а также для изучения роли белков Ерас в регуляции функциональной активности органов и тканей организма был сконструирован и синтезирован ряд фармакологических модуляторов/агонистов и ингибиторов/антагонистов этих белков.

Производные сАМР – агонисты белков Ерас

Первые синтетические агонисты белков Ерас были созданы на основе модификации структуры сАМР (структуры и значения аффинности представленных в обзоре лигандов белков Ерас представлены в табл. 1). Было установлено, что введение различных заместителей существенно влияет на сродство аналогов сАМР как к белкам Ерас, так и к РКА. Первая удачная попытка в создании селективных модуляторов белков Ерас относится к 2002 году, когда группой голландских и норвежских учёных в результате сравнения сайтов связывания сАМР с белком Ерас и РКА было показано, что гидроксильная группа в 2'-положении сАМР может образовывать водородную связь с остатком глутамата (Glu²³⁸ в человеческом белке PKA) в сАМРсвязывающем домене РКА, который отсутствует в сайте связывания сАМР/Ерас [24, 25]. Было высказано предположение, что взаимодействие между группой 2'-ОН и остатком глутамата является существенным для связывания сАМР с сАМР-связывающим доменом РКА, его модификация может привести к созданию селективных модуляторов белков Ерас [24, 25]. Изучение синтезированного набора соединений, модифицированных по 2'-положению углеводного цикла, подтвердило сделанную гипотезу. Так, например, соединение 2'-О-Ме-сАМР, в котором 2'-гидроксильная группа заменена на метокси-группу, оказалось в 10-100 раз более селективным по отношению к белкам Ерас, чем к РКА, при этом аффинность в отношении белка Ерас была лишь немного меньшей, чем таковая для сАМР (коэффициент диссоциации $Kd = 24.2 \mu M$) [26].

Помимо модификации молекулы сАМР по 2'-положению, этими и другими исследователями был синтезирован набор производных сАМР с замещением по атому азота (N^6) и 8 положению пуринового основания [24—27].

Изучение N⁶-производных сАМР показало, что введение заместителей в это положение приводит к незначительным изменениям в их способности связываться с белками Ерас, однако при этом происходит

существенное увеличение аффинности в отношении РКА. Так, например, фенильное и бензильное производные (N^6 -phenyl-cAMP и 6-Bnz-cAMP) имеют значения Kd (Epac) 1,04 μ M и 2,23 μ M, соответственно, в то время как их Kd (PKA) составили 0,26 μ M и 0,73 μ M, соответственно [25]. Следует отметить, что аналог сАМФ с заменённой аминогруппой на атом кислорода в 6 положении (соединение μ ГМФ) обладает приблизительно в 10 раз меньшей аффинностью как к Epac, так и к PKA [25, 26].

Наиболее широко в литературе представлен набор производных сАМР с модификацией в 8 положении аденинового цикла [24-27]. В качестве заместителей в этом положении использовались прежде всего галогены и аминоалкильные, арилтиольные и арилалкилтиольные группы. Установлено, что в большинстве случаев введение заместителей в 8 положение приводит к увеличению аффинности соединений к белкам Ерас и к существенному увеличению их селективности по отношению к РКА. Так, 8-бром производное (8-Br-cAMP) имело Kd (Epac) 0,35 µМ и Kd (PKA) 2,23 µМ. Объёмные липофильные группы в 8 положении ещё более увеличивали сродство соответствующих молекул к белкам Ерас. Так, для структуры с п-хлорфенилтиольным заместителем (8 pCPT-cAMP) значение Kd (Epac) составило 0,04 µM, а Kd (PKA) 0,74 µM.

Как и следовало ожидать, одновременная модификация 2' и 8 положений сАМР в соответствии с вышеуказанными данными приводило к созданию высокоаффинных и Ерас/РКА селективных соединений [24-26]. При этом в положении 2' использовалась метокси-группа, а в 8 положении – липофильные заместители. Среди наиболее выдающихся примеров можно привести структуры 8-рСРТ-2'-О-Ме-сАМР (Kd (Epac) 0,63 µM) и 8-рМеОРТ-2'-О-Ме-сАМР (Kd (Epac) 0,41 µМ), для которых Kd (PKA) составляла более 70 µМ. Поскольку соединение 8-рСРТ-2'-О-Ме-сАМР, которое в научной литературе обозначается следующими аббревиатурами – 8-СРТ, D-007 и 007, проявляло наибольшую аффинность и селективность по отношению к белкам Ерас, его стали широко использовать при изучении спектра биологической активности белков Ерас [28]. Однако соединение 8-СРТ имело и свои недостатки, поскольку плохо проникало через биологические мембраны. С целью улучшения проницаемости был синтезирован аналог соединения 8-СРТ — соединение 8-рСРТ-2'-О-Ме-сАМР-АМ (8-рСРТ-АМ), в котором один из атомов кислорода фосфатной группы соединения 8-рМеОРТ-2'-О-Ме-сАМР был этерифицирован ацетоксиметиловым эфиром [29]. В результате этой модификации соединение 8-рСРТ-АМ, в отличие от прототипа, легко преодолевает клеточную мембрану [29]. Соединение 8-рСРТ-АМ действует как пролекарство – после проникновения в клетку оно может гидролизоваться эстеразами до прототипа 8-рМеОРТ-

2'-О-Ме-сАМР. Биологические эффекты соединения 8-рСРТ-АМ реализуются в концентрации более чем в 100 раз меньшей, чем у прототипа, при этом его селективность в отношении белков Ерас сохраняется. Вместе с тем соединение 8-рСРТ-АМ является и хорошим субстратом для фосфодиэстераз (PDE) и действует как их ингибитор [30].

Ещё одним вариантом модификации структуры сАМР была замена одного из атомов кислорода в фосфатной группе на атом серы [25, 26, 31]. Следует отметить, что такое превращение ведёт к образованию двух диастереомеров: аксиальному (Sp) и экваториальному (Rp). В том случае, когда введение атома серы было проведено для молекулы 8-рСРТ-2'-О-Ме-сАМР, полученное производное Sp-8-рСРТ-2'-О-Ме-сАМРЅ являлось высокоспецифичным агонистом белков Ерас и обладало высокой липофильностью и, следовательно, легко преодолевало клеточную мембрану [31]. Однако, также как и соединение 8-рСРТ-АМ, оно являлось ингибитором PDE.

В исследовании Schwede F с соавт. была предпринята попытка получения производных сАМР, обладающих Ерас1/Ерас2-селективностью [27]. С использованием вышеописанных структурных модификаций авторами была получена молекула Sp-8-BnT-cAMPS (аббревиатуры: Sp-8-BnT-cAMPS; S-220), содержащая атом серы в фосфатной группе в аксиальном положении и бензилтиольную группу в 8 положении пуринового основания, обладающая 100-кратной селективностью к Ерас2 в сравнении с Ерас1 (константа полуактивации AC₅₀ (Epac2) 0,1 µM, AC₅₀ (Epac1) 13 μМ), поскольку имеет тропность к представленному в его сАМР-связывающем домене (CNBD-B) регуляторного региона Lys₄₀₅ аминокислотному остатку. Хотя соединение S-220 рассматривают как селективный агонист белка Ерас2А, имеются сообщения о том, что оно может оказывать и незначительное модулирующее действие в отношении белка Ерас1 [27].

В ряде исследований показано, что в качестве селективных агонистов белка Ерас2А могут быть использованы гипогликемические препараты — производные сульфонилмочевины (глибенкламид, глипизид и др.), применяемые в клинике для лечения сахарного диабета 2-го типа [32, 33]. Связывание производных сульфонилмочевины с белками Ерас2А зависит от концентрации сАМР. Для глибенкламида и глипизида взаимодействие с белками Ерас2А наблюдалось при их концентрации порядка 10 µМ. Производные сульфонилмочевины и сАМР совместно активируют белки Ерас2А путём связывания с доменами регуляторного региона CNBD-A и CNBD-B, соответственно.

Необходимо подчеркнуть, что имеющиеся в распоряжении исследователей агонисты белков Ерас, созданные на основе аналогов сАМР и широко используемые при изучении их биологических эффектов, обладают существенными недостатками, поскольку большинство из них, помимо белков Ерас, взаимодейству-

ют и с другими внутриклеточными мишенями [34, 35]. Это связано с тем, что при дизайне молекулярных инструментов для изучения функций белков Ерас авторы практически не уделяли внимания их селективности по отношению к другим мишеням, что, с одной стороны, позволяет говорить о необходимости более тщательного подхода к трактовке имеющихся результатов, а с другой стороны, ставит вопрос о необходимости создания новых фармакологических инструментов, обладающих сродством исключительно к белкам Ерас.

Антагонисты белков Ерас

В исследованиях *Tsalkova T с соавт*. впервые был предложен метод высокопроизводительного скрининга для поиска антагонистов белков Epac [36, 37]. Этот метод основан на способности молекул антагонистов конкурировать за место связывания на белке с флуоресцентной меткой, в качестве которой использовалось производное сАМР — 8-NBD-сАМР. Это соединение вызывает более чем 100-кратное увеличение флуоресценции при связывании с очищенным полноразмерным Epac2 и может быть обращено путём добавления избытка сАМР. При этом увеличение флуоресцентного сигнала было существенно меньшим при связывании 8-NBD-сАМР с белком Epac1 [38].

Первичный скрининг с использованием молекулярной библиотеки NCI DTP (Developmental Therapeutics Program) позволил выявить три высокоаффинных ингибитора белков Ерас различного химического строения: NSC45576, NSC119911 и NSC686365. Эти соединения не только ингибировали активность белков Ерас2 (константа полуингибирования IC_{50} 1,7 μ M, 3,8 μ M и 7,9 μ M, соответственно), но также ингибировали Ерас1-опосредованный обмен нуклеотидов Rap1 при 25 мкМ. В то же время, эти соединения не блокировали активность PKA, опосредованную сАМР, то есть обладали Ерас-селективностью.

Дальнейший высокопроизводительный скрининг с использованием библиотеки соединений Maybridge Hitfinder, содержащей 14400 структур, позволил *Tsalkova T с соавт*. выявить ряд новых хитов (с шифром ESI), которые ингибировали белки Epac2 в концентрациях не более 25 μ M в присутствии аналогичных концентраций сАМР [37].

В первую группу хитов вошли биароматические соединения с одноатомной связкой: соединение ESI-05 с сульфонильной связкой, ESI-07 и ESI-10 с аминной связкой. Во второй группе оказались производные 5-циано-6-оксо-1,6-дигидропиримидина: соединения ESI-06 и ESI-08, отличающиеся заместителями при атоме серы во 2 положении. Отдельно стоят биароматические соединения ESI-04 и ESI-09.

В одной из последующих работ *Tsalkova T с со-авт*. описана оптимизация 5-циано-6-оксо-1,6-дигидропиримидиновых производных с целью под-

Таблица 1

Структуры лигандов Ерас и значения их аффинности

Класс	Шифр	Структура	Аффинность (Ерас)	Ссылка
	cAMP	NH ₂ N N N N N N N N N N N N N N N N N N N	Kd 2,9 μM	25, 26
	2'-O-Me- cAMP	HO O OCH ₃	Kd 24,2 μM	26
Производные сАМР	2'-deoxy- cAMP	NH ₂ N N N N	Kd 1160 μM	25, 26
	8-pCPT-cAMP	NH ₂ N S N S OH	Kd 0,04 μM	25, 26
	8-pCPT-2'-O- Me-cAMP	NH ₂ N S N S OCH ₃	Kd 0,63 μM	25, 26

	8-pMeOPT-2'- O-Me-cAMP	NH ₂ N S OCH ₃	Kd 0,41 μM	25, 26
	8-pCPT-2'-O- Me-cAMP-AM	H ₃ C O O O O CH ₃	AC50 0,01 μM	29
Производные сАМР	N ⁶ -phenyl- cAMP	ZH Z Z Z O H	Kd 0,36 μM	25
	6-Bnz-cAMP		Kd 0,77 μM	25
	cGMP	HN N N N N N N N N N N N N N N N N N N	Kd 37,2 μM	25, 26

Производные сАМР	Sp-8-pCPT-2'- O-Me-cAMPS	NH ₂ N S CI	Kd 6,1 μM	31
	Sp-8-BnT- cAMPS	NH ₂ N S S S S S S S S S S S S S S S S S S S	AC50 (Epac2) 0,1 μM, AC50 (Epac1) 13 μM	27
Производные сульфонилмочевины	Глибенкла- мид	OCH3 O	IC50~10 μM	32
Сульфоннымо ісвяніва	Глипизид	H ₃ C N N N N N N N N N N N N N N N N N N N	IC50~10 μM	32
Би-нафтильное производное	NSC45576	HO	IC50 (Epac2) 1,7 μM	36
Производное ксантена	NSC119911	НООН	IC50 (Epac2) 3,8 μM	36

Полициклическое производное	NSC686365	F ₃ C NH CN	IC50 (Epac2) 7,9 μM	36
Биароматическое дисульфонильное производное	ESI-04	CI	IC50 (Epac2) 25 μM	37
	ESI-06	N S CH3 CH3	IC50 (Epac2) 25 μM	37
	ESI-08	NH CH ₃ CH ₃ CH ₃	IC50 (Epac2) 8,4 μM	39
Производные 5-циано-6-оксо-1,6-дигидро-пиримидина	НЈС0198	NH CH ₃	IC50 (Epac2) 4,0 μM	39
	НЈС0197	N CH ₃ CH ₃ CH ₃	IC50 (Epac2) 5,9 μM	39

	ESI-05	CH ₃ O CH ₃ C CH ₃	IC50 (Epac2) 0,5 μM IC50 (Epac1) > 25 μM	41
	НЈС0350	H ₃ C CH ₃ CH ₃	IC50 (Epac2) 0,3 μM IC50 (Epac1) > 25 μM	41
Биароматические сульфонильные производные	27	H ₃ C CH ₃ CH ₃ CH ₃ CH ₃	IC50 (Epac2) 0,7 μM	41
	28	CH ₃ O CH ₃ CH ₃ C CH ₃	IC50 (Epac2) 1,9 μM	41
	33	H ₃ C CH ₃ CH ₃	IC50 (Epac2) 1,2 μM	41
Биароматические азот-содержащие	ESI-07	H_3C CH_3 CH_3 CH_3 CH_3 CH_3 CH_3 CH_3	IC50 (Epac2) 25 μM	37
производные	ESI-10	H_3C CH_3 SO_3H NH_2 CH_3	IC50 (Epac2) 25 μM	37

	MAY0132	H_3C CH_3 CH_3 CI	IC50 (Epac2) 0,4 μM IC50 (Epac1) > 100 μM	41
	НЈС0338	H_3C CH_3 CI H_3C CH_3 CI CH_3 CI	IC50 (Epac2) 0,4 μM	42
Биароматические азот-содержащие производные	A	H_3C CH_3 H_3C CI CH_3 CH_3	IC50 (Epac2) 0,5 μM	42
	Б	H_3C CH_3 CF_3 CI CH_3	IC50 (Epac2) 0,4 μM	42
	В	H ₃ C CH ₃ H ₃ C CH ₃	IC50 (Epac2) 0,4 μM	42
Гидразоно- нитрильные	ESI-09	CN N N N CI N N CI CI	IC50 (Epac1) 3,2 μM IC50 (Epac2) 7,0 μM	44
нитрильные производные с изоксазольным гетероциклом	НЈС0726	CN N N CI H ₃ C CH ₃	IC50 (Epac2) 1,9 μM IC50 (Epac1) 2,4 μM	101

	NY0123	$\begin{array}{c} CN \\ N \\ N \\ CI \\ CI \\ CI \\ CI \\ CI \\ C$	IC50 (Epac2) 0,9 μM IC50 (Epac1) 2,4 μM	45
Гидразоно- нитрильные производные с	14	O H H CF ₃	IC50 (Epac2) 2,3 μM IC50 (Epac1) 3,4 μM	46
изоксазольным гетероциклом	26	CN H CF ₃	IC50 (Epac2) 2,2 μM IC50 (Epac1) 3,6 μM	46
	33	CN N N CF ₃	IC50 (Epac2) 1,9 μM IC50 (Epac1) 3,1 μM	46
Производные	CE3F4	Br N CH ₃	EC50 (Epac1) 10,7 μM	48
тетрагидрохинолина	R-CE3F4	Br N CH ₃	EC50 (Epac1) 5,8 μM	48

Производные тетрагидрохинолина	S-CE3F4	Br N MCH ₃	EC50 (Epac1) 56 μM	48
Производные тиобарбитуровой кислоты	5376753	HN CI	IC50 (Epac1) 4 μM	49
Производные тиено[2,3-b] пиридинов	AM-001	F—NH S N S	IC50 (Epac1) 47,8 μM IC50 (Epac2) > 1000 μM	21

бора более высокоаффинных структур [39]. Изучение влияния строения заместителей во 2 и 6 положениях пиримидинового цикла с использованием метода молекулярного докинга в программе AutoDock Vina показало, что их наличие является критичным для связывания с белками Ерас2. Так, было установлено, что липофильная группа в 6 положении взаимодействует с остатками Phe³⁶⁷, Ala⁴¹⁵ и Ala⁴¹⁶ белка, а гидрофобный заместитель во 2 положении — с Leu^{406} и Leu⁴⁴⁹ [40]. При модификации циклоалканового заместителя в 6 положении пиримидинового цикла ESI-08 путём его уменьшения были созданы соединения НЈС-0197 (с циклопентановым циклом) и НЈС-0198 (с циклопропановым циклом), продемонстрировавшие более высокое сродство к белкам Ерас2, чем прототип (IC_{50} 5,9 μ M и 4,0 μ M, соответственно; ESI-08: 8,4 μ M) [39]. При концентрации 25 µМ соединение НЈС0198 селективно блокировало сАМР-индуцированную активацию белков Ерас, но не ингибировало сАМР-опосредованную активацию РКА. В клеточных линиях НЕК293/Ерас1 и НЕК293/ Ерас2 соединение НЈС0198 полностью блокировало Ерас1- и Ерас2-опосредованное фосфорилирование АКТ в концентрации 10 µМ.

В работах тех же авторов была предпринята попытка оптимизации структуры биароматических молекул ESI-05 и ESI-10 [41, 42]. С целью поиска более высокоаффинных и селективных соединений ими были проанализированы аналоги этих соединений, полученные заменой или модификацией ароматических групп. В качестве связующего элемента были сохранены сульфонильная или аминогруппы. В случае модификации сульфонильного производного ESI-05 близкие к прототипу значения аффинности продемонстрировали соединения 27, 28 и 33, в которых 4-метилфенильная группа заменена на 2,4,5-триметилфенильную, 4-метоксифенильную и триптофанильную, соответственно (IC_{50} (Epac2) 0,7; 1,9 и 1,2 μ M, соответственно) [41]. При замене 4-метилфенильного заместителя в ESI-05 на 2,4-диметилпиррольный было получено соединение НЈС0350, показавшее наилучшие характеристики по связыванию с белками Epac2 (IC₅₀ 0,3 µМ) [41], при этом оно не ингибировало белки Epac1-опосредованный обмен нуклеотидов Rap1 и РКА в концентрациях не менее 25 μМ, что свидетельствует о селективности соединения НЈС0350. В ряду аналогов ESI-05 и ESI-10 с аминной связкой на базе мезидина лучшие результаты показали соединения, содержащие во втором фенильном кольце атомы хлора, метильные группы или трифторметильную группу [42]. Так, 2,5-дихлорфенильное производное НЈС0338 имело IC50 (Epac2) 0,4 µM, 2-метил-3-хлорфенильное производное А и 3-трифторметил-4-хлорфенильное производное Б имели IC_{50} (Epac2) 0,5 и 0,4 μ M, соответственно. Симметричное соединение В также имело высокое сродство к Epac2 (IC_{50} 0,4 μ M). Более детальное изучение соединений А и В показало, что эти соединения ингибируют сАМР-опосредованную активность Ерас2 при 1 µМ и не связываются с Ерас1 в концентрациях до 100 µМ, что свидетельствует об их высокой селективности [42].

Следует отметить, что при анализе причин селективности биароматических антагонистов белков Ерас2 на примере ESI-07 была выдвинута гипотеза, заключающаяся в том, что это соединение блокирует белок Epac2 в его аутоингибирующей конформации, связываясь одновременно с поверхностью двух сАМРсвязывающих доменов [43]. Так как у белков Epac1 только один с-АМФ-связывающий домен, то они не имеют такого сайта связывания, что и является причиной селективности соединения ESI-07.

Производное ESI-09, относящееся к группе изоксазол-содержащих гидразононитрильных соединений, хотя и обладает сродством к обоим изоформам белков Ерас, но в большей степени ингибирует белки Epac1 (IC_{50} (Epac1) 3,2 μ M; IC50 (Epac2) 7,0 μ M) [44]. При этом это соединение обладает выраженной Ерасселективностью, поскольку не связывается с PKA. Исследования, проведённые с помощью метода молекулярного докинга, позволили установить, что при взаимодействии ESI-09 с сайтом связывания белков Epac2 трет-бутилизоксазолильная группа образует водородную связь с остатком Gly404 и взаимодействует с гидрофобными остатками Phe³⁶⁷, Leu⁴⁰⁶, Ala⁴⁰⁷ и Ala⁴¹⁵, а 3-хлорфенильный фрагмент образует гидрофобные взаимодействия с остатками Val³⁸⁶, Val³⁹⁴ и Leu³⁹⁷.

Расширение группы гидразононитрильных производных с целью поиска более перспективных соединений привело к созданию молекул HJC0726 и NY0123, обладающих существенно большей аффинностью по отношению к белкам Epac2 (IC_{50} (Epac2) 1,9 μ M и 0,9 μΜ, соответственно), отличающихся от прототипа наличием дополнительно одного или двух атомов хлора, соответственно [44, 45]. При этом эти соединения обладали также сродством к белкам Epac1 (IC₅₀ (Epac1) 2,4 µМ). Изучение связи структура — действие показало, что модификация гидразонового линкера, изменение заместителя в изоксазоловом цикле или удаление галогенов из фенильного кольца приводит к существенному падению активности [45]. В работе Ye N с соавт. более подробно рассмотрена возможность модификации изоксазолового фармакофора и заместителя в фенильном кольце [46]. Было установлено, что при использовании в качестве заместителей в фенильном кольце атома хлора и трифторметильной группы и введение в изоксаольное кольцо фенильного (соединение 14) или фурильного цикла (соединение 26) приводит к высокоаффинным соединениям по отношению как к белкам Ерас1, так и к белкам Ерас2 (для 14: IC_{50} (Epac2) 2,3 μ M, IC_{50} (Epac1) 3,4 μ M; для 26: IC_{50} (Epac2) 2,2 μ M, IC_{50} (Epac1) 3,6 μ M). Кроме того, к обоим изоформам белков Ерас высокую аффинность проявляло соединение 33, в котором изоксазольный цикл сконденсирован с бензольным кольцом (IC_{50} (Epac2) 1,9 μ M, IC_{50} (Epac1) 3,1 μ M). Данные молекулярного докинга позволили установить, что соединение 33 связывается с белком Ерас2 отличным от ESI-09 способом. В его взаимодействиях с Ерас2 преобладают три водородные связи и одна галогеновая связь, включая взаимодействие атома кислорода в бензо[d]изоксазольном фрагменте с остатком Leu⁴⁰⁶, атома хлора в фенильном фрагменте с остатком Asn^{445} и атома азота в цианогруппе линкера с Lys^{450} , а также взаимодействие атома водорода линкера с Arg^{448} [46].

Ещё одной группой Ерас-ингибиторов явились производные тетрагидрохинолина, выявленные группой Courilleau D с соавт. в 2012 году [47] путём высокопроизводительного скрининга библиотеки соединений «chimiothèque essentielle compound library». Данный скрининг был основан на способности белков Ерас катализировать активность нуклеотидного обмена Rap1. Тетрагидрохинолин CE3F4 блокировал Epac1индуцированную активацию Rap1 как в бесклеточных, так и в клеточных системах, и не влиял на активность РКА. Позже было установлено, что соединение CE3F4 обладает большей селективность к белкам Ерас1, чем к белкам Ерас2 [48]. Кроме того, было установлено, что *R*-энантиомер соединения CE3F4 в 10 раз активнее, чем его S-энантиомер, который также обладает в 10 раз большей селективностью к белкам Ерас1. Изучение связи структура-активность показало, что наличие галогенов и формильной группы в тетрагидрохинолиновом ядре является необходимым для наличия аффинности по отношению к белкам Ерас1 [48].

С использованием компьютерного молекулярного моделирования $Brown\ LM\ c\ coaвm$. было создано производное тиобарбитуровой кислоты — 5376753, которое аллостерически и селективно ингибировало активность белка Epac1 ($IC_{50}\ 4\ \mu M$) [49]. По расчётным данным, это соединение имеет сайт связывания на шарнирной области нуклеотид-связывающего домена белка Epac1. Установлена ключевая роль остатков Trp^{283} , Val^{337} , Asp^{338} , Phe^{342} и Arg^{336} во взаимодействии соединения 5376753 с этим сайтом связывания.

В 2019 г. были опубликованы результаты исследования Laudette M с соавт., в котором они с использованием метода Epac1-BRET (биолюминесцентный резонансный перенос энергии) выявили ингибитор белка Epac1 AM-001, относящийся к группе производных тиено[2,3-b]пиридинов, содержащий три ароматических заместителя. Соединение AM-001 не проявляло антагонизма по отношению к белкам Epac2 и PKA (IC (Epac1) 47,8 μ M; IC (Epac2) > 1000 μ M), но предотвращало активацию белков Rap1, инициированную агонистом белков Epac1 соединением 8-CPT [21].

Анализируя представленный в литературе набор синтетических антагонистов Epac1 и Epac2 можно сделать следующие выводы.

- 1. Большинство представленных антагонистов Ерас имеет в своей структуре два ароматических ядра, связанных достаточно коротким линкером в 2–6 σ-связей, содержащем, как минимум, один гетероатом.
- 2. У селективных Ерас2 антагонистов два ароматических ядра связаны друг с другом посредством лишь одного гетероатома: азота или серы.
- 3. По данным метода молекулярного докинга связывание синтетических антагонистов Ерас происходит

либо в месте связывания нативного лиганда сАМР (для обоих подтипов), либо на шарнирной области нуклеотид-связывающего домена белка Epac1 (соединение 5376753), либо одновременно с поверхностью двух сАМР-связывающих доменов Epac2 в его аутоингибирующей конформации (ESI-07 и аналоги). Необходимо указать, что эти гипотезы требуют экспериментального подтверждения.

Вследствие того, что белки Ерас являются достаточно новыми молекулярными мишенями на се-

годняшний день получен весьма небольшой набор их антагонистов, который можно отнести к приблизительно десяти химическим подгруппам. В то же время, понимание важнейшей роли белков Ерас в биохимических процессах в организме и имеющиеся данные по биологической активности известных синтетических антагонистов Ерас свидетельствует об актуальности дальнейшего поиска новых и селективных Ерас-антагонистов с целью создания потенциальных лекарственных средств.

СВЕДЕНИЯ ОБ АВТОРАХ

Мокров Григорий Владимирович Автор, ответственный за переписку

е-mail: g.mokrov@gmail.com ORCID: 0000-0003-2617-0334 SPIN-код: 8755-7666 к. х. н., в. н. с. лаборатории тонкого органического синтеза отдела химии лекарственных средств ФГБНУ «НИИ фармакологии имени В.В. Закусова», Москва

Никифорова Татьяна Дмитриевна

ORCID: 0000-0003-1717-4659

SPIN-код: 8593-9450

Лаборант-исследователь лабаротории фармакологического скрининга ФГБНУ "НИИ фармакологии имени В.В. Закусова", Москва

Крыжановский Сергей Александрович

ORCID ID: 0000-0003-2832-4739

SPIN-код: 6596-4865

д. м. н., заведующий лабораторией фармакологического скрининга ФГБНУ «НИИ фармакологии имени В.В. Закусова», Москва

Mokrov Grigory Corresponding author

e-mail: g.mokrov@gmail.com ORCID: 0000-0003-2617-0334

SPIN code: 8755-7666

Candidate of Chemical Sciences, Leading researcher of the fine organic synthesis laboratory at the medicinal chemistry department FSBI «Zakusov Institute of Pharmacology», Moscow

Nikiforova Tatiana

ORCID: 0000-0003-1717-4659

SPIN code: 8593-9450

Laboratory assistant-researcher of laboratory of pharmacological screening FSBI «Zakusov Institute of Pharmacology», Moscow

Kryzhanovskii Sergey

ORCID ID: 0000-0003-2832-4739

SPIN code: 6596-4865

Doctor of Medical Sciences, Head of laboratory of pharmacological screening FSBI «Zakusov Insti-

tute of Pharmacology», Moscow

Литература / References

- 1. Kawasaki H, Springett GM, Mochizuki N, et al. A family of cAMP-binding proteins that directly activate Rap1. *Science*. 1998 Dec;18;282(5397):2275–9. DOI: 10.1126/science.282.5397.2275
- 2. de Rooij J, Zwartkruis FJ, Verheijen MH, et al. Epac is a Rap1 guanine-nucleotide-exchange factor directly activated by cyclic AMP. *Nature*. 1998 Dec 3;396(6710):474–7. DOI: 10.1038/24884
- 3. Cheng X, Ji Z, Tsalkova T, Mei F, Epac and PKA: a tale of two intracellular cAMP receptors. *Acta Biochim Biophys Sin (Shanghai)*. 2008 Jul;40(7):651–62. DOI: 10.1111/j.1745-7270.2008.00438.x
- 4. Banerjee U, Cheng X. Exchange protein directly activated by cAMP encoded by the mammalian rapgef3 gene: Structure, function and therapeutics. *Gene.* 2015 Oct 10;570(2):157–67. DOI: 10.1016/j.gene.2015.06.063
- 5. Dao KK, Teigen K, Kopperud R, et al. Epac1 and cAMP-dependent protein kinase holoenzyme have similar cAMP affinity, but their cAMP domains have distinct structural features and cyclic nucleotide recognition. *J Biol Chem.* 2006 Jul 28;281(30):21500–11. DOI: 10.1074/jbc.M603116200
- 6. de Rooij J, Rehmann H, van Triest M., et al. Mechanism of regulation of the Epac family of cAMP-dependent RapGEFs. *J Biol Chem.* 2000 Jul 7;275(27):20829–36. DOI: 10.1074/jbc.M001113200

- 7. Laurent AC, Breckler M, Berthouze M, Lezoualc'h F. Role of Epac in brain and heart. *Biochem Soc Trans*. 2012 Feb;40(1):51–7. DOI: 10.1042/BST20110642
- 8. Borland G., Gupta M., Magiera M.M., et al. Microtubule-associated protein 1B-light chain 1 enhances activation of Rap1 by exchange protein activated by cyclic AMP but not intracellular targeting. *Mol Pharmacol.* 2006 Jan;69(1):374–84. DOI: 10.1124/mol.105.016337
- 9. Gloerich M., Ponsioen B., Vliem M.J., et al. Spatial regulation of cyclic AMP-Epac1 signaling in cell adhesion by ERM proteins. *Mol Cell Biol.* 2010 Nov;30(22):5421–31. DOI: 10.1128/MCB.00463-10
- 10. Kiermayer S, Biondi RM, Imig J, et al. Epac activation converts cAMP from a proliferative into a differentiation signal in PC12 cells. *Mol Biol Cell*. 2005 Dec;16(12):5639–48. DOI: 10.1091/mbc.e05-05-0432
- 11. Rehmann H, Rueppel A, Bos JL, Wittinghofer A. Communication between the regulatory and the catalytic region of the cAMP-responsive guanine nucleotide exchange factor Epac. *J Biol Chem.* 2003 Jun 27;278(26):23508–14. DOI: 10.1074/jbc.M301680200

 12. Robichaux WG, Cheng X. Intracellular cAMP Sensor EPAC:
- 12. Robichaux WG, Cheng X. Intracellular cAMP Sensor EPAC: Physiology, Pathophysiology, and Therapeutics Development. *Physiol Rev.* 2018 Apr 1;98(2):919–1053. DOI: 10.1152/physrev.00025.2017

- 13. Sehrawat S, Ernandez T, Cullere X, et al. AKAP9 regulation of microtubule dynamics promotes Epac1-induced endothelial barrier properties. *Blood.* 2011 Jan 13;117(2):708–18. DOI: 10.1182/blood-2010-02-268870
- 14. Hong J, Doebele RC, Lingen MW, et al. Anthrax edema toxin inhibits endothelial cell chemotaxis via Epac and Rap1. *J Biol Chem.* 2007 Jul 6; 282(27):19781–7. DOI: 10.1074/jbc.M700128200
- 15. Amano H, Ando K, Minamida S, et al. Adenylate cyclase/protein kinase A signaling pathway enhances angiogenesis through induction of vascular endothelial growth factor *in vivo. Jpn J Pharmacol.* 2001 Nov;87(3):181–188. DOI: 10.1254/jjp.87.181
- 16. Kawano Y, Yoshimura T, Kaibuchi K, Smooth muscle contraction by small GTPase Rho. *Nagoya J Med Sci.* 2002 May;65(1-2):1–8. PMID: 12083286
- 17. Wang H, Robichaux WG, Wang Z, et al. Inhibition of Epac1 suppresses mitochondrial fission and reduces neointima formation induced by vascular injury. *Sci Rep.* 2016 Nov 10;6:36552. DOI: 10.1038/srep36552
- 18. Pereira L, Rehmann H, Lao DH, et al. Novel Epac fluorescent ligand reveals distinct Epac1 vs. Epac2 distribution and function in cardiomyocytes. *Proc Natl Acad Sci USA*. 2015 Mar 31;112(13):3991–3996. DOI: 10.1073/pnas.1416163112
- 19. Mangmool S, Hemplueksa P, Parichatikanond W, Chattipakorn N. Epac is required for GLP-1R-mediated inhibition of oxidative stress and apoptosis in cardiomyocytes. *Mol Endocrinol*. 2015 Apr;29(4):583–596. DOI: 10.1210/me.2014-1346
- 20. Fazal L, Laudette M, Paula-Gomes S, et al. Multifunctional Mitochondrial Epac1 Controls Myocardial Cell Death. *Circ Res.* 2017 Feb 17;120(4):645–657. DOI: 10.1161/CIRCRESAHA.116.309859
- 21. Laudette M, Coluccia A, Sainte-Marie Y, et al. Identification pharmacological inhibitor Epac1 that protectsheart against acute and chronic modelscardiac stress. *Cardiovasc Res.* 2019 Mar 14. pii: cvz076. DOI: 10.1093/cvr/cvz076
- 22. Insel PA, Murray F, Yokoyama U, et al. cAMP and Epac in the regulation of tissue fibrosis. *Br J Pharmacol*. 2012 May;166(2):447–456. DOI: 10.1111/j.1476-5381.2012.01847.x
- 23. Pereira L, Cheng H, Lao DH, et al. Epac2 mediates cardiac β 1-adrenergic-dependent sarcoplasmic reticulum Ca²⁺ leak and arrhythmia. *Circulation*. 2013 Feb 26;127(8):913–22. DOI: 10.1161/CIRCULATIONAHA.12.148619
- 24. Enserink JM, Christensen AE, de Rooij J, et al. A novel Epac-specific cAMP analogue demonstrates independent regulation of Rap1 and ERK. *Nat Cell Biol.* 2002;4:901–906. DOI: 10.1038/ncb874
- 25. Christensen AE, Selheim F, de Rooij J, et al. cAMP analog mapping of Epac1 and cAMP kinase. Discriminating analogs demonstrate that Epac and cAMP kinase act synergistically to promote PC-12 cell neurite extension. *J Biol Chem.* 2003;278:35394—35402. DOI: 10.1074/jbc.M302179200
- 26. Dao KK, Teigen K, Kopperud R, et al. Epac1 and cAMP-dependent protein kinase holoenzyme have similar cAMP affinity, but their cAMP domains have distinct structural features and cyclic nucleotide recognition. *J Biol Chem.* 2006;281:21500–21511. DOI: 10.1074/jbc.M603116200
- 27. Schwede F, Bertinetti D, Langerijs CN, et al. Structure-guided design of selective Epac1 and Epac2 agonists. *PLoS Biol.* 2015;13:e1002038.
- 28. Wang P, Liu Z, Chen H, et al. Exchange proteins directly activated by cAMP (EPACs): Emerging therapeutic targets. *Bioorg Med Chem Lett.* 2017 Apr 15;27(8):1633–1639. DOI: 10.1016/j.bmcl.2017.02.065
- 29. Vliem MJ, Ponsioen B, Schwede F, et al. 8-pCPT-2'-O-Me-cAMP-AM: an improved Epac-selective cAMP analogue. *ChemBioChem*. 2008;9:2052–2054. DOI: 10.1002/cbic.200800216
- 30. Schmidt M, Dekker FJ, Maarsingh H. Exchange protein directly activated by cAMP (epac): a multidomain cAMP mediator in the regulation of diverse biological functions. *Pharmacol Rev.* 2013;65:670–709. DOI: 10.1124/pr.110.003707
- 31. Poppe H, Rybalkin SD, Rehmann H, et al. Cyclic nucleotide analogs as probes of signaling pathways. *Nat Methods*. 2008;5:277–278. DOI: 10.1038/nmeth0408-277
- 32. Takahashi T, Shibasaki T, Takahashi H, et al. Antidiabetic sulfonylureas and cAMP cooperatively activate Epac2A. *Sci Signal*. 2013 Oct 22;6(298):ra94. DOI: 10.1126/scisignal.2004581

- 33. Zhang CL, Katoh M, Shibasaki T, et al. The cAMP sensor Epac2 is a direct target of antidiabetic sulfonylurea drugs. *Science*. 2009 Jul 31;325(5940):607–610. DOI: 10.1126/science.1172256
- 34. Enyeart JA, Liu H, Enyeart J. cAMP analogs and their metabolites enhance TREK-1 mRNA and K+ current expression in adrenocortical cells. *J. Mol Pharmacol.* 2010;77:469–482.
- DOI: 10.1124/mol.109.061861
- 35. Herfindal L, Nygaard G, Kopperud R, et al. Off-target effect of the Epac agonist 8-pCPT-2'-O-Me-cAMP on P2Y12 receptors in blood platelets. *Biochem Biophys Res Commun.* 2013;437:603–608. DOI: 10.1016/j.bbrc.2013.07.007
- 36. Tsalkova T, Mei FC, Cheng X. A fluorescence-based high-throughput assay for the discovery of exchange protein directly activated by cyclic AMP (EPAC) antagonists. *PLoS One.* 2012;7:e30441. [PubMed: 22276201]. DOI: 10.1371/journal.pone.0030441
- 37. Tsalkova T, Mei FC, Li S, et al. Isoform-specific antagonists of exchange proteins directly activated by cAMP. *Proc Natl Acad Sci USA*. 2012;109:18613–18618. DOI: 10.1073/pnas.1210209109
- 38. Kraemer A, Rehmann HR, Cool RH, et al. Dynamic interaction of cAMP with the Rap guanine-nucleotide exchange factor Epac1. *J Mol Biol.* 2001;306:1167–1177. [PubMed: 11237625]. DOI: 10.1006/jmbi.2001.4444
- 39. Chen H, Tsalkova T, Mei FC, et al. Zhou 5-Cyano-6-oxo-1,6-dihydro-pyrimidines as potent antagonists targeting exchange proteins directly activated by cAMP. *J. Bioorg Med Chem Lett.* 2012;22:4038–4043. DOI: 10.1016/j.bmcl.2012.04.082
- 40. Chen H, Yang Z, Ding C, et al. Fragment-based drug design and identification of HJC0123, a novel orally bioavailable STAT3 inhibitor for cancer therapy. *Eur J Med Chem.* 2013;62:498–507. [PubMed: 23416191] DOI: 10.1016/j.ejmech.2013.01.023
- 41. Chen H, Tsalkova T, Chepurny OG, et al. Identification and characterization of small molecules as potent and specific EPAC2 antagonists. *J Med Chem.* 2013;56:952–962. DOI: 10.1021/jm3014162
- 42. Wild CT, Zhu Y, Na Y, et al. Functionalized N,N-Diphenylamines as Potent and Selective EPAC2 Inhibitors. *ACS Med Chem Lett.* 2016;7: 460–464. DOI: 10.1021/acsmedchemlett.5b00477
- 43. Tsalkova T, Mei FC, Li S, et al. Isoform-specific antagonists of exchange proteins directly activated by cAMP. *Proc Natl Acad Sci USA*. 2012 Nov 6;109(45):18613–8. DOI: 10.1073/pnas.1210209109
- 44. Chen H, Ding CY, Wild C, et al. Efficient Synthesis of ESI-09, A Novel Non-cyclic Nucleotide EPAC Antagonist. *Tetrahedron Lett.* 2013;54:1546–1549. DOI: 10.1016/j.tetlet.2013.01.024
- 45. Ye N, Zhu Y, Chen H, et al. Structure-Activity Relationship Studies of Substituted 2-(Isoxazol-3-yl)-2-oxo-N'-phenyl-acetohydrazonoyl Cyanide Analogues: Identification of Potent Exchange Proteins Directly Activated by cAMP (EPAC) Antagonists. *J Med Chem.* 2015;58(15):6033–6047. DOI: 10.1021/acs.jmedchem.5b00635
- 46. Na Ye, Yingmin Zhu, Zhiqing Liu, Fang C. Mei, Haiying Chen, Pingyuan Wang, Xiaodong Cheng, and Jia Zhou. Identification of novel 2-(benzo[d]isoxazol-3-yl)-2-oxo-N-phenylacetohydrazonoyl cyanide analogues as potent EPAC antagonists. *Eur J Med Chem.* 2017 July 07;134: 2–71. DOI: 10.1016/j.ejmech.2017.04.001
- 47. Courilleau D, Bisserier M, Jullian JC, et al. Identification of a tetrahydroquinoline analog as a pharmacological inhibitor of the cAMP-binding protein Epac. *J Biolog Chem.* 2012;287:44192–44202. DOI: 10.1074/jbc.M112.422956
- 48. Courilleau D, Bouyssou P, Fischmeister R, et al. The (R)-enantiomer of CE3F4 is a preferential inhibitor of human exchange protein directly activated by cyclic AMP isoform 1 (Epac1). *Biochem Biophys Res Commun*. 2013;440:443–448. DOI: 10.1016/j.bbrc.2013.09.107
- 49. Brown LM, Rogers KE, Aroonsakool N, et al. Allosteric inhibition of Epac: computational modeling and experimental validation to identify allosteric sites and inhibitors. *J. Biol. Chem.* 2014;289(42):29148–29157. DOI: 10.1074/jbc.M114.569319

Исследование кардиотропной активности орто-алкокси аналогов соединения АЛМ-802

Мокров Г. В., Лихошерстов А. М., Барчуков В. В., Столярук В. Н., Цорин И. Б., Вититнова М. Б., Крыжановский С. А., Гудашева Т. А.

ФГБНУ «НИИ фармакологии имени В.В. Закусова», Москва

Аннотация. Синтезированы новые орто-алкокси аналоги соединения АЛМ-802 - 1a (N^1 -(2-метоксибензил)- N^2 -[2-((2-метоксибензил)- N^2 -[2-((2-метоксибензил)- N^2 -[2-((2-метоксибензил)- N^2 -[2-((2-этоксибензил)- N^2 -[2-((2-метоксибензил)- N^2 -(2-((2-метоксибензил)- N^2 -(2-((2-метоксибензил)- N^2 -(2-((2-метоксибензил)- N^2 -((2-метоксибензил)- N^2 -(2-((2-метоксибензил)- N^2 -(2-((2-метоксибензил)- N^2 -((2-метоксибензил)- N^2 -((2-метоксибензил)- N^2 -(2-((2-метоксибензил)- N^2 -(2-((2-метоксибензил)- N^2 -((2-метоксибензил)- N^2 -((2-метоксибензил)- N^2 -(2-метоксибензил)- N^2 -(2-метоксибензил)- N^2 -(2-метоксибензил)- N^2 -(2-мето

Ключевые слова: ингибиторы окисления свободных жирных кислот; антиишемическая и антиаритмическая активности; линейные метоксифенилтриазаалканы; АЛМ-802

Для цитирования:

Мокров Г. В., Лихошерстов А.М., Барчуков В.В., Столярук В.Н., Цорин И.Б., Вититнова М.Б., Крыжановский С.А., Гудашева Т.А. Исследование кардиотропной активности орто-алкокси аналогов соединения АЛМ-802 // Φ армакокинетика и Φ армакодинамика. – 2019. – № 4. – С. 18–23. DOI: 10.37489/2587-7836-2019-4-18-23

Study of ALM-802 orto-alkoxi analogues cardiotropic activity

Mokrov GV, Likhosherstov AM, Barchukov VV, Stolyaruk VN, Tsorin IB, Vititnova MB, Kryzhanovskiy SA, Gudasheva TA FSBI «Zakusov Institute of Pharmacology», Moscow

Abstract. New ortho-alkoxy analogs of the compound ALM-802 1a $(N^1-(2-methoxybenzyl)-N^2-[2-((2-methoxybenzyl)amino)ethyl]ethane-1,2-diamine trihydrochloride) and 1b <math>(N^1-(2-ethoxybenzyl)-N^2-[2-((2-ethoxybenzyl)amino)ethyl]ethane-1,2-diamine trihydrochloride), which differ from it by the presence of alkoxy groups in the phenyl rings only in the ortho positions. It was established that these structural changes lead to the disappearance of anti-ischemic activity. At the same time, antiarrhythmic activity was revealed in compound 1b on the models of aconitine and calcium chloride arrhythmias in rats (1 mg / kg, intravenously), which was absent in 1a.$

Keywords: free fatty acid oxidation inhibitors; anti-ischemic and antiarrhythmic activities; linear methoxyphenyltriazaalkanes; ALM-802

For citations:

Mokrov GV, Likhosherstov AM, Barchukov VV, Stolyaruk VN, Tsorin IB, Vititnova MB, Kryzhanovskiy SA, Gudasheva TA. Study of ALM-802 orto-alkoxi analogues cardiotropic activity. Farmakokinetika i farmakodinamika. 2019;4:18–23. (In Russ). DOI: 10.37489/2587-7836-2019-4-18-23

Введение

В НИИ фармакологии имени В.В. Закусова ранее были сконструированы и синтезированы соединения ряда линейных и циклических метоксифенилтриазаалканов (А и В) [1]. В этих веществах были совмещены фармакофорные элементы известных ингибиторов окисления свободных жирных кислот триметазидина [2] и ранолазина [3], широко используемых в клинической практике для лечения ишемической болезни сердца и хронической сердечной недостаточности, помимо этого ранолазин с успехом применяется для купирования нарушений сердечного ритма [4-7]. Большинство представителей метоксифенилтриазаалканов А и В обладали кардиотропной активностью на моделях аритмии и ишемии у экспериментальных животных [1]. Наиболее активным в группе производных **A** и **B** оказалось соединение АЛМ-802 (тригидрохлорид N¹-(2,3,4-триметоксибензил $)-N^2-\{2-[(2,3,4-триметокси$ бензил)амино]этил}-1,2-этандиамина) (рис.). АЛМ-802 в дозе 1 мг/кг при внутривенном введении препятствовало развитию аритмий у крыс на моделях аконитиновой и хлоридкальциевой аритмии, увеличивало порог электрической фибрилляции желудочков сердца крыс с 2 до 10 мА. Кроме того, в дозе 1 мг/кг при внутривенном введении в условиях модели субэндокардиальной ишемии у крыс это соединение препятствовало депрессии сегмента ST на электрокардиограмме животных по сравнению с контрольной группой, демонстрируя выраженный анти-ишемический эффект.

Целью настоящей работы явилось продолжение изучения влияния строения метоксифенилтриазаалканов на их биологическую активность. Объектом исследования при этом явились орто-алкокси аналоги соединения АЛМ-802 (1), отличающиеся тем, что арильные фармакофоры молекул содержат только по одной алкокси-группе в орто-положениях (см. рис.).

Синтез

Синтез орто-алкокси аналогов соединения АЛМ-802 (**1a**, **1b**) осуществлялся путём восстановительного аминирования 2-метокси- или 2-этоксибензальдегида с

$$R^{2}$$
 R^{1}
 R^{2}
 R^{2}
 R^{3}
 R^{4}
 R^{5}
 R^{5}
 R^{5}
 R^{6}
 R^{7}
 R^{7}
 R^{7}
 R^{7}
 R^{7}
 R^{2}
 R^{3}
 R^{4}
 R^{5}
 R^{5}
 R^{5}
 R^{5}
 R^{7}
 R^{5}
 R^{7}
 R^{7

Рис. Линейные и циклические метоксифенилтриазаалканы (**A** и **B**), соединение АЛМ-802, орто-алкокси аналоги соединения АЛМ-802 (**1**)

диэтилентриамином в соотношении 2:1, соответственно, в этаноле. Восстановление осуществляли путём каталитического гидрирования на палладиевом катализаторе.

N¹-(2-Метоксибензил)-N²-[2-((2-метоксибензил) амино)этил]этан-1,2-диамин тригидрохлорид (1а)

Получен из 2-метоксибензальдегида. Выход 6,5 г (54 %). Т.пл. 201—203 °С (с разл.). Найдено %: С 50,89; Н 7,38; N 9,03; Cl 22,44. $C_{20}H_{32}Cl_3N_3O_2$ H_2O . Вычислено %: С 51,02; Н 7,28; N 8,92; Cl 22,59. ¹H NMR (DMSO, δ , ppm, J/Hz): 3,26—3,47 (м, δ H, ((CH₂)₂)₂N); 3,85 (c, δ H, 2 OMe); 4,16 (c, 4 H, 2 CH₂Ar); 6,99 (τ , 2 H, 2 ArH(3), $J^3 = 8,5$); 7,10 (σ , 2 H, 2 ArH(2), $J^3 = 8,5$); 7,41 (τ , 2 H, 2 ArH(4), $J^3 = 8,5$); 7,50 (σ , 2 H, 2 ArH(5), $J^3 = 8,5$).

N^1 -(2-Этоксибензил)- N^2 -[2-((2-этоксибензил) амино)этил]этан-1,2-диамин тригидрохлорид (1b)

Получен из 3-метоксибензальдегида. Выход 7,55 г (69,1 %). Т.пл. 215—218 °C (с разл.). Найдено %: С 54,56; Н 7,71; N 8,61; Cl 22,56. $C_{22}H_{36}Cl_3N_3O_2$. Вычислено %: С 54,95; Н 7,55; N 8,74; Cl 22,12. ¹H NMR (DMSO, δ , ppm, J/Hz): 1,39 (т, 6 H, 2 CH $_3$, J_3 = 8,0); 3,25—3,49 (м, 8 H, ((CH $_2$) $_2$)N); 4,10 (кв, 4 H, 2 OCH $_2$, J^3 = 8,0); 4,15 (с, 4 H, 2 CH $_3$ Ar); 6,97 (т, 2 H, 2 ArH(3), J^3 = 8,5); 7,08 (д, 2 H, 2 ArH(2), J^3 = 8,5); 7,39 (т, 2 H, 2 ArH(4), J^3 = 8,5); 7,52 (д, 2 H, 2 ArH(5), J^3 = 8,5).

Материалы и методы

Животные

В экспериментах по оценке острой токсичности соединений использовали беспородных мышей-самцов с массой тела 21—24 г. В экспериментах по оценке антиишемической и антиаритмической активности соединений использовали белых беспородных крыс-самцов массой 160—420 г. Все животные были получены из ФГБУН «Научный центр биомедицинских технологий Федерального медико-биологического агентства», филиал «Столбовая». Животных содержали в соответствии с приказом Минз-

драва России № 199 от 01 апреля 2016 года «Об утверждении правил надлежащей лабораторной практики» и СП 2.2.1.3218-14 «Санитарно-эпидемиологические требования к устройству, оборудованию и содержанию экспериментально-биологических клиник (вивариев)» от 29 августа 2014 г. № 51. Все эксперименты с животными проводили в соответствии с международными правилами (European Communities Council Directive of November 24,1986 (86/609/ EEC)), а также в соответствии с «Правилами работы с животными», утверждёнными биоэтической комиссией ФГБНУ «НИИ фармакологии имени В.В. Закусова».

Определение LD₅₀

Значения LD $_{50}$ соединений определяли на беспородных мышах-самцах. Вещества вводили внутрибрющинно в пяти различных дозах, число животных в каждой серии 6. В качестве растворителя использовали апирогенную воду для инъекций. Летальность животных оценивали через 24 ч после введения соединений. Значения LD $_{16}$, LD $_{50}$ и LD $_{84}$ с их доверительными 95 % интервалами рассчитывали по методу Литчфилда—Вилкоксона.

Модель субэндокардиальной ишемии у крыс, вызываемой изопротеренолом

Антиишемическую активность соединений изучали на белых беспородных крысах-самцах массой 250-300 г, наркотизированных уретаном (1 300 мг/кг, в/б). Острую субэндокардиальную ишемию миокарда вызывали по методу *Yamamoto S. с соавт*. [8]. Для этой цели животным с помощью инъектора «Линеомат» (Россия) внутривенно со скоростью 20 мкг/кг/мин вводили неселективный агонист β -адренорецепторов изопротеренол. Об интенсивности ишемического повреждения судили по величине депрессии сегмента ST на ЭКГ (II стандартное отведение) через 5 мин от момента начала инфузии изопротеренола. В качестве регистратора использовали компьютерный электрокардиограф «Полиспектр 8/EX» (Нейрософт, Россия).

Животных рандомизировали на четыре группы: 1-я — контроль (n = 16); 2-я соединение АЛМ-802 (n = 7); 3-я — соединение 1a (n = 7); 4-я — соединение 1b (n = 9). Изучаемые вещества вводили внутривенно в дозе 1 мг/кг за 2 мин до начала инфузии изопротеренола. Животным контрольной группы вводили эквивалентный объём изотонического 0,9% раствора натрия хлорида.

Модель аконитиновой аритмии [9, 10]

Опыты проводили на беспородных наркотизированных (уретан 1 300 мг/кг, в/б) крысах-самцах массой 160—180 г. Животных переводили на искусственное дыхание. Регистрировали ЭКГ во II стандартном отведении. В качестве регистратора использовали Mingograf-82 фирмы Elema-Siemens (Швеция). Визуальный контроль регистрируемых параметров в течение всего эксперимента производили при помощи 8-канального осциллоскопа фирмы Nihon Konden (Япония). Число животных в группах указано в табл. 2. В контрольной серии экспериментов определяли минимальную дозу аконитина, вызывающую фатальные нарушения ритма сердца в первые 5 мин от момента его внутривенного введения. Животным опытных групп за 2 мин до инъекции аконитина вводили исследуемые соединения (1 мг/кг, в/в). В каждой опытной группе оценивали число погибших животных в первые 5 мин после введения аконитина.

Модель хлоридкальциевой аритмии [9, 10]

Опыты проводили на беспородных наркотизированных (уретан 1 300 мг/кг, в/б) крысах-самцах массой тела 250—300 г. Животных переводили на искусственное дыхание. Регистрировали ЭКГ во II стандартном отведении. В качестве регистратора использовали Mingograf-82 фирмы Elema-Siemens (Швеция). Визуальный контроль регистрируемых параметров в течение всего эксперимента производили при помощи 8-канального осциллоскопа фирмы Nihon Konden (Япония). Число животных в группах указано в табл. 2. В контрольной серии экспериментов определяли минимальную дозу кальция хлорида, вызывающую фатальные нарушения ритма сердца в первые 5 мин от момента его внутривенного введения. Животным опытных групп за 2 мин до инъекции кальция хлорида вводили исследуемые соединения (1 мг/кг, в/в). В каждой опытной группе оценивали кчисло погибших животных в первые 5 мин после введения кальция хлорида.

Модель электрической фибрилляции желудочков сердца [9]

Опыты проводили на анестезированных (уретан, 1 300 мг/кг, в/б) беспородных крысах-самцах массой тела 380—420 г. Животных переводили на искусственное дыхание; производили стернэктомию и перикардотомию. В миокард левого желудочка сердца на расстоянии 3—5 мм друг от друга имплантировали два позолоченных электрода. Порог электрической фибрилляции сердца определяли сканированием уязвимого периода серией из 20 прямоугольных импульсов постоянного тока уве-

личивающейся интенсивности (длительность импульса 4 мс, частота 50 имп/с) до возникновения фибрилляции желудочков. За порог фибрилляции принимали минимальную силу тока, стабильно вызывающую фибрилляцию желудочков при повторной стимуляции. В опыт отбирали только тех животных, у которых фибрилляция желудочков наступала при силе тока не более 6 мА.

В работе использовали электростимулятор HSE Stimulator II (Hugo Sach Electronik, Германия). В течение всего эксперимента регистрировали ЭКГ (II стандартное отведение). В качестве регистратора использовали электрокардиограф ЭК 4Т-02 (Россия). Визуальный контроль регистрируемых параметров в течение всего эксперимента производили при помощи 4-канального осциллоскопа фирмы Elema-Simiens (Швеция). Животных рандомизировали на 3 группы по 6 крыс в каждой: 1-я — соединение АЛМ-802; 2-я — соединение 1а; 3-я — соединение 1b. Исследуемые соединения (1 мг/кг, в/в) вводили за 5 мин до определения порога электрической фибрилляции желудочков сердца.

Статистическая обработка

При анализе данных, полученных при исследовании антиишемической активности соединений, нормальность распределения оценивали с помощью критерия Шапиро-Уилка; гомогенность выборочных дисперсий проверяли по Левену. Так как распределение данных было близко к нормальному, выборочные дисперсии были гомогенны, статистическую значимость различий между группами определяли с помощью однофакторного дисперсионного анализа с дальнейшей обработкой по критерию Стьюдента с поправкой Бонферрони. Различия считали значимыми при $p \le 0.05$, критерий двухсторонний. Полученные результаты выражали в виде средних арифметических и их стандартных ошибок. При анализе антиаритмической активности статистическую значимость различий между экспериментальными выборками определяли с помощью метода точной вероятности Фишера с учётом множественности сравнений, а при анализе антифибрилляторной активности — с использованием знаково-рангового критерия Вилкоксона.

Результаты и обсуждение

Исследование острой токсичности новых соединений показало, что в то время как значение LD_{50} для соединения **1a** составило 116,6 мг/кг, что практически совпадает с данным показателем для АЛМ-802 (118,8 мг/кг), то для соединения **1b** LD_{50} составило 50,1 мг/кг (табл. 1).

Таким образом, удаление мета- и пара-метокси групп из соединения АЛМ-802 не приводило к изменению токсичности, однако увеличение орто-алкоксизаместителя на одно метиленовое звено сразу увеличивало значение показателя LD_{50} более чем в два раза.

 Таблица 1

 Острая токсичность соединений 1a и 1b сравнении с АЛМ-802 (беспородные мыши-самцы, внутрибрюшинное введение)

Соединения	LD ₁₆ мг/кг, в/б	LD ₅₀ мг/кг, в/б	LD ₈₄ мг/кг, в/б
АЛМ-802	98,6 (98,2÷99,0)	118,8 (103,0÷121,4)	126,9 (126,4÷127,4)
1a	82,7 (78,8÷86,8)	116,6 (93,2÷145,8)	164,3 (156,5÷170,5)
1b	33.1 (31.0÷35.4)	50.1 (39.7÷63.4)	75.9 (71.1÷81.0)

Tаблица 2 Антиишемическая и антиаритмическая активность соединений 1 а и 1 в сравнении с АЛМ802 в дозе 1 мг/кг у беспородных белых крыс-самцов (внутривенное введение)

Соединение	Депрессия сегмента ST после 5 мин инфузии изопротеренола*, мВ	Антиаритмическая активность на модели аконитиновой аритмии**	Антиаритмическая актив- ность на модели хлоридкаль- циевой аритмии**	Влияние на порог электрической фибрилля- ции желудочков сердца***
Контроль	0.20 ± 0.02 ($n = 16$)	0/11	0/11	_
АЛМ-802	$0.01\pm0.01 (n = 7) p = 0.001$	p < 0.001	p = 0.008	p = 0.018
1a	0.16 ± 0.03 ($n = 7$)	0/6	0/6	
1b	0.13 ± 0.05 (n=9)	6/6 $p = 0.001$	p = 0.036	$ \begin{array}{c} 1/1 \\ (n=6) \end{array} $

Примечания: * — на ЭКГ во II стандартном отведении (20 мкг/кг/мин изопротеренола в/в в течение 5 мин), p — указано по отношению к контролю; ** — в числителе указано число выживших животных, в знаменателе объём выборки, p — указано по отношению к контролю; *** — в числителе указан исходный уровень, в знаменателе — порог фибрилляции после введения вещества (показаны медианы) (в мА), p — указано по отношению к исходному уровню.

Исходя из данных по токсичности, для изучения кардиотропной активности соединений АЛМ-802, **1a** и **1b** была выбрана одинаковая доза 1 мг/кг, именно в этой дозе АЛМ-802 было эффективно в ранее проведённых исследованиях.

При исследовании антиишемического действия соединений ${\bf 1a}$ и ${\bf 1b}$ на модели субэндокардиальной ишемии у крыс, вызываемой изопротеренолом, значимого эффекта выявлено не было, в то время как вещество АЛМ-802 обладало на данной модели выраженным противоишемическим действием (p=0,001; табл. 2).

При исследовании антиаритмической активности было установлено, что на модели аконитиновой аритмии соединение 1а не обладало антиаритмическим эффектом (см. табл. 2), в тоже время этокси-производное **1b** и вещество АЛМ-802 полностью препятствовали развитию нарушений сердечного ритма. Сходные результаты были получены на модели хлоридкальциевой аритмии: соединение 1а не обладало антиаритмической активностью, в то время как 1b и АЛМ-802 обладали статистически значимым эффектом (табл. 2). На модели электрической фибрилляции желудочков сердца вещество АЛМ-802 статистически значимо (p = 0.018) увеличивало порог фибрилляции желудочков с 2 до ≥10 мА. Соединение 1а также увеличивало этот показатель с 1 до 5 мА, однако эти изменения были статистически незначимыми (p = 0.062). Производное **1b** в данной модели оказалось неэффективным.

Анализ влияния представленных в работе структурных изменений соединения АЛМ-802 позволяет сделать

следующие выводы. Если при удалении из молекулы АЛМ-802 лишь одной пара-метокси группы антиишемическое действие соответствующего соединения сохраняется на уровне тенденции [1], то при наличии лишь одной пары орто-метокси групп в арильных фармакофорах эта активность полностью исчезает. У этокси-соединения **1b** антиишемического эффекта также не наблюдается. Эти данные подтверждают тот факт, что для наличия антиишемической активности в группе метоксифенилтриазаалканов требуется наличие именно трёх метокси-групп в орто-, мета- и пара-положениях арильных фармакофоров.

Практически полное отсутствие антиаритмической активности соединения **1a**, и её наличие в моделях аконитиновой аритмии и хлоридкальциевой аритмии у соединения **1b** может свидетельствовать о реализации отличного от АЛМ-802 механизма действия этокси-производного. Частично это подтверждает и существенное изменение острой токсичности соединения **1b** в сравнении с **1a** и АЛМ-802.

Таким образом, в работе были синтезированы новые орто-алкокси аналоги соединения АЛМ-802 1а и 1b, отличающиеся от него наличием алкоксигрупп в фенильных кольцах только в орто-положениях. Установлено, что эти структурные изменения приводит к исчезновению антиишемической активности. В то же время у соединения 1b выявлена антиаритмическая активность на моделях аконитиновой и хлоридкальциевой аритмии у крыс (1 мг/кг, внутривенно), которая отсутствовала у 1а.

СВЕДЕНИЯ ОБ АВТОРАХ

Мокров Григорий Владимирович Автор, ответственный за переписку

e-mail: g.mokrov@gmail.com ORCID: 0000-0003-2617-0334

SPIN-код: 8755-7666

к. х. н., в. н. с. лаборатории тонкого органического синтеза отдела химии лекарственных средств ФГБНУ «НИИ фармакологии имени В.В. Закусова», Москва

Лихошерстов Аркадий Михайлович

ORCID ID: 0000-0001-5935-5146

SPIN-код: 1980-7331

к. х. н., консультант отдела химии лекарственных средств ФГБНУ «НИИ фармакологии имени В.В. Закусова», Москва

Барчуков Владимир Валерьевич

ORCID ID: 0000-0003-4229-3107

SPIN-код: 6743-4280

н. с. лаборатории фармакологического скрининга ФГБНУ «НИИ фармакологии

имени В.В. Закусова», Москва

Столярук Валерий Николаевич

ORCID ID: 0000-0002-4779-427X

SPIN-код: 3405-8229

к. м. н., с. н. с. лаборатории

фармакологического скрининга ФГБНУ «НИИ фармакологии имени В.В. Закусова», Москва

Цорин Иосиф Борисович

ORCID ID: 0000-0002-3988-7724

SPIN-код: 4015-3025

д. б. н., в. н. с. лаборатории

фармакологического скрининга ФГБНУ «НИИ фармакологии имени В.В. Закусова», Москва

Вититнова Марина Борисовна

ORCID ID: 0000-0002-7407-7516

SPIN-код: 1901-8919

к. б. н., с. н. с. лаборатории

фармакологического скрининга ФГБНУ «НИИ фармакологии имени В.В. Закусова», Москва

Крыжановский Сергей Александрович

ORCID ID: 0000-0003-2832-4739

SPIN-код: 6596-4865

д. м. н., заведующий лабораторией

фармакологического скрининга ФГБНУ «НИИ фармакологии имени В.В. Закусова», Москва

Mokrov Grigory Corresponding author

e-mail: g.mokrov@gmail.com ORCID: 0000-0003-2617-0334

SPIN code: 8755-7666

Candidate of Chemical Sciences, Leading Researcher of the fine organic synthesis laboratory at the medicinal chemistry department FSBI «Zakusov Institute of Pharmacology», Moscow

Likhosherstov Arkady

ORCID ID: 0000-0001-5935-5146

SPIN code: 1980-7331

Candidate of Chemical Sciences, Consultant of drug chemistry department. FSBI «Zakusov

Institute of Pharmacology», Moscow

Barchukov Vladimir

ORCID ID: 0000-0003-4229-3107

SPIN code: 6743-4280

Research Scientist of laboratory of pharmacological screening FSBI «Zakusov Institute of Pharma-

cology», Moscow

Stolyaruk Valeriy

ORČID ID: 0000-0002-4779-427X

SPIN code: 3405-8229

PhD, Senior Researcher Scientist of laboratory of

pharmacological screening FSBI «Zakusov Insti-

tute of Pharmacology», Moscow

Tsorin Iosif

ORCID ID: 0000-0002-3988-7724

SPIN code: 4015-3025

Doctor of Biological Sciences, Leading researcher of laboratory of pharmacological screening FSBI «Zakusov Institute of Pharmacology», Moscow

Vititnova Marina

ORCID ID: 0000-0002-7407-7516

SPIN code: 1901-8919

Candidate of Biologicall Sciences, Senior researcher scientist of laboratory of pharmacological screening FSBI «Zakusov Institute of Pharmacol-

ogy», Moscow

Kryzhanovskii Sergey

ORCID ID: 0000-0003-2832-4739

SPIN code: 6596-4865

Doctor of Medical Sciences, Head of laboratory of

pharmacological screening FSBI «Zakusov

Institute of Pharmacology», Moscow

Гудашева Татьяна Александровна

ORCID ID: 0000-0002-5185-4474

SPIN-код: 4970-0006

д. б. н., профессор, член-корреспондент РАН, Руководитель отдела химии лекарственных средств ФГБНУ «Научно-исследовательский институт фармакологии имени В.В. Закусова», Москва

Gudasheva Tatiana

ORCID ID: 0000-0002-5185-4474

SPIN code: 4970-0006

Doctor of Biological Sciences, professor, RAS corresponding member, Head of medicinal chemistry department FSBI «Zakusov institute of Pharmacology», Moscow

Литература / References

- 1. Мокров Г.В., Лихошерстов А.М., Барчуков В.В. и др. Синтез и кардиотропная активность линейных метоксифенилтриазаалканов // *Хим.-фарм. журн.* 2019. Т. 53. № 6. 16—23. [Mokrov GV, Likhosherstov AM, Barchukov VV, et al. Synthesis and cardiotropic activity of linear methoxyphenyltriazalkanes. *Khim.-Pharm. Journal.* 2019;53(6): 16—23. (In Russ).] DOI: 10.30906/0023-1134-2019-53-6-16-23
- 2. Kantor PF, Lucien A, Kozak R, Lopaschuk GD. The antianginal drug trimetazidine shifts cardiac energy metabolism from fatty acid oxidation to glucose oxidation by inhibiting mitochondrial long-chain 3-ketoacyl coenzyme A thiolase. *Circ Res.* 2000;86(5):580–588. DOI: 10.1161/01.RES.86.5.580
- 3. Aldakkak M, Camara AK, Heisner JS, et al. Ranolazine reduces Ca²⁺ overload and oxidative stress and improves mitochondrial integrity to protect against ischemia reperfusion injury in isolated hearts. *Pharmacol Res.* 2011;64(4):381–392. DOI: 10.1016/j.phrs.2011.06.018
- 4. Fragasso G, Salerno A, Spoladore R, et al. Effects of metabolic approach in diabetic patients with coronary artery disease. *Curr. Pharm. Des.* 2009;15(8):857–862. DOI: 10.2174/138161209787582093
- 5. Hu B, Li W, Xu T, et al. Evaluation of trimetazidine in angina pectoris by echocardiography and radionuclide angiography: a meta-analysis of

randomized, controlled trials. *Clin. Cardiol.* 2011;34(6):395–400. DOI: 10.1002/clc.20888

- 6. Zhang L, Lu Y, Jiang H, et al. Additional use of trimetazidine in patients with chronic heart failure: a meta-analysis. *J. Am. Coll. Cardiol.* 2012;59(10):913–922. DOI: 10.1016/j.jacc.2011.11.027
- 7. Vizzardi E, D'Aloia A, Quinzani F, et al. A focus on antiarrhythmic properties of ranolazine. *J. Cardiovasc. Pharmacol. Ther.* 2012;17(4):353–356. DOI: 10.1177/1074248412442000
- 8. Yamamoto S, Matsui K, Sasabe M, Ohashi N. Effect of an orally active Na+/H+ exchange inhibitor, SMP-300, on experimental angina and myocardial infarction models in rats. *J. Cardiovasc. Pharmacol.* 2002;39(2):234–241. DOI: 10.1097/00005344-200202000-00010
- 9. Миронов А.Н. Руководство по проведению доклинических исследований лекарственных средств, часть 1, Гриф и К, М.: 2013; сс. 385—416 [Mironov AN. Rukovodstvo po provedeniyu doklinicheskikh issledovaniy lekarstvennykh sredstv, part 1. Grif i K. Moscow: 2013. (In Russ).]
- 10. Илюшкина И.А., Берчатова А.Н., Дьяченко И.А., и др. Модели оценки новых противоаритмических препаратов // *Биомедицина.* 2012. № 2. С. 6—13. [Ilushkina IA, Berchatova AN, Dyachenko IA, et al. Model evaluation of new antiarrhithmic drugs. *Biomedicina*. 2012:(2); 6—13. (In Russ).]

Антидепрессивные свойства дипептидного миметика мозгового нейротрофического фактора ГСБ-106 в тесте Порсолта при внутрибрюшинном субхроническом и хроническом введении мышам

Таллерова А. В., Поварнина П. Ю., Минаев С. В., Гудашева Т. А., Середенин С. Б.

ФГБНУ «НИИ фармакологии имени В.В. Закусова», Москва

Аннотация. Изучено влияние димерного дипептидного миметика мозгового нейротрофического фактора гексаметилендиамида бис(N-моносукцинил-L-серил-L-лизина) (ГСБ-106) на мышей Balb/с в тесте вынужденного плавания по Порсолту при субхроническом и хроническом внутрибрюшинном введении в дозе 1 мг/кг. Установлено, что ГСБ-106 статистически значимо уменьшал время иммобилизации мышей в 1,2 раза при 4-дневном, в 1,3 раза – при 14-дневном и в 1,2 раза – при 21-дневном введении. Таким образом, зависимость эффекта ГСБ-106 от времени введения в тесте Порсолта не установлена.

Ключевые слова: BDNF; низкомолекулярный миметик; ГСБ-106; антидепрессивная активность; тест вынужденного плавания

Для цитирования:

Таллерова А.В., Поварнина П.Ю., Минаев С.В., Гудашева Т.А., Середенин С.Б. Антидепрессивные свойства дипептидного миметика мозгового нейротрофического фактора ГСБ-106 в тесте Порсолта при внутрибрюшинном субхроническом и хроническом введении мышам // Фармакокинетика и фармакодинамика. – 2019. – № 4. – С. 24–27. DOI: 10.37489/2587-7836-2019-4-24-27

Antidepressant-like activity of the dipeptide mimetic of brain-derived neurotrophic factor GSB-106 in Porsolt test after intraperitoneal sub-chronically and chronically treatment in mice

Tallerova AV, Povarnina PY, Minaev SV, Gudasheva TA, Seredenin SB FSBI «Zakusov Institute of Pharmacology», Moscow

Abstract. The present work was to study the GSB-106 effect on the immobility behavior of mice Balb/c in the Porsolt test. GSB-106 was administered sub-chronically and chronically intraperitoneal in dose 1 mg/kg. GSB-106 administration significantly decreased immobility time in mice by 1.2 times after 4 days, by 1.3 times after 14 days and 1.2 times after 21 days' injections. Thus, the dependence of the GSB-106 effect-time administration in the Porsolt test was not established.

Keywords: BDNF; low-molecular weight mimetic; GSB-106; antidepressant activity; forced swimming test

For citations:

Tallerova AV, Povarnina PY, Minaev SV, Gudasheva TA, Seredenin SB. Antidepressant-like activity of the dipeptide mimetic of brain-derived neurotrophic factor GSB-106 in Porsolt test after intraperitoneal sub-chronically and chronically treatment in mice. *Farmakokinetika i farmakodinamika*. 2019;4:24–27. (In Russ). DOI: 10.37489/2587-7836-2019-4-24-27

Введение

В НИИ фармакологии им. В.В. Закусова в качестве перспективного антидепрессанта разрабатывается димерный дипептид ГСБ-106, миметик бета-изгиба 4-й петли мозгового нейротрофического фактора (BDNF), представляющий собой гексаметилендиамид бис(Nмоносукцинил-L-серил-L-лизина) [1, 2]. Методом Вестерн-блот-анализа с использованием моноклональных антител к фосфорилированной форме TrkB установлено, что ГСБ-106 активирует специфические для нейротрофина TrkB рецепторы и их пострецепторные сигнальные пути MAPK/ERK и PI3K/AKT [3, 4].

Известно, что BDNF-зависимая активация MAPK/ ERK и PI3K/AKT каскадов является ключевым фактором регуляции выживания и развития нейронов, а также процессов синапто- и нейрогенеза, которые лежат в основе механизмов антидепрессивного действия клинически эффективных препаратов [5, 6]. Изучение влияния ГСБ-106 на нейрогенез установило, что дипептид стимулирует

пролиферативную активность в зубчатой извилине гиппокампа на модели стресса у мышей, вызванного контактом с хищником [7]. Введение ГСБ-106 животным в течение 21 дня способствовало достоверному увеличению содержания белка синаптофизина в гиппокампе мышей, что свидетельствует об усилении синаптогенеза [8]. В исследованиях *in vitro* и *in vivo* выявлены выраженные нейропротекторные свойства ГСБ-106, подтверждающие функциональное подобие димерного дипептида нейротрофину BDNF [9, 10].

Антидепрессивная активность ГСБ-106 была установлена в тесте вынужденного плавания по Порсолту у мышей линии Balb/с при однократном внутрибрюшинном введении в дозах 0,1 и 1,0 мг/кг [11]. Этот эффект ГСБ-106 проявлялся и при его субхроническом введении беспородным мышам в течение 4—5 дней в тесте вынужденного плавания в тех же дозах и в тесте подвешивания мышей за хвост в дозах 1,0 и 1,5 мг/кг [12]. Антидепрессивные свойства ГСБ-106 сохранялись и при пероральном введении в тесте вынужденного плавания по Порсолту

в интервале доз 0,5-5,0 мг/кг для фармацевтической субстанции и 0,01-5,0 мг/кг для лекарственной формы у крыс [13, 14].

В настоящей работе изучены эффекты ГСБ-106 в тесте вынужденного плавания по Порсолту в зависимости от длительности курсового введения.

Материал и методы

Эксперименты выполнены на 80 мышах-самцах линии Balb/с массой 18—20 г, полученных из Филиала "Столбовая" Федерального государственного бюджетного учреждения науки "Научный центр биомедицинских технологий Федерального медико-биологического агентства", (Московская обл.). Животных содержали в условиях вивария при естественной смене светового режима со свободным доступом к стандартному гранулированному корму и воде в соответствии с СП 2.2.1.3218-14 от 29 августа 2014 г. №51. Организация и проведение работ осуществлялись в соответствии с приказом Минздрава России №199 от 01 апреля 2016 г. Проведение экспериментов одобрено Комиссией по биомедицинской этике ФГБНУ «НИИ фармакологии имени В.В. Закусова» (протокол №2 от 20 февраля 2017 г.).

Тесты выполнены на установке, представляющей собой сосуды цилиндрической формы. Сосуд заполняли на 65 % водой (22—25 °C). В день эксперимента животных помещали в сосуд с водой и за 5 мин теста оценивали время пассивного плавания (иммобильность) в воде. Уменьшение длительности пассивного плавания мышей расценивали как свидетельство антидепрессивной активности [15].

Субстанцию ГСБ-106 растворяли в дистиллированной воде и вводили мышам в/б в дозе 1,0 мг/кг, выбранной на основании ранее проведённых исследований [11, 12], в течение 4, 14 и 21 дня, последнее введение было за 30 мин до тестирования. Контрольные животные получали в том же режиме дистиллированную воду.

Результаты и обсуждение

Установлено, что при субхроническом и хроническом введении ГСБ-106 в дозе 1,0 мг/кг выраженно корректировал поведение животных в тесте вынужденного плавания, статистически значимо уменьшая время иммобильности по сравнению с контрольной группой: в 1,2 раза при 4-дневном введении (172,7 \pm 11,4 с против 205,0 \pm 9,1 с, p \leq 0,05), в 1,3 раза при 14-дневном введении (153,3 \pm 8,2 с против 204,2 \pm 13,6 с, p \leq 0,05) и в 1,2 раза при 21-дневном введении (179,2 \pm 7,9 с против 217,6 \pm 11,7 с, p \leq 0,05) (табл. 1).

Ранее было установлено, что однократное в/б введение ГСБ-106 в дозе 1,0 мг/кг мышам самцам линии Balb/с снижало время иммобилизации животных в 1,2 раза [11, 12]. Таким образом, можно заключить что в тесте вынужденного плавания по Порсолту выраженность антидепрессивного эффекта ГСБ-106 составляет в среднем 20 % и не изменяется при различных режимах введения (1, 4, 14, 21 день).

В литературе подобная картина описана для ряда антидепрессантов, в частности, амитриптилина. В работе японских авторов установлено, что введение амитриптилина в дозе 10 мг/кг способствовало статистически значимому уменьшению времени иммобильности в тесте вынужденного плавания у крыс, при этом выраженность эффекта сопоставима как при однократном, так и при хроническом введении в течение 15 дней [16]. Известно, что амитриптилин, наряду с ингибированием обратного нейронального захвата медиаторных моноаминов, является агонистом TrkB рецепторов [17], подобно исследуемому дипептиду ГСБ-106 [1]. Авторами установлено, что однократное введение амитриптилина в дозе 15 мг/кг способствует активации тирозинкиназных рецепторов в мозге мышей, в частности TrkB, а также синхронному увеличению уровней фосфорилированных киназ Akt и ERK, свидетельствующих об активации пострецепторных путей [17].

Таблица 1
Влияние димерного дипептидного миметика мозгового нейротрофического фактора ГСБ-106 на поведение мышей Balb/c в тесте вынужденного плавания по Порсолту при разных режимах введения

D/5 processing FCF 106 1 pea p ourses	Продолжительность введения, дни			
В/б введения ГСБ-106, 1 раз в сутки	4	14	21	
	Время иммобильности, с			
Контроль – дистиллированная вода	$205,0 \pm 9,1$	204,2 ± 13,6	217,6 ± 11,7	
1,0 мг/кг ГСБ-106	172,7 ± 11,4 *	153,3 ± 8,2 **	179,2 ± 7,9*	
Снижение времени иммобилизации по сравнению с контролем (во сколько раз)	1,2	1,3	1,2	

Примечания: Данные представлены в виде средних и стандартных ошибок среднего; *-p < 0.05 по сравнению с контрольной группой по непарному t-критерию Стьюдента

Таким образом, в настоящем исследовании показано, что антидепрессивные свойства дипептидного миметика мозгового нейротрофического фактора ГСБ-106 в тесте вынужденного плавания не различаются при изученных режимах введения. Окончательное заключение об изменении эффекта ГСБ-106 при длительном введении требует дополнительных исследований с расширением батареи тестов оценки антидепрессивных свойств.

Работа выполнена в рамках гранта Президиума РАН «Изучение роли синаптогенеза и нейрогенеза в механизме антидепрессивной активности мозгового нейротрофического фактора с использованием его дипептидных миметиков — первых в классе потенциальных антидепрессантов».

Таллерова Анна Вадимовна

Автор, ответственный за переписку

e-mail: antatatall@gmail.com ORCID ID: 0000-003-0845-9003

SPIN-код: 2826-2687

к. б. н., с. н. с. лаборатории пептидных биорегуляторов ФГБНУ «НИИ фармакологии

имени В.В. Закусова», Москва

Поварнина Полина Юрьевна

ORCID ID: 0000-0003-3278-8915

SPIN-код: 5498-6724

к. б. н., с. н. с. лаборатории пептидных биорегуляторов ФГБНУ «НИИ фармакологии имени В.В. Закусова», Москва

имени Б.Б. Закусова», wioekba

Минаев Сергей Викторович

к. фарм. н., руководитель опытнотехнологического отдела ФГБНУ «НИИ фармакологии имени В.В. Закусова», Москва

Гудашева Татьяна Александровна

ORCID ID: 0000-0002-5185-4474

SPIN-код: 4970-0006

д. б. н., профессор, член-корреспондент РАН, Руководитель отдела химии лекарственных средств ФГБНУ «Научно-исследовательский институт фармакологии имени В.В. Закусова», Москва

Середенин Сергей Борисович

ORCID ID: 0000-0003-4482-9331

SPIN-код: 3896-4655

д. м. н., профессор, академик РАН, заведующий лабораторией фармакологической генетики, ФГБНУ «НИИ фармакологии имени

В.В. Закусова», Москва

Tallerova Anna

Corresponding author

e-mail: antatatall@gmail.com ORCID ID: 0000-003-0845-9003

SPIN code: 2826-2687

Candidate of Biologicall Sciences, Senior Researcher, the laboratory of peptide bioregulators FSBI «Zakusov Institute of Pharmacology», Moscow

Povarnina Polina

ORCID ID: 0000-0003-3278-8915

SPIN code: 5498-6724

Candidate of Biologicall Sciences, Senior Researcher, Laboratory of Peptide Bioregulators, FSBI «Zakusov institute of Pharmacology», Moscow

Minaev Sergey

Candidate of Pharmaceutical Sciences, Head of the experimental and technological Department FSBI «Zakusov Institute of Pharmacology», Mos-

Gudasheva Tatiana

ORCID ID: 0000-0002-5185-4474

SPIN code: 4970-0006

Doctor of Biological Sciences, professor, RAS corresponding member, Head of medicinal chemistry department FSBI «Zakusov institute of Pharma-

cology», Moscow

Seredenin Sergey

ORCID ID: 0000-0003-4482-9331

SPIN code: 3896-4655

Doctor of Medical Sciences, professor, academician of RAS, Head of the laboratory of pharmacological genetics, FSBI «Zakusov Institute of Pharmacology». Moscowi

macology», Moscow

Литература / References

- 1. Патент РФ на изобретение №2410392/16.02.2009. Середенин С.Б., Гудашева Т.А. Дипептидные миметики нейротрофинов NGF и BDNF. [Patent RUS №2410392/16.02.2009. Seredenin SB, Gudasheva TA. Dipeptide mimetics of NGF and BDNF neurotrophins. (In Russ).] Доступно по: http://allpatents.ru/patent/2410392.html. Ссылка активна на 17.12.2019.
- 2. Seredenin SB, Gudasheva TA. Dipeptide mimetics of NGF and BDNF neurotrophins. United States patent US 9683014B2. 2017 Jun 20.
- 3. Гудашева Т.А., Логвинов И.О., Антипова Т.А., Середенин С.Б. Дипептидный миметик 4-й петли мозгового нейротрофического фактора ГСБ-106 активирует TrkB, Erk, Akt и способствует выживаемости нейронов *in vitro // Доклады академии наук.* 2013. Т. 451. № 5. С. 577—580. [Gudasheva TA, Logvinov IO, Antipova TA, Seredenin SB. Brain-derived neurotrophic factor loop 4 dipeptide mimetic GSB-106 activates TrkB, Erk, and Akt and promotes neuronal survival *in vitro. Doklady Biochemistry and Biophysics.* 2013;451(1):212-214. (In Russ).] DOI: 10.7868/S0869565213240250
- 4. Гудашева Т.А., Логвинов И.О., Антипова Т.А., Середенин С.Б. Анализ зависимости антидепрессивного действия лигандов рецепторов TrkB от активации МАР-киназного пути // Доклады академии наук. 2015. Т. 460. № 3. С. 346—348. [Gudasheva TA, Logvinov IO, Povarnina PY, Antipova TA, Seredenin SB. Analysis of dependence of antidepressant properties of TrkB receptor ligands on MAP-kinase pathway activation. Doklady Biochemistry and Biophysics. 2015;460(1):20–22. (In Russ).] DOI: 10.7868/S0869565215030251
- 5. Björkholm C, Monteggia LM. BDNF A key transducer of antidepressant effects. *Neuropharmacology*. 2016;(102): 2-79. DOI: 10.1016/j.neuropharm.2015.10.034
- 6. Castrén E, Kojima M. Brain-derived neurotrophic factor in mood disorders and antidepressant treatments. *Neurobiol Dis.* 2017;(97):119-126. DOI: 10.1016/j.nbd.2016.07.010
- 7. Гудашева Т.А., Поварнина П.Ю., Середенин С.Б. Дипептидный миметик мозгового нейротрофического фактора предотвращает нарушение нейрогенеза у стрессированных мышей // Бюллетень экспериментальной биологии и медицины. 2016. Т. 162. № 10. С. 448—451. [Gudasheva TA, Povarnina PY, Seredenin SB. Dipeptide mimetiof the brain-derived neurotrophic factor prevents impairments of neurogenesis in stressed mice. Bulletin of experimental biology and medicine. 2017;162(4): 454—457. (In Eng).] DOI: 10.1007/s10517-017-3638-9
- 8. Гудашева Т.А., Поварнина П.Ю., Антипова Т.А., Середенин С.Б. Дипептидный миметик BDNF ГСБ-106 с антидепрессивной активностью стимулирует синаптогенез // Доклады академии наук. 2018. (в печати). [Gudasheva TA, Povarnina PY, Antipova TA, Seredenin SB. Dipeptide mimetic of the BDNF GSB-106 with antidepressant-like activity stimulates synaptogenesis. *Doklady Biochemistry and Biophysics*. 2018 (in press). (In Russ).]
- 9. Логвинов И.О., Антипова Т.А., Гудашева Т.А. и др. Нейропротективные свойства дипептидного миметика мозгового нейротрофи-

- ческого фактора ГСБ-106 в экспериментах *in vitro // Бюллетень экспериментальной биологии и медицины.* 2013. Т. 155. № 3. С. 319—322. [Logvinov IO, Antipova TA, Gudasheva TA, et al. Neuroprotective effects of dipeptide analogue of brain-derived neurotrophic factor GSB-106 *in vitro* experiments. *Bulletin of experimental biology and medicine*. 2013;155(3):343-345. (In Eng).] DOI: 10.1007/s10517-013-2149-6
- 10. Gudasheva TA, Povarnina P, Logvinov IO, et. al. Mimetics of brain-derived neurotrophic factor loops 1 and 4 are active in a model of ischemic stroke in rats. *Drug Des Devel Ther.* 2016;(10):3545-3553. DOI: 10.2147/DDDT.S118768
- 11. Гудашева Т.А., Тарасюк А.В., Помогайбо С.В. и др. Дизайн и синтез дипептидных миметиков мозгового нейротрофического фактора // Биоорганическая химия. 2012. —Т. 38. № 3. С. 280—290. [Gudasheva TA, Tarasyuk AV, Pomogaibo SV, et. al. Design and synthesis of dipeptide mimetics of the brain-derived neurotrophic factor. Russian Journal of Bioorganic Chemistry. 2012;38(3):243–252. (In Eng).] DOI: 10.1134/S1068162012030053
- 12. Середенин С.Б., Воронина Т.А., Гудашева Т.А., и др. Антидепрессивный эффект оригинального низкомолекулярного миметика BDNF, димерного дипептида ГСБ-106 // Acta Naturae. 2013. Т. 5. № 4(19). С. 116—120. [Seredenin SB, Voronina TA, Gudasheva TA, et al. Antidepressant effect of dimeric dipeptide GSB-106, an original low-molecular-weight mimetic of BDNF. Acta Naturae. 2013;5(4):105-109. (In Eng).]
- 13. Поварнина П.Ю., Гарибова Т.Л., Гудашева Т.А., Середенин С.Б. Дипептидный миметик мозгового нейротрофического фактора обладает свойствами антидепрессанта при пероральном введении // Acta Naturae. 2018. (в печати). [Povarnina PY, Garibova TL, Gudasheva TA, Seredenin SB. Antidepressant activity of dipeptide mimetic of the BDNF GSB-106 by oral administration. Acta Naturae. 2018 (in press). (In Russ).]
- 14. Таллерова А.В., Поварнина П.Ю., Блынская Е.В. и др. Антидепрессивный эффект дипептидного миметика мозгового нейротрофического фактора ГСБ-106 воспроизводится в лекарственной форме для перорального применения // Химико-фармацевтический журнал. 2018. Т. 52. № 5. С.15—17. [Tallerova AV, Povarnina P.Yu, Blynskaya EV, et. al. Antidepressant effect of dipeptide mimetic of brain derived neurotrophic factor (GSB-106) reproduced in medicinal dosage form for oral administration. Pharmaceutical Chemistry Journal. 2018;52(5):15–17. (In Russ).] DOI: 10.30906/0023-1134-2018-52-5-15-17
- 15. Porsolt RD, Anton G, Blavet N, Jalfre M. Behavioral despair in rats: a new model sensitive to antidepressant treatment. *Eur J Pharmacol*. 1978;47(4):379-391.
- 16. Kawashima K, Araki H, Aihara H. Effect of chronic administration of antidepressants on duration of immobility in rats forced to swim. *Japan J. Pharmacol.* 1986;6:199-204.
- 17. Sung-Wuk Jang, Xia Liu, Chi-Bun Chan, et al. The Antidepressant Amitriptyline is a TrkA and TrkB Receptor agonist that promotes TrkA/TrkB Heterodimerization and has potent neurotrophic activity. *Chem Biol.* 2009; 26:16:6:644-656.

27

Разработка и валидация методики количественного определения соединений ГЗК-111 и ЦПГ в плазме крови крыс с использованием метода ВЭЖХ с масс-спектрометрическим детектированием

Подолько А. Л., Бочков П. О., Колыванов Г. Б., Литвин А. А., Грибакина О. Г., Шевченко Р. В., Жердев В. П.

ФГБНУ «НИИ фармакологии имени В.В. Закусова», Москва

Аннотация. Разработана методика количественного определения соединений ГЗК-111 и ЦПГ в плазме крови крыс. Анализ проводили с использованием совмещённого метода высокоэффективной жидкостной хроматографии с масс-спектрометрическим детектированием. Методика линейна в диапазоне концентраций 25–1000 нг/мл для обоих соединений. Процент извлечения ГЗК-111 из плазмы крови составил 57,8 %. Нижний предел обнаружения для соединения ГЗК-111 составил 25 нг/мл. Процент извлечения соединения ЦПГ составил 42,5 %. Нижний предел обнаружения соединения ЦПГ также составил 25 нг/мл.

Ключевые слова: ГЗК-111; ЦПГ; количественное определение; высокоэффективная жидкостная хроматография-масс-спектрометрия; плазма крови

Для цитирования:

Подолько А.Л., Бочков П.О., Колыванов Г.Б., Литвин А.А., Грибакина О.Г., Шевченко Р.В., Жердев В.П. Разработка и валидация методики количественного определения соединений ГЗК-111 и ЦПГ в плазме крови крыс с использованием метода ВЭЖХ с масс-спектрометрическим детектированием // Фармакокинетика и фармакодинамика. – 2019. – № 4. – С. 28–36. DOI: 10.37489/2587-7836-2019-4-28-36

HPLC-MS method development and validation for simultaneous quantitation of GZK-111 and CPG compounds in rat plasma

Podolko AL, Bochkov PO, Kolyvanov GB, Litvin AA, Gribakina OG, Shevchenko RV, Zherdev VP FSBI «Zakusov Institute of Pharmacology», Moscow

Abstract. The technique of quantitative determination of GZK-111 and CPG compounds in rat blood plasma has been developed. The analysis was carried out using the combined method of high-performance liquid chromatography with mass spectrometric detection. The method was linear in the concentration range of 25-1000 ng/ml for both compounds. Percentage of GZK-111 extraction from rat blood plasma was 57.8 %. The lower limit of detection for GZK-111 compound was 25 ng/ml. Percentage of extraction of CPG compound was 42.5 %. The lower limit of detection of CPG compound was also 25 ng/ml.

Keywords: GZK-111; CPG; quantitative determination; high-performance liquid chromatography-mass-spectrometry; blood plasma

For citations:

Podolko AL, Bochkov PO, Kolyvanov GB, Litvin AA, Gribakina OG, Shevchenko RV, Zherdev VP. HPLC-MS method development and validation for simultaneous quantitation of GZK-111 and CPG compounds in rat plasma. Farmakokinetika i farmakodinamika. 2019;4:28–36. (In Russ). DOI: 10.37489/2587-7836-2019-4-28-36

Введение

Большое внимание медиков и фармакологов уделено проблеме нарушения когнитивных функций. Это связано с тем, что с увеличением продолжительности жизни вопрос сохранения интеллектуальных способностей становится актуальным. К причинам когнитивных расстройств относятся такие факторы, как нейродегенеративные и сосудистые заболевания головного мозга, нейроинфекции и другие патологии. Крайним проявлением тяжёлых когнитивных нарушений является деменция, которая приводит к развитию зависимости от окружающих, что особенно часто наблюдается у людей пожилого и старческого возраста, а также вызывает дополнительные трудности при диагностике и лечении сопутствующих заболеваний. Деменция наблюдается почти у 50 млн людей в мире. Ежегодно регистрируется около 10 млн новых случаев этого заболевания. По прогнозам специалистов, общее число людей с деменцией к 2050 г. достигнет 152 млн человек [1]. Поэтому поиск новых препаратов, эффективных в терапии когнитивных нарушений, является важной задачей современной фармакологии.

В ФГБНУ «НИИ фармакологии имени В.В. Закусова» синтезирован этиловый эфир N-фенилацетилглицил-L-пролина (ГЗК-111) [2]. Данное соединение предположительно является пролекарством и метаболизируется в организме в нейропептид цикло-L-пролилглицин (ЦПГ), обладающий следующими видами активности: ноотропной [3], нейропротекторной [4], антигипоксической [5] и анксиолитической [6].

Целью настоящего исследования является разработка и валидация методики количественного определения соединений ГЗК-111 и ЦПГ в плазме крови крыс для последующего изучения экспериментальной фармакокинетики.

Материалы и методы

Фармацевтическая субстанция ГЗК-111 (этиловый эфир N-фенилацетил-глицил-L-пролина) (рис. 1). Про-

изводитель: $\Phi \Gamma Б H У$ «НИИ фармакологии имени В.В. Закусова» (г. Москва, РФ). Номер серии — 435.

Фармацевтическая субстанция цикло-L-пролилглицин (ЦПГ) (рис. 2). Производитель: ФГБНУ «НИИ фармакологии имени В.В. Закусова» (г. Москва, РФ). Серия — K3-36.

Использованы следующие растворители и реактивы:

Рис. 1. Структурная формула ГЗК-111

вода ультрачистая «Panreac», «Applichem», Φ PГ; аммония ацетат «Merck», Φ PГ; кислота муравьиная 85 % «Acros Organics», $P\Phi$; ацетонитрил «J.T. Baker», США.

Исследование выполнено с использованием совмещённой системы высокоэффективного жидкостного хроматографа «Agilent 1200» («Agilent», США), с масс-селективным детектором типа ионная ловушка модели «Agilent 6310 Series LC/MSD Ion Trap» («Agilent», США). В составе оборудования дегазатор

 $\begin{tabular}{ll} \begin{tabular}{ll} \begin{tabular}{ll} Tаблица & 1 \end{tabular} \begin{tabular}{ll} \begin{tabular}{ll} Yсловия хроматографического анализа соединений <math>\Gamma 3K-111$ и $\begin{tabular}{ll} \begin{tabular}{ll} \begin{tabular}$

Параметр		3	начение	
Колонка	UCT Selectra ETG (150×4,6мм; 5мкм)			
Температура	30 °C			
Режим элюирования	-	Град	диентный	
Состав подвижной фазы	Пред	ста	влен в таб	бл. 2
Скорость потока		0,8	8 мл/мин	
Режим ионизации	Режим пол молект		ительной и на электро	,
Давление газараспылителя	40 psi			
Скорость осушающего газа	8 л/мин			
Температура осушающего газа			350 °C	
Тип детектирования	Соедине- ние		одитель- кий ион	Дочерний ион
	ГЗК-111		319	144
	ЦПГ		155	-
Объём, вводимой пробы	15 мкл			
Время	Соединение Время удерживания			
удерживания	ЦПГ 2,9 мин			
	ГЗК-111		7,1	мин
Время анализа		1	0,5 мин	

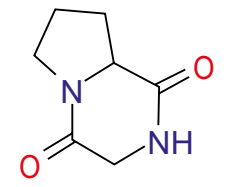


Рис. 2. Структурная формула ЦПГ

подвижной фазы, бинарный насос, система автоматического ввода пробы, термостат хроматографических колонок. Ионизацию молекул соединений ГЗК-111 и ЦПГ проводили в режиме положительной ионизации молекул на электроспрее при атмосферном давлении. Управление совмещённой системой ВЭЖХ-МС осуществлялось компьютером с системой обработки данных «ChemStation» (v.1.0).

Условия хроматографического анализа соединений $\Gamma 3K-111$ и ЦПГ представлены в табл. 1.

Рабочую подвижную фазу, используемую для градиентного элюирования целевых компонентов, получали смешиванием растворов А и Б бинарным насосом хроматографа по следующей программе, представленной в табл. 2.

Таблица 2
Соотношение компонентов А и Б подвижной фазы в зависимости от времени, прошедшего с начала хроматографического анализа

Время, мин	Раствор А, %	Раствор Б, %
0,0	85	15
2,7	85	15
3,5	20	80
5,0	20	80
6,0	85	15
10,5	85	15

В настоящей методике матрицей для приготовления калибровочных стандартов служила плазма крови крыс с массой тела 180—220 г, полученных из питомника Филиал «Столбовая» ФГБУН «Научный центр биомедицинских технологий Федерального медико-биологического агентства», (Московская обл.). Образцы крови получали методом декапитации интактных животных. Плазму крови получали центрифугированием образцов цельной крови при 3 500 об/мин в течение 10 мин. Образцы плазмы крови крыс хранили при —50 °С.

Пробоподготовка

Совместное извлечение целевых соединений ГЗК-111 и ЦПГ из образцов плазмы крови крыс проводили методом осаждения белков с последующей экстракцией белкового осадка ацетонитрилом. К образцам плазмы крови объёмом 250 мкл

добавляли 1 250 мкл ацетонитрилом, тщательно перемешивали на встряхивателе Vortex, после чего центрифугировали в течение 15 мин при скорости 6 000 об/мин. Надосадочную жидкость переносили в пробирки конические. К осадку добавляли 500 мкл ацетонитрила, помещали на орбитальный встряхиватель и проводили процедуру повторной экстракции в течение 20 мин. Органический слой отделяли, полученные экстракты совмещали и упаривали на водяной бане в токе воздуха при нагревании до 60 °C. Полученный сухой остаток растворяли в 250 мкл подвижной хроматографической фазы (соотношение компонентов A:B = 40:60), фильтровали, после чего переносили в хроматографические виалы, оснащённые коническими пластиковыми вставками (внутренним объёмом 250 мкл). Полученные растворы помещали на устройство автоматического ввода хроматографа.

Приготовление сток-раствора (матричного раствора)

Матричные растворы соединений ГЗК-111 и ЦПГ с концентрацией $100~\rm Mкг/mл$ готовили растворением в воде точной навески (0,0100 г) соединений в мерной колбе вместимостью $100~\rm mл$.

Приготовление калибровочных стандартов

В работе использовали следующие калибровочные стандарты с равными концентрациями соединений

 Γ 3К-111 и ЦП Γ в растворе: 25, 50, 75, 100, 125, 250, 500, 750 и 1 000 нг/мл.

Калибровочные стандарты для валидации были приготовлены путём последовательного разбавления матричного раствора интактной плазмой. Диапазон концентраций соединений ГЗК-111 и ЦПГ выбирался исходя из концентраций, ожидаемых в исследовании экспериментальной фармакокинетики.

Концентрации целевых соединений в анализируемых пробах определяли методом абсолютной калибровки.

Результаты и обсуждения

Валидацию методики проводили в соответствии с «Руководством по валидации аналитических методик для производителей лекарств» [7]. В приведённых выше условиях время удерживания соединения ЦПГ составило около 2,9 мин (рис. 3 а); время удерживания соединения ГЗК-111 составило около 7,1 мин (рис. 3 а).

Селективность

Для определения селективности были протестированы 6 образцов биологической матрицы (плазма крови) на возможность создания помех потенциально мешающими веществами (эндогенные компоненты плазмы крови, метаболиты, продукты деструкции и др.).

На рис. 3 представлены типичные хроматограммы интактной плазмы крови крыс (б) и экстракта плаз-

QuantAnalysis Chromatogram + Spectrum Report (ISTD)

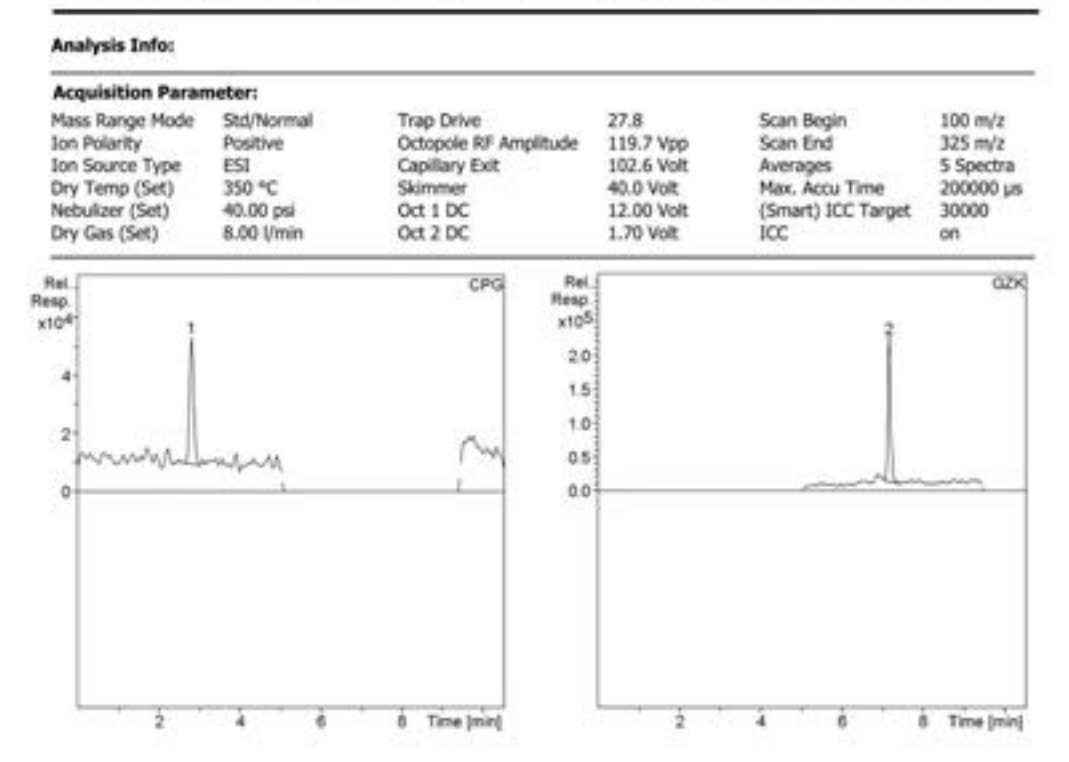


Рис. За. Хроматограмма плазмы крови, содержащей 25 нг/мл соединений ЦПГ и ГЗК-111

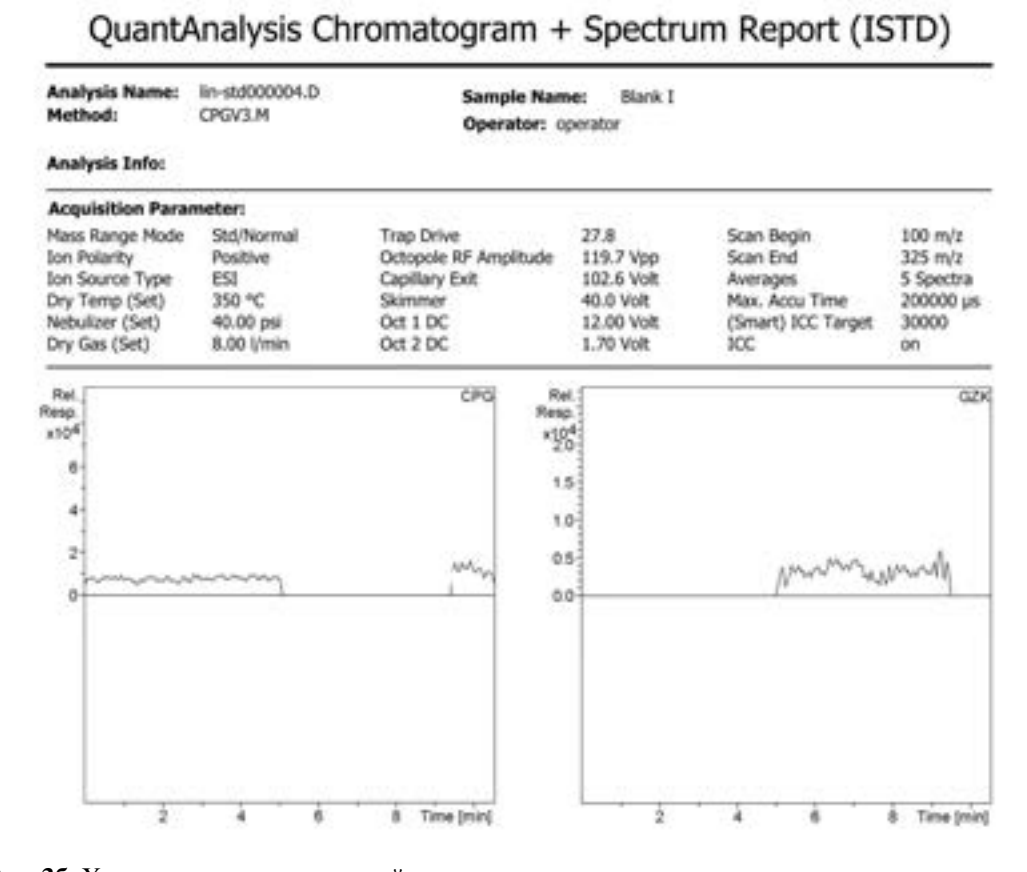


Рис. 36. Хроматограмма интактной плазмы крови

мы крови, содержащего 25 нг/мл соединений ЦПГ и ГЗК-111(а). Из рис. 3 видно, что потенциально мешающие вещества не оказывают влияния на анализ целевых соединений.

Линейность и чувствительность

Калибровочная кривая построена с использованием 9 калибровочных стандартов, охватывающих ожидаемый диапазон концентраций соединений ЦПГ и ГЗК-111 в плазме крови крыс (25—1 000 нг/мл).

Самый низкий стандарт на калибровочной кривой $\Gamma 3K-111$ и ЦПГ с концентрацией обоих соединений 25 нг/мл был принят в качестве предела количественного определения, т. к. были выполнены следующие условия.

Показания стандарта на нижнем пределе количественного определения (НПКО) были не менее чем в 5 раз выше показаний пробы интактной плазмы крови. Значение стандарта на уровне НПКО поддавались определению и были дискретными и воспроизводимыми с точностью 13,97 % для соединения ЦПГ и 15,15 % для соединения ГЗК-111 (оба значения не превышают 20 %), и воспроизводимостью 97,27 % для соединения ЦПГ и 95,14 % (оба значения входят в диапазон 80–120 %).

Предел обнаружения соединений ГЗК-111 и ЦПГ составил 25 нг/мл. Зависимость величины хроматографических пиков от концентраций калибровочных

стандартов соединений ГЗК-111 и ЦПГ соответственно в области измерения методики была линейной в рассматриваемом диапазоне концентраций.

Для описания изучаемой зависимости использовалась линейная аппроксимация типа $y = a + b \times x$. Данная зависимость признана приемлемой, поскольку коэффициент корреляции для всех 3 калибровок был выше 0.99.

Параметры калибровочных кривых (коэффициенты уравнения и коэффициенты корреляции) представлены в табл. 3 и 4.

Для оценки прецизионности результатов для обоих соединений были построены 3 калибровочные кривые и проведён обратный расчёт концентраций используемых стандартов по всем кривым и определены статистические характеристики.

Прецизионность результатов с учётом критериев приемлемости достигается во всем используемом интервале концентраций (табл. 5 и 6).

Критерии приемлемости по калибровочным стандартам:

- 1. Отклонения нижнего стандарта кривой от теоретической концентрации не более 20 %.
- 2. Отклонения всех остальных стандартов не более 15%.

ФОРМОКОКИНЕТИКО И ФОРМОКОДИНОМИКО

Таблица 3
Параметры калибровочных кривых ЦПГ
в плазме крови крыс

F								
Калибровоч- ная кривая	a	b	r					
1	28 367,28	10 128,14	0,998					
2	194 470,71	9 212,77	0,999					
3	181 248 58	9 223 60	0.998					

Примечания: a — участок, отсекаемый от оси ординат; b — наклон кривой; r — коэффициент корреляции.

Таблица 4
Параметры калибровочных кривых ГЗК-111
в плазме крови крыс

Калибровоч- ная кривая	a	b	r
1	2 133 392,07	31 255,72	0,995
2	1 914 246,12	38 085,22	0,995
3	1 934 116,66	31 714,81	0,993

Примечания: a — участок, отсекаемый от оси ординат; b — наклон кривой; r — коэффициент корреляции.

3. Не менее 75 % ненулевых стандартов, включая нижний и верхний калибровочный стандарт, должны удовлетворять вышеуказанным требованиям; все зна-

чения, которые не попадают в эти пределы, можно не учитывать, при условии, что они не изменяют установленную линейную модель.

Как видно из данных табл. 5 и 6 отклонения нижнего стандарта кривой от теоретической концентрации составили для соединения ЦПГ 2,73 %; для соединения Γ 3K-111 — 4,86 %, т. е. для обоих соединений соответствующие значения составили менее 20 %. Отклонения всех остальных стандартов были менее 15 %, что также удовлетворяет критериям приемлемости.

Правильность и воспроизводимость внутри одной аналитической серии

Правильность и воспроизводимость внутри одной аналитической серии оценивались по результатам параллельных анализов образцов контроля качества (КК) с концентрациями соединений ГЗК-111 и ЦПГ 25, 75, 500 и 1 000 нг/мл. Каждый образец КК определялся в 6 повторениях. Расчёт концентраций образцов КК проводился по калибровочной кривой, полученной в составе той же аналитической серии. Данные по точности и прецизионности определения соединений ЦПГ и ГЗК-111 в плазме крови внутри одного цикла представлены в табл. 7 и 8 и удовлетворяют следующим критериям приемлемости: воспроизводимость —

Таблица 5 Концентрации стандартов соединения ЦПГ, рассчитанные по уравнениям калибровочных кривых

№/№ Калибровочной кривой	Стд. А2	Стд. В2	Стд. С2	Стд. D2	Стд. Е2	Стд. F2	Стд. Н2	Стд. Ј2	Стд. К2
1	21,94	54,68	89,64	112,39	106,29	243,45	534,64	737,24	994,73
2	29,79	41,61	70,37	89,92	141,33	277,80	557,02	714,44	1 009,33
3	26,92	47,65	53,56	77,60	152,74	262,69	487,39	701,49	991,48
\overline{x}	26,21	47,98	71,19	93,30	133,45	261,32	526,35	717,72	998,51
SD	3,97	6,54	18,06	17,64	24,21	17,21	35,55	18,10	9,50
CV %	15,15	13,63	25,36	18,90	18,14	6,59	6,75	2,52	0,95
% от теоретического	4,86	4,04	5,08	6,70	6,76	4,53	5,27	4,30	0,15
Примечание: в таблит	це приведены	концентраци	ии стандартни	ых растворов	и их статисти	ческие характ	геристики.		

Таблица 6

Конце	Концентрации стандартов соединения ГЗК-111, рассчитанные по уравнениям калибровочных кривых								
№/№ Калибровочной кривой	Стд. А2	Стд. В2	Стд. С2	Стд. D2	Стд. Е2	Стд. F2	Стд. Н2	Стд. Ј2	Стд. К2
1	21,94	54,68	89,64	112,39	106,29	243,45	534,64	737,24	994,73
2	29,79	41,61	70,37	89,92	141,33	277,80	557,02	714,44	1 009,33
3	26,92	47,65	53,56	77,60	152,74	262,69	487,39	701,49	991,48
\overline{x}	26,21	47,98	71,19	93,30	133,45	261,32	526,35	717,72	998,51
SD	3,97	6,54	18,06	17,64	24,21	17,21	35,55	18,10	9,50
CV %	15,15	13,63	25,36	18,90	18,14	6,59	6,75	2,52	0,95
% от теоретического	4,86	4,04	5,08	6,70	6,76	4,53	5,27	4,30	0,15
Примечание: в таблиі	це приведены	концентраці	ии стандартні	ых растворов	и их статисти	ческие характ	геристики.		

 Таблица 7

 Правильность и воспроизводимость определения соединения ЦПГ в плазме крови крыс внутри одного аналитического цикла

№/№ калибровочной кривой	25 нг/мл	75 нг/мл	500 нг/мл	1 000 нг/мл
	20,00	84,58	527,15	978,28
	27,29	66,25	517,80	973,54
2	24,38	86,33	483,34	1 285,16
2	26,24	68,52	467,39	990,25
	21,97	90,09	467,79	1 175,41
	19,30	65,59	561,49	1 097,80
\overline{x}	23,19	76,89	504,16	1 083,41
SD	3,30	11,26	37,71	127,42
CV %	4,22	14,64	7,48	11,76
% от теоретического	7,22	2,52	0,83	8,34

Tаблица~8 Точность и прецизионность определения соединения ГЗК-111 в плазме крови крыс внутри одного аналитического цикла

№/№ калибровочной кривой	25 нг/мл	75 нг/мл	500 нг/мл	1 000 нг/мл
	19,44	87,87	462,91	1 120,28
	22,61	90,54	450,15	1 232,99
2	28,66	75,94	574,20	945,16
2	29,00	73,16	490,64	944,84
	20,82	72,13	517,79	931,10
	25,63	64,71	531,88	1 182,71
\overline{x}	24,36	77,39	504,59	1 059,51
SD	4,03	9,91	46,18	135,41
CV %	16,56	12,81	9,15	12,78
% от теоретического	2,57	3,19	0,92	5,95

средние значения концентрации образца КК не должно превышать 15 % от теоретической величины, за исключением значения на уровне нижнего количественного предела, где допускается отклонение не выше 20%; правильность — C.V. % значений концентраций каждого образца КК не должен превышать 15%, за исключением значений НПКО, где этот параметр не должен быть выше 20% [7].

Степень извлечения

Степень извлечения соединений ЦПГ и ГЗК-111 из плазмы крови определялась путём сравнения площадей хроматографических пиков образцов контроля качества (принимались за 100%) с площадями пиков тех же проб, которые подвергались процедуре пробоподготовки. Измерения каждого уровня концентрации стандартов (низкий — 25, средний — 250 и высокий — 500 нг/мл) проводили в трёх повторностях. Установлено, что процент извлечения соединений ЦПГ и ГЗК-111 из плазмы крови составил 42,5 и 57,8%, соответственню.

Стабильность препарата после пробоподготовки

Для оценки стабильности соединений ЦПГ и ГЗК-111 в плазме крови использовались образцы контроля качества с концентрацией целевых соединений 25 и 500 нг/мл, которые хранились при комнатной температуре и дневном свете после пробоподготовки в течение 8 ч. Далее проводили анализ образцов вместе со свежеприготовленными образцами в составе одной аналитической серии. Рассчитанные концентрации ЦПГ и ГЗК-111 после хранения при комнатной температуре сравнивали со средними значениями концентраций соединений в свежеприготовленных образцах контроля качества. Полученные значения должны были удовлетворять критерию приемлемости, т. е. разница между результатами анализа до и после хранения не превышает 15 %.

Из данных табл. 9 и 10 следует, что концентрации соединений ЦПГ и ГЗК-111 после хранения при комнатной температуре в течение 8 ч удовлетворяют критерию приемлемости.

Заключение

Проведена валидация аналитической методики количественного определения соединений ЦПГ и ГЗК-111 в плазме крови методом высокоэффективной жид-

🛮 ФАРМАКОКИНЕТИКА И ФАРМАКОДИНАМИКА

Таблица 9 Краткосрочная стабильность соединения ЦПГ после пробоподготовки и хранения при комнатной температуре в течение 8 ч

V о ниброронию д уруго д	Образцы после	пробоподготовки	Свежеприготовленные образцы	
Калибровочная кривая	25 нг/мл	500 нг/мл	25 нг/мл	500 нг/мл
	20,00	527,15	24,58	578,28
	27,29	517,80	26,25	573,54
2	24,38	583,34	26,33	485,16
2	26,24	567,39	18,52	490,25
	21,97	567,79	20,09	575,41
	19,30	491,49	25,59	497,80
\overline{x}	23,19	542,49	23,56	533,41
SD	3,30	35,71	3,39	46,58
CV %	14,21	6,58	14,40	8,73
Разница, %	7,22	8,50	5,77	6,68

Таблица 10 Краткосрочная стабильность соединения ГЗК-111 после пробоподготовки и хранения при комнатной температуре в течение 8 ч

	Образцы после	пробоподготовки	Свежеприготовленные образцы	
Калибровочная кривая	25 нг/мл	500 нг/мл	25 нг/мл	500 нг/мл
	29,44	492,91	27,87	520,28
	22,61	550,15	30,54	532,99
2	28,66	474,20	25,94	545,16
2	29,00	590,64	23,16	544,84
	20,82	517,79	22,13	531,10
	25,63	531,88	24,71	482,71
\overline{x}	26,02	526,26	25,72	526,18
SD	3,64	41,57	3,11	23,25
CV %	14,00	7,90	12,09	4,42
Разница, %	4,10	5,25	2,90	5,24

костной хроматографии с масс-спектрометрическим детектированием. Нижний предел количественного определения соединения ЦПГ составил 25 нг/мл, $\Gamma 3K-111-25$ нг/мл. Точность и прецизионность результатов анализа с учётом критериев приемлемости соблюдались во всём интервале исследуемых концентраций для обоих соединений (25–1000 нг/мл). При комнатной температуре пробы стабильны после пробоподготовки на протяжении 8 ч.

СВЕДЕНИЯ ОБ АВТОРАХ

Подолько Анна Леонидовна

ORCID ID: 0000-0003-2418-8055

SPIN-код: 4707-3068

м. н. с. лаборатории фармакокинетики ФГБНУ «Научно-исследовательский институт фармакологии имени В.В. Закусова», Москва

Podolko Anna

ORCID ID: 0000-0003-2418-8055

SPIN code: 4707-3068

Junior Research Officer of laboratory pharmacokinetics FSBI «Zakusov institute of Pharmacology»,

Moscow

Бочков Павел Олегович

ORCID ID: 0000-0001-8555-5969

SPIN-код: 5576-8174

к. б. н., с. н. с. лаборатории фармакокинетики ФГБНУ «Научно-исследовательский институт фармакологии имени В.В. Закусова», Москва

Колыванов Геннадий Борисович

ORCID ID: 0000-0002-2571-0047

SPIN-код: 2538-8639

д. б. н., в. н. с. лаборатории фармакокинетики ФГБНУ «Научно-исследовательский институт фармакологии имени В.В. Закусова», Москва

Литвин Александр Алексеевич

ORCID ID: 0000-0002-2818-3457

SPIN-код: 6193-5770

д. б. н., в. н. с. лаборатории фармакокинетики ФГБНУ «Научно-исследовательский институт фармакологии имени В.В. Закусова», Москва

Грибакина Оксана Геннадьевна

ORCID ID: 0000-0002-4604-4346

SPIN-код: 6266-8161

к. б. н., н. с. лаборатории фармакокинетики ФГБНУ «Научно-исследовательский институт фармакологии имени В.В. Закусова», Москва

Шевченко Роман Владимирович

ORCID ID: 0000-0003-4646-7733

SPIN-код: 1844-6202

к. м. н., н. с. лаборатории фармакокинетики ФГБНУ «Научно-исследовательский институт фармакологии имени В.В. Закусова», Москва

Жердев Владимир Павлович Автор, ответственный за переписку

e-mail: zherdevpharm@mail.ru ORCID ID: 0000-0003-2710-7134

SPIN код: 2213-9592

д. м. н., профессор, заведующий лабораторией

фармакокинетики ФГБНУ «Научно-

исследовательский институт фармакологии имени В.В. Закусова», Москва

Bochkov Pavel

ORCID ID: 0000-0001-8555-5969

SPIN code: 5576-8174

Candidate of Biological Sciences, Senior Research Officer of laboratory pharmacokinetics FSBI «Zakusov institute of Pharmacology», Moscow

Kolyvanov Gennadiy

ORCID ID: 0000-0002-2571-0047

SPIN code: 2538-8639

Doctor of Biological Sciences, Leading researcher of the laboratory of pharmacokinetics FSBI «Zakusov institute of Pharmacology», Moscow

Litvin Alexander

ORCID ID: 0000-0002-2818-3457

SPIN code: 6193-5770

Doctor of Biological Sciences, leading researcher of the laboratory of pharmacokinetics FSBI «Zakusov institute of Pharmacology», Moscow

Gribakina Oxana

ORCID ID: 0000-0002-4604-4346

SPIN code: 6266-8161

Candidate of Biological Sciences, Research Officer of laboratory pharmacokinetics FSBI «Zakusov

institute of Pharmacology», Moscow

Shevchenko Roman

ORCID ID: 0000-0003-4646-7733

SPIN code: 1844-6202

Candidate of Medical Sciences, Research Officer of laboratory pharmacokinetics FSBI «Zakusov

institute of Pharmacology», Moscow

Zherdev Vladimir

Corresponding author

e-mail: zherdevpharm@mail.ru ORCID ID: 0000-0003-2710-7134

SPIN code: 2213-9592

Doctor of Medical Sciences, professor, Head of laboratory pharmacoki-netics FSBI «Zakusov

institute of Pharmacology», Moscow

Литература / References

- 1. https://www.who.int/ru/news-room/fact-sheets/detail/dementia
- 2. Гудашева Т.А., Колясникова К.Н., Кузнецова Е.А., и др. Этиловый эфир N-фенилацетил-глицил-L-пролина метаболизируется до цикло-L-пролилглицина, проявляя сходный спектр нейропсихотропной активности // Xuм.-фарм. ж. 2016. Т. 50. № 11. С. 3 8. [Gudasheva TA, Kolyasnikova KN, Kuznetsova YeA, et al. Etilovyy effortilatsetil-glitsil-L-prolina metaboliziruyetsya do tsiklo-L-proliglitsina, proyavlyaya skhodnyy spektr neyropsikhotropnoy aktivnosti. Khim.-farm. zh. 2016;50(11):3-8. (In Russ).] DOI: 10.30906/0023-1134-2016-50-11-3-8
- 3. Gudasheva TA, Boyko SS, Akparov VKh, et al. Identification of a novel endogenous memory facilitating cyclic dipeptide cyclo-prolylglycine in rat brain. *FEBS Lett.* 1996;391(1-2):149–152. DOI:10.1016/0014-5793(96)00722-3
- 4. Поварнина П.Ю., Колясникова К.Н., Николаев С.В., и др. Нейропептид циклопролилглицин проявляет нейропротективную активность при системном введении на модели неполной глобальной ишемии у крыс и в условиях глутаматной нейротоксичности *in vitro* // Бюл. эксперим. биологии и медицины. 2015. Т. 160. № 11. С. 600—603. [Povarnina PY, Kolyasnikova KN, Nikolayev SV, et al. Neyropeptid tsikloprolilglitsin proyavlyayet neyroprotektivnuyu aktivnost' pri sistemnom vvedenii na modeli nepolnoy global'noy ishemii u krys i v usloviyakh glutamatnoy neyrotoksichnosti *in vitro. Byul. eksperim. biologii i*

- meditsiny. 2015;160(11):600-603. (In Russ).] DOI 10.1007/s10517-016-3241-5
- 5. Колясникова К.Н., Гудашева Т.А., Назарова Г.А., и др. Сходство цикло-пролилглицина с пирацетамом по антигипоксическому и нейропротекторному эффектам // Эксперим. клин. фармакол. 2012. Т. 75. № 9. С. 3—6. [Kolyasnikova KN, Gudasheva TA, Nazarova GA, et al. Skhodstvo tsiklo-prolilglitsina s piratsetamom po antigipoksicheskomu i neyroprotektornomu effektam. *Eksperim. klin. farmakol.* 2012;75(9):3—6 (In Russ).] DOI: 10.30906/0869-2092-2012-75-9-3-6
- 6. Гудашева Т.А., Константинопольский М.А., Островская Р.У., Середенин С.Б. Анксиолитическая активность эндогенного ноотропного пептида циклопропилглицина в тесте приподнятого крестообразного лабиринта // Бюл. эксперим. биологии и медицины. 2001. Т. 131. № 5. С. 547—550. [Gudasheva TA, Konstantinopol'skip Nostrovskaya RU, Seredenin SB. Anksioliticheskaya aktivnost' endogennogo nootropnogo peptida tsiklopropilglitsina v teste pripodnyatogo krestoobraznogo labirinta. Byul. eksperim. biologii i meditsiny. 2001;131(5):547—550. [In Russ).]
- 7. Валидация аналитических методик для производителей лекарств. Типовое руководство предприятия по производству лекарственных средств / под ред. В.В. Береговых М.: Литтерра, 2008. 132 с. [Validierung analytischer Verfahren der fictiven Firma "Muster" für die Arzneimittel-Herstellung (der Bundesverband der Arzneimittel-Hersteller (BAH)), 2004. (In Russ).]

36

Исследование хронической токсичности готовой лекарственной формы ГБ-115

Сорокина А. В., Алексеева С. В., Мирошкина И. А., Забродина В. В., Колик Л. Г., Дурнев А. Д.

ФГБНУ «НИИ фармакологии имени В.В. Закусова», Москва

Аннотация. Представлены результаты исследования хронической токсичности пептидного анксиолитика ГБ-115 в готовой лекарственной форме. Препарат в виде таблетированной массы вводили ежедневно перорально в течение 6 мес. аутбредным крысам и кроликам породы шиншилла в дозе 1 мг/кг, соответствующей терапевтической, и 50 мг/кг, превышающей терапевтическую дозу в 50 раз. Клинико-лабораторные и патогистологические исследования, выполненные в соответствии с общим протоколом, продемонстрировали отсутствие токсических эффектов готовой лекарственной формы ГБ-115. Исключение составили обратимые изменения показателей коагуляционной активности у крыс и кроликов, которые не были связаны с дозой готовой лекарственной формы ГБ-115.

Ключевые слова: ГБ-115; готовая лекарственная форма; хроническая токсичность; крысы; кролики

Для цитирования:

Сорокина А.В., Алексеева С.В., Мирошкина И.А., Забродина В.В., Колик Л.Г., Дурнев А.Д. Исследование хронической токсичности готовой лекарственной формы ГБ-115 // Фармакокинетика и фармакодинамика. – 2019. – № 4. – С. 37–44. DOI: 10.37489/2587-7836-2019-4-37-44

Study of chronic toxicity of the GB-115 drug formulation

Sorokina AV, Alekseeva SV, Miroshkina IA, Zabrodina VV, Kolik LG, Durnev AD FSBI «Zakusov Institute of Pharmacology», Moscow

Abstract. The results of the study of chronic toxicity of the drug formulation of anxiolytic GB-115 are presented. The novel dipeptide in the form of a tablet mass was administered daily orally for 6 months to outbred rats and rabbits of the chinchilla breed at a dose of 1 mg/kg corresponding to the therapeutic and 50 mg/kg exceeding the therapeutic dose by 50 times. Clinical, laboratory and pathohistological studies performed in accordance with the General Protocol demonstrated the absence of toxic effects of the GB-115 drug formulation. The exception was the reversible changes in the coagulation activity in rats and rabbits, which were not associated with the dose of the GB-115 solid dosage from.

Keywords: GB-115; solid dosage form (tablets); chronic toxicity; rats; rabbits

For citations:

Sorokina AV, Alekseeva SV, Miroshkina IA, Zabrodina VV, Kolik LG, Durnev AD. Study of chronic toxicity of the GB-115 drug formulation. *Farmakokinetika i farmakodinamika*. 2019;4:37–44. (In Russ). DOI: 10.37489/2587-7836-2019-4-37-44

Введение

Анксиолитики — одна из распространённых групп нейротропных препаратов, которые применяются в условиях как стационарного, так и амбулаторного лечения. В этих условиях большое значение приобретают вопросы безопасного использования лекарственных препаратов данной группы.

В последние годы активно ведутся исследования, направленные на разработку эффективных и безопасных анксиолитиков. Разработанное на основе эндогенного тетрапептида холецистокинина и фармакологически изученное в ФБГНУ «НИИ фармакологии имени В.В. Закусова» дипептидное соединение ГБ-115 (амид N-фенилгексаноил-глицил-L-триптофана) обладает выраженным анксиолитическим действием и проявляет антагонистические свойства по отношению к центральным холецистокининовым рецепторам в опытах *in vitro* и *in vivo* [1—3].

Исследование хронической токсичности является обязательной ступенью в доклинической оценке безопасности нового лекарственного средства [4]. Ранее, в соответствии с требованиями нормативных документов, было проведено доклиническое изучение безопасности фармакологической субстанции ГБ-115 [5]. С разработкой таблетированной формы ГБ-115

возникла необходимость доклинического изучения её безопасности.

Исследование хронической токсичности готовой лекарственной формы (ГЛ Φ) нового дипептидного соединения ГБ-115 явилось целью настоящей работы.

Цель исследования

Целью данной работы стало изучение хронической токсичности ГЛФ ГБ-115.

Задачами работы стали выявление токсических эффектов ГЛФ ГБ-115 при ежедневном пероральном введении течение 6 мес. аутбредным крысам и кроликам породы шиншилла в дозе 1 мг/кг (соответствует терапевтической дозе) и 50 мг/кг (превышает терапевтическую дозу в 50 раз). Важно также было установить возможные органы-мишени токсического действия, оценить степень местнораздражающего действия при пероральном введении таблеточной массы, а также выявить возможность обратимости искомых токсических эффектов ГЛФ ГБ-115.

Материалы и методы

При проведении исследования использовали таблеточную массу ГБ-115 серии № 010614, произведённую Опытно-технологическим Отделом ФГБНУ «НИИ фармакологии имени В.В. Закусова» 25.06.2014. Состав на одну таблетку: ГБ-115 — 0,001 г; лактозы — 0,067 г; микрокристаллической целлюлозы 102 — 0,029 г; гидроксипропилметилцеллюлозы 6 — 0,0015 г; магния стеарата — 0,0015 г. Расчёт дозы препарата вели по активному веществу [6].

Хроническую токсичность ГЛФ ГБ-115 оценивали на беспородных белых крысах обоего пола начальной массой 180-200 г и кроликах породы шиншилла обоего пола начальной массой 1,5-2 кг.

Все экспериментальные животные были получены из сертифицированных питомников и содержались в условиях вивария ФГБНУ НИИ фармакологии имени В.В. Закусова в соответствии с ГОСТ 33044-2014 «Принципы надлежащей лабораторной практики». Работы с крысами и кроликами выполняли в соответствии с общепринятыми нормами обращения с животными [7] на основе стандартных операционных процедур, принятых в ФГБНУ «НИИ фармакологии имени В.В. Закусова», соответствующих правилам Европейской Конвенции ETS 123.

В исследование введено 64 крысы и 36 кроликов. ГЛФ ГБ-115 вводили крысам и кроликам перорально ежедневно в течение 6 мес. в дозе, соответствующей терапевтической — 1 мг/кг (2-я группа крыс и кроликов), а также в дозе, превышающей её в 50 раз — 50 мг/кг (3-я группа крыс и кроликов и 4-я «отставленная» группа крыс и кроликов и 4-я «отставленная» группа крыс и кроликов) перорально вводили 1 % раствор крахмала в тех же объёмах, что и при изучении субтоксической дозы.

Объём и продолжительность исследования, набор использованных методов, регистрируемых параметров и другие условия проведения исследования регламентировались соответствующими Руководствами [4, 8–10]. Забор биоматериала и его исследование выполнялось до начала эксперимента, через 3 мес. и 6 мес., не позже 24 ч после заключительного введения препарата. Исключение составили крысы «отставленной» группы, в которой забор материала и измерения выполняли также спустя 30 дней после заключительного введения ГЛФ ГБ-115.

Массу экспериментальных животных определяли еженедельно с помощью электронных весов SPU 601 (OHAUS Corp., США).

Изучение поведенческих реакций у крыс проводили по тесту «Открытое поле». Оценивали следующие характеристики: ориентировочно-исследовательские реакции (локомоторная или горизонтально-двигательная активность), количество пересечённых периферических секторов, вертикальная двигательная активность (количество вертикальных стоек), исследовательская активность «норковый рефлекс», а также эмоциональное состояние животных (количество фекальных болюсов, числа уринаций, груминговой активности, выходов в центр, время замирания).

Электрокардиографическое исследование проводили у крыс с использованием беспроводной системы Физиобелт (Нейроботикс, Россия) во втором стандартном отведении. Данные анализировали с использованием программного обеспечения LabChart (Австралия). На нефиксированное животное надевали жилетку с беспроводным усилителем и электродами.

Измерения ректальной температуры у крыс осуществляли с использованием ректального датчика на оборудовании производства компании ADInstrumentsLtd (Австралия).

Клиническое исследование крови у крыс и кроликов осуществляли с помощью автоматического гематологического анализатора «Abacus Uniorvet», Австрия (крысы), автоматического гематологического анализатора «MINDRAY», Германия (кролики), компьютеризированной микроскопической системы «МЕКОС-Ц1». Определяли следующие гематологические показатели периферической крови: количество гемоглобина, эритроцитов, лейкоцитов, тромбоцитов, гематокрит, тромбокрит, средний объём эритроцитов, среднее содержание гемоглобина в эритроцитах, средняя концентрация гемоглобина в эритроците [11].

Исследование гемостаза у крыс и кроликов проводили с использованием коагулометра ТS 4000 (США). Определяли активированное частичное тромбопластиновое время (АЧТВ), тромбиновое время (ТВ), протромбиновое время (ПВ), количество фибриногена.

Биохимические исследования крови у крыс и кроликов осуществляли с помощью автоматического биохимического и иммуноферментного анализатора «ChemWell 2910 Combi» (США). Определяли содержание глюкозы, общего белка, альбумина, креатинина, мочевины, активность аланин- и аспартатаминотрансферазы.

Биохимические исследования мочи у крыс проводили с помощью анализатора мочи «HandUReader» (Венгрия) и автоматического биохимического и иммуноферментного анализатора «ChemWell 2910 Combi», США, используя наборы реагентов для диагностики «in vitro» производства компании «SPINREACTS.A.» (Испания). Определяли удельный вес, кислотность, содержание глюкозы, белка.

По завершении эксперимента всех животных вскрывали. В ходе патологоанатомического вскрытия, макроскопической оценки состояния важнейших органов и систем организма, а также после определения массовых коэффициентов наиболее реактивных внутренних органов были отобраны и зафиксированы в 10 % забуференном растворе формалина фрагменты внутренних органов (сердца, лёгких, трахеи, пищевода, желудка, тонкого и толстого кишечника, печени, поджелудочной железы, почек, мочевого пузыря, надпочечников, щитовидной железы, паращитовидной железы, тимуса, селезёнки, семенников и придатков семенников самцов, яичников и маточных труб самок крыс и кроликов). Головной мозг крыс фиксировали в

96 % этаноле. После окончания фиксации и стандартной гистологической проводки (автоматизированный тканевой процессор Leica TP1020, Германия) образцы заливали в парафиновые блоки (система заливки тканей с графическим дисплеем Tissue-Tek®TEK™, США). Готовили гистологические срезы толщиной 5 мкм (микротом ротационный Accu-Cut®SPM™, США), которые помещали на стекло с полилизиновым покрытием (Menzel). Окрашивали галлоцианин-хромовыми квасцами с последующей докраской 1 % водным раствором эозина [12—14]. Срезы микроскопировали (микроскоп Nikoneclipse 55i,) в проходящем свете.

Возможное местное раздражающее действие ГЛФ ГБ-115 при пероральном введении оценивали клинически, затем макроскопически при проведении патологоанатомического вскрытия и микроскопически при исследовании гистологических срезов пищевода, желудка, тонкой и толстой кишки.

Статистический анализ полученных данных проводили следующим образом. Нормальность распределения определяли с помощью критерия Шапиро-Уилка. В случае нормального или близкого к нему распределения для определения значимости изменений использовали *t*-критерий Стьюдента, однофакторный дисперсионный анализ (в случае множественных сравнений) с последующей обработкой с помощью критерия Даннета. Полученные результаты описывали с помощью средних арифметических и их стандартных ошибок. В случае значительного отклонения распределения от нормального использовали непараметрические методы статистики: критерий Манна-Уитни, аналог дисперсионного анализа по Краскеллу-Уоллису с последующей обработкой методом множественных сравнений по Данну. Полученные результаты описывали с помощью медиан, нижнего и верхнего квартилей.

Статистическую значимость различий качественных признаков определяли с помощью метода точной вероятности Фишера с учётом множественных сравнений.

Результаты считались статистически значимыми, если значение p оказывалось меньшим или равным 0,05 [15, 16].

Результаты и обсуждение

В результате проведённого исследования установлено, что длительное пероральное введение ГЛФ ГБ-115 крысам и кроликам обоего пола в дозах 1 и 50 мг/кг не вызывает изменений общего состояния и внешнего вида. В ходе эксперимента не погибло ни одно животное.

При наблюдении за динамикой массы тела экспериментальных крыс и кроликов, получавших ГЛФ ГБ-115 в дозе 1 мг/кг, установлено, что она не отличалась от таковой у контрольных животных. При введении

ГЛФ ГБ-115 в дозе 50 мг/кг у крыс 3-й и 4-й групп не выявлено значимых различий в динамике массы и её прироста с животными контрольной группы, за исключением более низких (на 31 %) показателей прироста у самок 3-й группы на 4- и 5-м месяцах эксперимента. К окончанию эксперимента прирост массы тела крыс этой группы восстанавливался, а через месяц после отмены ГБ-115 (4-я группа) фиксировали значительное увеличение прироста массы в среднем на 62 % у самок, и на 97 % у самцов по сравнению, с исходными данными. Наблюдение в течение 6 мес. за динамикой массы тела кроликов, получавших ГЛФ ГБ-115 в дозе 50 мг/кг, не выявило значимых различий в массе тела и её приросте с контрольными животными.

Длительное пероральное введение ГЛФ ГБ-115 снижает потребление корма опытными крысами самками и, напротив, вызывает полифагию у опытных самцов. Препарат ГБ-115 не влияет на потребление воды опытными крысами.

ГБ-115 при ежедневном введении крысам в дозах 1 и 50 мг/кг не вызывает выраженных изменений поведения экспериментальных животных в тесте «открытое поле». Отмечалось повышение исследовательской активности у опытных крыс, ежедневно получавших готовую лекарственную форму препарата ГБ-115 в дозе 1 мг/кг через три месяца введения препарата, и угнетение вертикальной двигательной активности у животных после шестимесячного введения ГБ-115 в дозе 50 мг/кг. Через месяц после отмены препарата в дозе 50 мг/кг поведенческие реакции крыс отставленной группы не имели значимых различий с поведением контрольных животных.

Исследование фонового ЭКГ во втором стандартном отведении показало, что у всех крыс в начале эксперимента наблюдался нормальный синусовый ритм сокращений сердца (500—550 ударов/мин.). Изучение ЭКГ крыс экспериментальных групп, проведённое через 3,6 мес. от начала эксперимента, а также 7 мес. (только «отставленная» группа), позволило заключить, что ГЛФ ГБ-115 в обеих исследуемых дозах не вызывает значительных изменений электрокардиограмм. Установленные показатели не отличались от таковых у крыс контрольной группы.

Исследование ректальной температуры в начале эксперимента показало, что у всех крыс контрольной и экспериментальных групп, которым впоследствии вводили ГЛФ ГБ-115 в дозах 1 и 50 мг/кг, исследуемый показатель находился в пределах физиологической нормы, характерной для данного вида животных. В течение шести месяцев введения ГЛФ ГБ-115 у крыс экспериментальных групп не выявлено значимых различий по сравнению с таковыми показателями контрольных животных.

При изучении периферической крови крыс, получавших ГЛФ ГБ-115 в дозе 1 мг/кг, у самцов через три месяца, а также у крыс обоего пола через 6 мес., регистрировали более высокий уровень гемоглоби-

No 4. 2019 ■

39

на по сравнению с контрольными данными. Также у самцов этой группы, через три месяца введения ГБ-115, количество эритроцитов и, соответственно, гематокритное число (отношение общего уровня эритроцитов к показателю объёма плазмы) были значимо выше аналогичных показателей в контрольной группе. К окончанию эксперимента содержание тромбоцитов было выше контрольных значений: у самок – на 31 %, у самцов — на 20 %. Следует отметить, что все исследованные показатели не выходили за границы референтных значений для данного вида животных [17, 18]. При исследовании морфометрических показателей эритроцитов к окончанию эксперимента не выявлено значительных различий с контролем. Через три месяца число анизохромных форм эритроцитов у самок и количество полихроматофилов у самцов были значимо ниже контрольных значений на 18 % и в 2 раза, соответственно. По сравнению с первоначальными данными у самцов крыс этой группы отмечено снижение числа полихроматофилов и анизохромных эритроцитов. Эти изменения хотя и были статистически значимыми, но не выходили за границы пределов физиологической нормы.

При изучении периферической крови крыс, получавших ГЛФ ГБ-115 в дозе 50 мг/кг, установлено, что у крыс 3-й и 4-й групп регистрировалось увеличение количества тромбоцитов: у самок — в среднем на 34 %, у самцов — на 54 %. К окончанию эксперимента не наблюдалось статистически значимых различий между гематологическими показателями опытной и контрольной групп. За исключением более низкого, чем в контроле, содержания числа лейкоцитов и средней концентрации гемоглобина в эритроците у самок. Показатели периферической крови и морфометрические показатели эритроцитов у крыс «отставленной» 4-й группы, исследованных через месяц после отмены препарата, не имели различий с контролем.

До начала эксперимента показатели периферической крови кроликов, получавших ГЛФ ГБ-115 в дозе 1 мг/кг, не отличались значимо по сравнению с контролем. За исключением показателя гемоглобина у самок, который был несколько выше, чем в контроле. При исследовании морфометрических показателей эритроцитов у кроликов этой группы не наблюдалось различий с контролем. За исключением более низкого показателя количества дискоидных (нормальных) форм эритроцитов и, соответственно, увеличение числа пойкилоцитов. Установлено, что через три месяца введения препарата у кроликов этой группы не отмечено значимых различий с контрольной группой. К окончанию эксперимента большинство показателей периферической крови были на уровне контроля.

Установлено, что у кроликов, которым перорально вводили ГЛФ ГБ-115 в дозе 50 мг/кг, большинство по-казателей периферической крови не имели значимых различий с контролем. За исключением самок, у которых через три месяца среднее содержание гемоглобина

в эритроците было выше, а количество тромбоцитов ниже аналогичных показателей периферической крови контрольных самок. Через шесть месяцев уровень гемоглобина у кроликов был выше контрольного, в лейкоцитарной формуле у самок, как и у животных 2 группы, содержание лимфоцитов было выше, а количество сегментоядерных нейтрофилов ниже аналогичных показателей в контроле. По сравнению с первоначальными данными через три месяца у самцов фиксировали уменьшение количества эритроцитов (10%), содержания гемоглобина (11%) и объёма эритроцитарной крови на 8 %. К окончанию эксперимента содержание гемоглобина у самцов увеличилось до первоначального уровня. У самок, в течение всего эксперимента, показатель количества тромбоцитов был ниже данного, полученного до введения препарата. Следует отметить, что различия в этих показателях, хотя и были статистически значимыми, находились в пределах колебаний, обычно наблюдаемых у лабораторных кроликов [17, 18]. При исследовании морфометрических показателей эритроцитов через 3 и 6 мес. перорального введения препарата ГБ-115 в дозе 50 мг/кг по сравнению с контролем и фоновыми данными у кроликов этой группы отмечено уменьшение количества анизохромных эритроцитов. Так же как и у животных 2 группы, диаметр эритроцитов у них был ниже контрольного показателя.

Обобщённый анализ данных проведённых гематологических исследований не выявил эффектов, которые могли бы быть обусловлены токсическим действием препарата ГБ-115.

Исследование системы гемостаза было выполнено на крысах и кроликах обоего пола. В результате проведённых исследований установлено, что у экспериментальных животных, получавших ГЛФ ГБ-115 в дозах 1 и 50 мг/кг, наблюдался сходный характер изменения коагуляционной активности крови, связанный с укорочением значений тромбинового времени свертывания крови.

У самок крыс, получавших ГЛФ ГБ-115 в дозе 1 мг/кг, было установлено значимое укорочение тромбинового времени на 18,6 %, по сравнению с аналогичным показателем в группе контрольных крыс. У самок крыс, получавших препарат в дозе 50 мг/кг, также наблюдалось значимое сокращение тромбинового времени на 21,0 %, по сравнению со значением, зарегистрированным в группе контроля. При исследовании крови самок крыс «отставленной» группы было зарегистрировано значимое удлинение протромбинового времени на 21,8 %, по сравнению с контролем и тромбинового времени на 21,8 % по сравнению с крысами, получавшими препарат в дозе 50 мг/кг и обследованными через 24 ч после заключительного его введения (табл. 1). В отличие от самок крыс у самцов не было установлено значимых различий при сравнении показателей свёртывания крови. Следует отметить, что наблюдаемая вариабельность

Tаблица 1 Влияние ГЛФ ГБ-115 (при пероральном введении в течение шести месяцев в дозах 1 и 50 мг/кг) на показатели гемостаза крыс

Показатели	Контроль	ГБ-115	ГБ-115	ГБ-115
	Ме	1 мг/кг	50 мг/кг	50 мг/кг «отставленная
	(25-75 %)	Ме (25–75 %)	Ме (25-75 %)	группа» Ме (25–75 %)
ПВ, сек ♀	14,7	14,3	14,5	17,9*
	(12,8÷18,1)	(13,2÷16,1)	(12,3÷18,2)	(16,1÷18,1)
ПВ, сек ♂	15,6	16,7	14,5	19,0
	(14,6÷17,4)	(15,3÷18,1)	(11,9÷19,3)	(17,1÷22,2)
АЧТВ, сек ♀	17,0	15,2	16,9	20,4
	(15,9÷18,2)	(15,0÷16,4)	(16,3÷18,6)	(17,0÷29,1)
АЧТВ, сек ♂	16,5	16,5	14,0	18,2
	(15,2÷17,3)	(15,3÷17,5)	(11,8÷17,3)	(16,1÷21,2)
ТВ (U 6), сек ♀	29,1	23,7*	23,0*	28,0 °
	(25,9÷31,4)	(21,0÷27,6)	(21,4÷25,0)	(26,4÷31,1)
ТВ (U 6), сек ♂	26,4	23,9	24,4	28,8
	(23,6÷30,8)	(17,2÷28,0)	(23,0÷25,1)	(25,6÷35,7)
Фибриноген, г/л 🖁	2,7	3,2	3,3	2,2
	(2,2÷3,3)	(2,6÷3,7)	(2,6÷3,7)	(2,0÷3,0)
Фибриноген, г/л \eth	2,5	2,6	3,8	2,3
	(2,1÷3,0)	(2,2÷3,0)	(2,7÷4,2)	(1,5÷3,3)

Примечания: Данные представлены в виде медиан групп 25 и 75 % квартилей; * — статистически значимые различия (p < 0,05) по сравнению с контрольной группой животных; $^{\bullet}$ — статистически значимые различия (p < 0,05) по сравнению с 3-й группой животных.

показателей гемостаза находились в пределах референтных значений [17, 18].

У самок кроликов, получавших препарат в дозе 1 и 50 мг/кг, было отмечено значимое укорочение тромбинового времени свёртывания крови на 7,6 и 22,9 %, соответственно, по сравнению с аналогичными показателями в группе контрольных животных (табл. 2). Следует отметить, что при исследовании плазмы крови кроликов контрольной группы все показатели свёртываемости крови находились в пределах обычно наблюдаемых значений [17, 18].

При биохимическом исследовании сыворотки крови крыс контрольной и опытных групп животных было показано, что все изученные показатели находились в пределах референтных значений. У самцов крыс, получавших ГЛФ ГБ-115 в дозе 1 мг/кг, наблюдалось значимое повышение активности аланинаминотрансферазы (37,6%). У самок этой группы было отмечено значимое снижение содержания мочевины на 35,1 % по сравнению с контрольными крысами. У самцов крыс, получавших ГЛФ ГБ-115 в дозе 50 мг/кг, было отмечено значимое снижение содержания общего белка (45,9 %) и повышение активности аланинаминотрансферазы (32,8 %) по сравнению с аналогичными показателями в группе контроля. Значимое повышение уровня мочевины у самцов и самок этой группы составило 57,3 и 23,9 %, соответственно. Исследование крови крыс «отставленной» группы, получавших ГЛФ ГБ-115 в дозе 50 мг/кг, показало, что через месяц после отмены препарата у самцов сохраняется значимо повышенное содержание общего белка (на 38,9%) по сравнению с контролем. Было зарегистрировано значимое снижение концентрации креатинина у животных обоего пола. По сравнению с контрольными значениями снижение уровня креатинина у самцов составило 28,1%, а по сравнению с аналогичным показателем у крыс 3 группы — 31,8%.

При биохимическом исследовании сыворотки крови кроликов, получавших ГЛФ ГБ-115 в дозе $50\,\mathrm{mr/kr}$, были зарегистрированы значимые различия с контролем по содержанию в крови глюкозы у самок, общего белка и креатинина — у самцов. Значимое снижение глюкозы в крови у самок составило $16.9\,\%$. У самцов значимое повышение общего белка составило $53.6\,\%$, а креатинина — $28.0\,\%$. Следует отметить, что все наблюдаемые изменения биохимических показателей крови опытных кроликов не выходили за границы физиологической нормы.

Исследование физико-химических свойств мочи контрольных и опытных крыс в начале эксперимента, не выявило отклонений биохимических показателей от референтных значений. Через 3 и 6 мес. у крыс контрольной группы не выявлено значимых различий в биохимическом составе мочи по сравнению с первоначальными данными. Исследование биохимического состава мочи опытных крыс, получавших препарат ГЛФ ГБ-115 в дозе 1 мг/кг, в начале эксперимента выявило значимое повышенное содержание креатинина у самцов на 4,9 % по сравнению с аналогичным показателем в контрольной группе животных. Через 3

Таблица 2
Влияние ГЛФ ГБ-115 (при пероральном введении в течение шести месяцев в дозах 1 и 50 мг/кг) на показатели гемостаза кроликов

Показатели	Контроль Ме (25–75 %)	ГБ-115 1 мг/кг Ме (25–75 %)	ГБ-115 50 мг/кг Ме (25-75 %)
ПВ, сек ♀	10,3	9,7	8,7
	(7,3÷10,7)	(9,4÷9,8)	(7,5÷9,4)
ПВ, сек ♂	10,2	9,7	8,4
	(7,8÷10,4)	(9,3÷10,2)	(7,7÷9,8)
АЧТВ, сек ♀	13,9	15,4	16,7
	(13,6÷16,2)	(13,3÷16,6)	(13,2÷18,3)
АЧТВ, сек ♂	14,4	14,8	14,6
	(13,3÷16,2)	(14,4÷17,3)	(13,9÷15,0)
ТВ (U 6), сек ♀	13,1	12,1*	10,1*
	(12,6÷14,5)	(11,8÷12,4)	(8,7÷11,1)
ТВ (U 6), сек ♂	15,6	12,2	10,0
	(10,6÷19,5)	(11,1÷13,0)	(9,7÷10,4)
Фибриноген, г/л ♀	2,5	3,4	3,3
	(2,3÷2,9)	(2,8÷3,9)	(3,0÷3,6)
Фибриноген, г/л 👌	2,3	2,9	3,5
	(1,9÷2,7)	(2,1÷3,9)	(2,4÷3,7)

Примечания: Данные представлены в виде медиан групп 25 и 75% квартилей; * – статистически значимые различия (p < 0.05) по сравнению с контрольной группой животных.

и 6 мес. (окончание эксперимента) у крыс этой группы не выявлено значимых различий по сравнению с исходными данными и контролем.

Первоначальное исследование мочи крыс, получавших ГЛ Φ ГБ-115 в дозе 50 мг/кг, показало, что все биохимические показатели находились в пределах обычно наблюдаемых значений. Через 3 мес. у самок и самцов, получавших ГБ-115 в дозе 50 мг/кг, было зарегистрировано значимое повышение уровня креатинина на 29,0 и 20,8 %, соответственно, по сравнению с первоначальными данными. По сравнению с контролем значимое повышение концентрации креатинина у самцов составило 37,9 %. Через 6 мес. (окончание эксперимента) у самок и самцов этой группы было отмечено значимое повышение содержания креатинина и снижение мочевины в моче по сравнению с исходными данными. По сравнению с исходными данными значимое повышение концентрации креатинина в моче самок составило 83,1 %, а у самцов — 31,7 %. По сравнению с контрольными животными содержание креатинина повысилось на 38,2 % у самок и на 24,5 % — у самцов. Значимое снижение концентрации мочевины по сравнению с исходными данными у самок составило 31,0%, а у самцов -50,0%. Следует отметить, что у самцов и самок 3 группы через 6 мес. введения препарата было зарегистрировано снижение концентрации мочевины до нижней границы физиологической нормы для крыс.

Через месяц после отмены препарата («отставленная» группа) у самцов и самок, получавших препарат

в дозе 50 мг/кг, было отмечено значимое повышение уровня мочевины. По сравнению с результатами, наблюдаемыми при первоначальном исследовании мочи, у самок было зарегистрировано значимое повышение уровня мочевина на 34,5 %. Повышение содержание этого показателя в моче крыс через месяц после отмены препарата не превышало физиологических значений, характерных для данного вида животных.

В результате проведённого после эвтаназии патологоанатомического вскрытия экспериментальных крыс и кроликов, оценки массовых коэффициентов наиболее реактивных внутренних органов, последующего макроскопического и микроскопического исследования установлено следующее. ГЛФ ГБ-115 не вызывает изменений строения органов нервной системы (головной мозг) крыс. Препарат не приводит к закономерным изменениям строения таких органов и систем организма экспериментальных крыс и кроликов, как сердечно-сосудистая (сердце, магистральные сосуды), дыхательная (лёгкие, трахея), пищеварительная (пищевод, желудок, тонкий и толстый отделы кишечника, печень, поджелудочная железа), мочевыводящая (почки, мочевой пузырь), эндокринная (надпочечники, щитовидная железа, паращитовидная железа, островки Лангерганса поджелудочной железы), репродуктивная (семенники и придатки семенников самцов, яичники и маточные трубы самок) а также органов кроветворения и иммуногенеза (селезёнка, тимус, лимфатические узлы кишечника и лёгких).

Исследования местнораздражающего действия ГЛФ ГБ-115 показало отсутствие болевой реакции животных при введении препарата, отсутствие раздражения слизистой оболочки ротовой полости при ежедневных клинических осмотрах экспериментальных крыс и кроликов. Патоморфологическое вскрытие не выявило макроскопических изменений ротовой полости, языка, глотки, пищевода, желудка, тонкого и толстого отделов кишечника крыс и кроликов. Микроскопическая картина пищевода, желудка, тонкого и толстого отделов кишечника крыс и кроликов экспериментальных групп, получавших ГЛФ ГБ-115 в дозах 1 и 50 мг/кг, была идентичной таковой, наблюдаемой у контрольных крыс и кроликов, получавших 1 % раствор крахмала.

Заключение

Изучение анксиолитика ГБ-115, проведённое согласно стандартному для доклинических исследований хронической токсичности протоколу [4, 8], не выявило закономерных токсических эффектов.

Обнаруженные у самок кроликов и крыс, получавших ГЛ Φ ГБ-115 в дозах 1 и 50 мг/кг, изменения коагуляционной активности крови, связанные с укорочением значений тромбинового времени свертывания крови, находились в пределах референтных значений.

При клинических испытаниях препарата стоит учитывать потенциальные риски, связанные с применением ГБ-115 у лиц, страдающих нарушениями свёртываемости крови.

СВЕДЕНИЯ ОБ АВТОРАХ

Сорокина Александра Валериановна Автор, ответственный за переписку

e-mail: alex-mike5475@mail.ru ORCID ID: 0000-0002-9600-7244 к. б. н., в. н. с. лаборатории лекарственной токсикологии ФГБНУ «Научноисследовательский институт фармакологии имени В.В. Закусова», Москва

Алексеева Светлана Витальевна

ORCID ID: 0000-0002-1262-6997 SPIN-код: 8985-3418 с. н. с. лаборатории лекарственной токсикологии ФГБНУ «Научноисследовательский институт фармакологии имени В.В. Закусова», Москва

Мирошкина Ирина Александровна

ORCID ID: 0000-0002-3208-198X

SPIN-код: 4697-7938 н. с. лаборатории лекарственной токсикологии ФГБНУ «Научно-исследовательский институт фармакологии имени В.В. Закусова», Москва

Забродина Виктория Владимировна ORČID ID: 0000-0002-8450-9853 SPIN-код: 8473-6920 к. б. н., н. с. лаборатории лекарственной токсикологии ФГБНУ «Научноисследовательский институт фармакологии имени В.В. Закусова», Москва

Sorokina Aleksandra Corresponding author

e-mail: alex-mike5475@mail.ru ORCID ID: 0000-0002-9600-7244 Candidate of Biological Sciences, Leading researcher of the laboratory of drug toxicology FSBI «Zakusov institute of Pharmacology»,

Alekseeva Svetlana

ORCID ID: 0000-0002-1262-6997 SPIN code: 8985-3418

Senior Research Officer of laboratory of drug toxicolog FSBI «Zakusov institute of Pharmacology», Moscow

Miroshkina Irina

ORCID ID: 0000-0002-3208-198X

SPIN code: 4697-7938

Research scientist of the laboratory of drug toxicology FSBI «Zakusov institute of Pharmacology», Moscow

Zabrodina Victoria

ORCID ID: 0000-0002-8450-9853

SPIN code: 8473-6920

Candidate of Biological Sciences, Research scientist of the laboratory of drug toxicology FSBI «Zakusov institute of Pharmacology», Moscow

Колик Лариса Геннадьевна

ORCID ID: 0000-0002-9847-8058

д. б. н., профессор РАН, руководитель лаборатории фармакологической регуляции состояний зависимости, ФГБНУ «НИИ фармакологии имени В.В. Закусова», Москва

Дурнев Андрей Дмитриевич

ORCID: 0000-0003-0218-8580

SPIN-код: 8426-0380

член-корр. РАН, д. м. н. профессор, зав. лабораторией лекарственной токсикологии, директор ФГБНУ «Научно- исследовательский институт фармакологии имени В.В. Закусова», Москва

Kolik Larisa

ORCID ID: 0000-0002-9847-8058 Doctor of Biological Sciences, prof. RAS, Head Laboratory of Pharmacological Regulation of Alcohol and Drug Addiction, FSBI «Zakusov

institute of Pharmacology», Moscow

Durney Andrei

ORCID: 0000-0003-0218-8580

SPIN code: 8426-0380

RAS corresponding member, Doctor of Biological Sciences., Head of the laboratory of drug toxicology, Professor, Director FSBI «Zakusov institute of Pharmacology», Moscow

Литература / References

- 1. Колик Л.Г., Жуков В.Н., Середенин С.Б. // Экспериментальная и клиническая фармакология. -2007. Т. 70. № 2. С. 8-11. [Kolik LG, Zhukov VN, Seredenin SB. *Eksperimental'naya i klinicheskaya farmakologiya*. 2007;70(2):8-11. (In Russ).]
- 2. Колик Л.Г., Гудашева Т.А., Середенин С.Б. Фармакогенетическое исследование анксиолитических свойств новых антагонистов холецистокининовых рецепторов // Бюллетень экспериментальной биологии и медицины. − 2003. − Т. 135. − № 5. − С. 519−523. [Kolik LG, Gudasheva TA, Seredenin SB. Pharmacogenetic study of anxiolytic effects of new cholecystokinin receptor antagonists in animals with different levels of emotionality. Bulletin of Experimental Biology and Medicine. 2003;135(5): 440−444. (In Russ).]
- 3. Kolik LG, Gudasheva TA, Seredenin SB. Dipeptide anxiolytic GB-115: new receptor targets. Eeuropean Neuropsychopharmacology. 2011;21(s2):S146.
- 4. Руководство по проведению доклинических исследований лекарственных средств. Часть первая. Методические рекомендации по изучению общетоксического действия лекарственных средств. Изучение хронической токсичности. М.: Гриф и К; 2012. 17—24 с. [Guidance on Preclinical Evaluation of Medicines. Part 1. Metodicheskie rekomendatsii po izucheniyu obshchetoksicheskogo deistviya lekarstvennykh sredstv. Izuchenie khronichesko itoksichnosti. Moscow: Grif i K; 2012. p. 17—24 (In Russ).]

 5. Сорокина А.В., Алексеева С.В., Немова Е.П., и др. Доклиническое
- 5. Сорокина А.В., Алексеева С.В., Немова Е.П., и др. Доклиническое исследование безопасности дипептидного соединения ГБ-115 // Экспериментальная и клиническая фармакология. 2010. Т. 73. № 6. С. 29—32. [Sorokina AV, Alekseeva SV, Nemova EP, et al. Doklinicheskoe issledovanie bezopasnosti dipeptidnogo soedineniya GB-115. Eksperimental'naya i klinicheskaya farmakologiya. 2010;73(6):29—32. (In Russ).]
- 6. Клумова В.С., Грушевская Л.Н, Авдюнина Н.И., и др. Методы синтеза лекарственных средств и технология их производства: разработка аналитических методов определения ГБ-115 в твёрдой лекарственной форме (таблетках) // *Химико-фармацевтический журнал.* 2012. Т. 45. № 12. С. 736—740. [Klumova VS, Grushevskaya LN, Avdyunina NI, et al. Drug synthesis methods and manufacturing technology: developing analytical techniques for GB-115 determination in solid dosage form (tablets). *Pharmaceutical Chemistry Journal.* 2012;45(12):736—740 (In Russ).]
- 7. Guide for the Care and Use of Laboratory Animals. National Academies Press (US). Washington (DC). 2011. DOI: 10.17226/12910
- 8. Руководство по экспертизе лекарственных средств. Том I. М.: Гриф и K; 2013. 328 с. [Rukovodstvo po ekspertize lekarstvennyh sredstv. Tom I. Moscow: Grif i K; 2013. (In Russ).]

- 9. Руководство по экспериментальному (доклиническому) изучению новых фармакологических веществ. Методические указания по изучению общетоксического действия фармакологических веществ. Изучение «хронической» токсичности. М.: Медицина; 2005. 47–54 с. [Guideline for Experimental (Preclinical) Studying of New Pharmacological Substances. Metodicheskie ukazaniya po izucheniyu obshchetoksicheskogo deistviya farmakologicheskikh veshchestv. Izuchenie «khronicheskoi» toksichnosti. Moscow: Medicine; 2005. P.41-47 (In Russ).]
- 10. Diehl KH, Hull R, Morton D, et al. A good practice guide to the administration of substances and removal of blood, including routes and volumes. *Journal of Applied Toxicology*. 2001;21:15–23.
- 11. Исследование системы крови в клинической практике. / Под ред. Г.И. Козинца, В.А. Макарова. М.: Триада-X; 1997. [Studies of Blood System in Clinical Practice. Ed by Kozinets GI, Makarov VA. Moscow: Triada-X; 1997 (In Russ).]
- 12. Микроскопическая техника. Руководство для врачей и лаборантов. / Под ред. Д.С. Саркисова и Ю.Л. Перова. М.: Медицина; 1996 [Mikroskopicheskaya tekhnika. Rukovodstvo dlya vrachei i laborantov. Ed by Sarkisov DS, Perov YuL. Moscow: Medicine; 1996. (In Russ).]
- 13. Сапожников А.Г., Доросевич А.Е. Гистологическая и микроскопическая техника: Руководство. Смоленск: CAУ; 2000. [Sapozhnikov AG, Dorosevich AE. Gistologicheskaya i mikroskopicheskaya tekhnika: Rukovodstvo. Smolensk: SAU; 2000. (In Russ).]
- 14. Меркулов Г.А. *Курс патологогистологической техники*. 5-е изд., испр. и доп. Ленинград: Медицина; Ленингр. отд-ние, 1969. [Merkulov GA. *Kurs patologogistologicheskoi tekhniki*. Leningrad: Medicine; 1969. [In Russ).]
- 15. Гланц С. *Медико-биологическая статистика*. М.: Практика; 1998, 359 с. [Glanc S. *Mediko-biologicheskaya statistika*. Moscow: Praktika; 1998. 359 s. (In Russ).]
- 16. Беленький М.Б. Элементы количественной оценки фармакологического эффекта. М.: Изд. Мед. Литература; 1963. [Belen'kii M.B. Elementy kolichestvennoi otsenki farmakologicheskogo effekta. Leningrad: Medgiz; 1963. (In Russ.)]
- 17. *Проблемы нормы в токсикологии* / под ред. проф. И.М. Трахтенберга. М.: «Медицина»; 1991. 203 с. [*Problemy normy v toksikologii*. Ed by prof. IM Trahtenberga. Moscow: «Medicina»; 1991. (In Russ).]
- 18. Справочник Физиологические, биохимические и биометрические показатели нормы экспериментальных животных / под ред. Макарова В.Г., Макаровой М.Н. СПб.: «Лемма»: 2013. 116 с. [Spravochnik Fiziologicheskie, biohimicheskie i biometricheskie pokazateli normy eksperimental'nyh zhivotnyh. Ed by. Makarova VG, Makarovoj MN. S-Peterburg: «Lemma»; 2013. (In Russ).]

Исследование аллергизирующих свойств и иммунотоксического действия лекарственного препарата Гомеовокс

Коваленко Л. П., Иванова Е. А., Лапицкая А. С., Коржова К. В., Журиков Р. В.

ФГБНУ «НИИ фармакологии имени В.В. Закусова», Москва

Аннотация. Проведено исследование аллергизирующих свойств и иммунотоксического действия лекарственного препарата Гомеовокс. Гомеовокс — многокомпонентный гомеопатический препарат, который применяется при ларингитах различной этиологии. *Методы*. Исследование аллергизирующих свойств и иммунотоксического действия лекарственного препарата Гомеовокс выполнено на 80 самцах морских свинок альбиносов и на 180 самцах мышей линий СВА, С57ВL/6, гибридах F1(СВАхС57ВL/6). При оценке иммунотоксичности Гомеовокс вводили мышам перорально 14 дней в дозах 100 мг/кг и 1 000 мг/кг, при изучении аллергенности Гомеовокса морским свинкам альбиносам препарат вводили также в дозах 100 мг/кг и 1 000 мг/кг огласно стандартным схемам иммунизации. *Результаты*. 14-дневное пероральное введение Гомеовокса в дозах 100 мг/кг и 1000 мг/кг мышам не вызывало значимых изменений основных показателей иммунного ответа по сравнению с контролем. При оценке аллергенности введение препарата Гомеовокс по стандартной схеме иммунизации в дозах 100 мг/кг и 1 000 мг/кг не вызывало у морских свинок альбиносов системной реакции анафилаксии и реакции активной кожной анафилаксии. После иммунизации морских свинок Гомеовоксом в тех же дозах в смеси с полным адъювантом Фрейнда у животных не выявлено аллергических реакций замедленного типа. Однократное введение препарата Гомеовокс перорально в дозе 1 000 мг/кг мышам линии СВА вызвало значимое уменьшение реакции воспаления на конканавалин А — на 58,4 %. *Заключение*. Препарат Гомеовокс в диапазоне изученных доз не обладает иммунотоксическим действием и не вызывает аллергических реакций немедленного, замедленного типа и псевдоаллергических реакций.

Ключевые слова: лекарственный препарат Гомеовокс; таблетки; покрытые оболочкой гомеопатические; фагоцитоз; хемилюминесценция; гуморальный иммунный ответ; клеточный иммунный ответ; иммунотоксичность; реакция системной анафилаксии; гиперчувствительность замедленного типа; реакция воспаления на конканавалин А

Для цитирования:

Коваленко Л.П., Иванова Е.А., Лапицкая А.С., Коржова К.В., Журиков Р.В. Исследование аллергизирующих свойств и иммунотоксического действия лекарственного препарата Гомеовокс // *Фармакокинетика и фармакодинамика.* – 2019. – № 4. – С. 45–48. DOI: 10.37489/2587-7836-2019-4-45-48

Evaluation of allergenic properties and immunotoxicity of Homeovox

Kovalenko LP, Ivanova EA, Lapickaya AS, Korzhova KV, Zhurikov RV FSBI «Zakusov Institute of Pharmacology», Moscow

Abstract. Homeovox, a multicomponent homeopathic treatment for laryngitis of various etiologies, was tested for allergenic properties and immunotoxicity. *Methods.* 80 male albino guinea pigs and 180 male CBA, C57BL/6 and F1 hybrid (CBAxC57BL/6) mice were used in the study. In order to assess immunotoxicity, Homeovox was administrated orally to mice for 14 days at doses of 100 mg/kg and 1 000 mg/kg. To assess the allergenic properties of Homeovox, albino guinea pigs were also given the drug at doses of 100 mg/kg and 1 000 mg/kg according to the standard immunization schedules. *Results.* Oral administration of Homeovox to mice for 14 days at doses of 100 mg/kg and 1 000 mg/kg did not cause significant changes in the main characteristics of immune response compared to controls. When assessing allergenicity, Homeovox at doses 100 mg/kg and 1 000 mg/kg administered according to the standard immunization schedules did not induce systemic anaphylaxis or active skin anaphylaxis in albino guinea pigs. The immunization of guinea pigs by Homeovox at the same doses in a mixture with Freund's complete adjuvant caused no delayed allergic reactions. Homeovox at a single oral dose of 1 000 mg/kg significantly decreased concanavalin A-induced inflammation in CBA mice by 58.4 %. *Conclusion*. Within the dosage range investigated, Homeovox does not induce immunotoxicity, immediate- or delayed-type allergic or pseudoallergic reactions.

Keywords: Homeovox; homeopathic coated tablets; phagocytosis; chemiluminescence; humoral immune response; cellular immune response; immunotoxicity; systemic anaphylaxis; delayed hypersensitivity; concanavalin A-induced inflammation

For citations

Kovalenko LP, Ivanova EA, Lapickaya AS, Korzhova KV, Zhurikov RV. Evaluation of allergenic properties and immunotoxicity of Homeovox. *Farmakokinetika i farmakodinamika*. 2019;4:45–48. (In Russ). DOI: 10.37489/2587-7836-2019-4-45-48

Введение

Согласно данным литературы, гомеопатический препарат Гомеовокс может длительно применятся у детей и взрослых при ларингитах различной этиологии, показан детям старше 1 года. Вопрос о выборе препарата детям младшего возраста для лечения больных с дисфонией достаточно сложен, так как не все аллопатические препараты могут использоваться длительно и непрерывно, а на фоне приёма гомеопатических препаратов случаи передозировки и/или зависимости практически не встречаются. Препарат Гомеовокс наиболее эффективен в лечении острых ларингитов и мутационной дисфонии, купирует воспаление, оказывает

муколитическое действие, способствует разжижению мокроты, делает её менее вязкой и облегчает её выведение из лёгких, ускоряя выздоровление [1, 2]. Препарат Гомеовокс также используется и с профилактической целью, особенно у больных с рецидивирующими ларингитами на фоне ОРВИ, а также у лиц голосо-речевых профессий. Органические нарушения голоса, приводящие к изменению структуры складкового отдела гортани, верхних и нижних дыхательных путей, обусловлены различной патологией: воспалительной, аллергической, нарушением инервации или другими причинами [3], поэтому исследование аллергизирующих свойств и иммунотоксического действия препарата Гомеовокс является актуальной задачей.

Целью данной работы являлось изучение аллергизирующих свойств и иммунотоксического действия гомеопатического препарата Гомеовокс.

Материалы и методы

Исследование аллергизирующих свойств и иммунотоксического действия лекарственного препарата Гомеовокс выполнено на сертифицированных лабораторных животных — 180 самцах мышей линий CBA, C57BL/6, гибридах F1(CBAxC57BL/6) массой 18-20 г, 80 самцах морских свинок альбиносов массой 250—300 г, клинически здоровых особях, полученных из питомников «Андреевка» и «Столбовая» ФГБУН «НЦБМТ» ФМБА России. Животных содержали при 12-часовом световом режиме на стандартном сбалансированном брикетированном корме со свободным доступом к пище и воде при естественном освещении и температуре воздуха 20-24 °C. Эксперименты проводили в соответствии с международными и российскими нормативно-правовыми документами: Директивой 2010/63/EU Европейского Парламента и Совета Европейского Союза от 22 сентября 2010 года по охране животных, используемых в научных целях, и приказом Минздрава России №199 от 1 апреля 2016 года «Об утверждении правил надлежащей лабораторной практики». Животные содержались в соответствии с санитарно-эпидемиологическими правилами СП 2.2.1.3218-14 «Санитарно-эпидемиологические требования к устройству, оборудованию и содержанию экспериментально-биологических клиник (вивариев)», утверждёнными постановлением Главного государственного санитарного врача Российской Федерации от 29 августа 2014 г. № 51. Проведение экспериментов одобрено Комиссией по биомедицинской этике ФГБНУ «НИИ фармакологии имени В.В. Закусова» (протокол № 3 от 7 марта 2019 г.).

При оценке иммунотоксичности препарата Гомеовокс мышам опытных групп 14 дней перорально вводили Гомеовокс в дозах 100 мг/кг и 1 000 мг/кг. Животным контрольных групп вводили 1 % раствор крахмала. При изучении аллергенности Гомеовокса морским свинкам альбиносам опытных групп вводили препарат в дозах 100 мг/кг и 1 000 мг/кг согласно стандартным схемам иммунизации [4—6]. Животным контрольных групп вводили 1 % раствор крахмала.

При изучении иммунотоксичности лекарственного препарата Гомеовокс использовали следующие методы:

- определение массы и клеточности органов иммунной системы мышей-гибридов F1 (CBAxC57BL/6);
- оценка фагоцитарной активности перитонеальных макрофагов мышей-гибридов F1 (CBAxC57BL/6);
- оценка активности нейтрофилов в тесте хемилюминесценции на мышах-гибридах F1 (CBAxC57BL/6);
- постановка реакции гиперчувствительности замедленного типа на мышах-гибридах F1 (CBAxC57BL/6);

 постановка реакции геммаглютинации на мышах линии СВА и линии С57BL/6.

При оценке аллергенности Гомеовокса проводили постановку реакции общей системной анафилаксии и активной кожной анафилаксии на морских свинках альбиносах; при изучении реакции гиперчувствительности замедленного типа морских свинок альбиносов иммунизировали Гомеовоксом в смеси с полным адъювантом Фрейнда. Наличие псевдоаллергических реакций на Гомеовокс изучали в реакции воспаления на неиммунологический активатор конканавалин А на мышах линии СВА.

Статистический анализ данных проводили с помощью программы Statistica 10.0. Проверку выборок на нормальность распределения осуществляли по критерию Шапиро—Уилка. В случае нормального распределения в экспериментальных группах дальнейшую обработку проводили с помощью метода параметрической статистики t-критерия Стьюдента. При отсутствии нормального распределения в экспериментальных группах дальнейшую обработку проводили с помощью метода непараметрической статистики Манна—Уитни. Различия считали статистически значимыми при p < 0.05. Результаты в таблицах представлены как среднее \pm ошибка среднего.

Результаты и обсуждение

При оценке иммунотоксичности лекарственного препарата Гомеовокс было выявлено, что 14-дневное пероральное введение препарата в дозах 100 мг/кг и 1 000 мг/кг мышам-гибридам F1 (CBA×C57BL/6) вызвало значимое увеличение массы тимуса по сравнению с данными контрольной группы, остальные показатели в опытных группах значимо не отличались от контрольных значений (табл. 1). Двухнедельное пероральное введение препарата Гомеовокс в дозе

Tаблица 1 Индексы массы лимфоидных органов (% от массы тела) мышей-самцов F_1 (CBA×C57BL/6) при пероральном введении лекарственного препарата Гомеовокс в течение 14 дней

Органы	Группы			
лимфоидной системы, $n = 10$	Контрольная, 1% раствор крахмала (перорально)	Гомеовокс, 100 мг/кг (перорально)	Гомеовокс, 1 000 мг/кг (перорально)	
Селезёнка	0,365±0,017	0,335±0,011	0,352±0,015	
Тимус	0,203±0,013	0,249±0,014*	0,252±0,007*	
Подколенные лимфоузлы	0,059±0,033	0,031±0,001	0,032±0,002	

Примечания: n — количество животных; * — p < 0,05 по сравнению с контрольной группой, получавшей 1 % раствор крахмала, t-критерий Стьюдента.

 $1\ 000\ \mathrm{Mr/kr}$ значимо (p < 0.01) уменьшило показатель клеточности тимуса по сравнению с контрольной группой и не влияло на клеточность селезёнки и подколенных лимфатических узлов. Двухнедельное пероральное введение препарата в дозе $100\ \mathrm{Mr/kr}$ не вызывало значимого изменения клеточности тимуса, селезёнки и подколенных лимфатических узлов (табл. 2).

Таблица 2

Индексы клеточности лимфоидных органов мышей-самцов F1 (CBA×C57BL/6) при пероральном введении лекарственного препарата Гомеовокс в течение 14 дней

Органы	Индекс клеточности $\frac{n \times 10^6 \text{клеток}}{\text{мл} \times \Gamma_{\text{органа}}}$			
лимфоидной системы, n = 10	Контрольная, 1% раствор крахмала (перорально)	Гомеовокс, 100 мг/кг (перорально)	Гомеовокс, 1 000 мг/кг (перорально)	
Подколенные лимфоузлы	10,7±0,9	10,5±0,8	10,5±0,8	
Тимус	76,6±5,0	86,2±12,0	29,3±8,7*	
Селезёнка	63,0±2,8	70,5±6,2	58,1±4,5	

Примечания: n — количество животных; * — p < 0,01 по сравнению с контрольной группой, получавшей 1 % раствор крахмала, t-критерий Стьюдента.

Курсовое введение препарата Гомеовокс в дозах 100 мг/кг и 1 000 мг/кг не влияло на фагоцитарную активность перитонеальных макрофагов у мышей-гибридов F1 (CBA×C57BL/6). Введение препарата Гомеовокс в дозах 100 мг/кг и 1 000 мг/кг не оказывало

значимого влияния на параметры хемилюминесценции полиморфноядерных гранулоцитов, активированных опсонизированным зимозаном, у мышей-гибридов $F1(CBA \times C57BL/6)$.

При оценке аллергенности введение препарата Гомеовокс по стандартной схеме иммунизации в дозах 100 мг/кг и 1 000 мг/кг не вызывало у морских свинок альбиносов системной реакции анафилаксии и реакции активной кожной анафилаксии. После иммунизации морских свинок Гомеовоксом в тех же дозах в смеси с полным адъювантом Фрейнда у животных не выявлено аллергических реакций замедленного типа.

Однократное введение препарата Гомеовокс перорально в дозе $1\,000\,\mathrm{mr/kr}$ мышам линии СВА вызвало значимое уменьшение реакции воспаления на конканавалин А — на $58,4\,\%$. Лекарственный препарат Гомеовокс в дозе $100\,\mathrm{mr/kr}$ значимого влияния на реакцию воспаления на конканавалин А у мышей линии СВА не оказывал.

Заключение

Результаты проведённого комплексного исследования позволяют заключить, что гомеопатический лекарственный препарат Гомеовокс в диапазоне изученных доз не обладает иммунотоксическим действием и не вызывает аллергических реакций немедленного, замедленного типа и псевдоаллергических реакций. Проведённое исследование не установило данных, препятствующих клиническому применению лекарственного препарата Гомеовокс, таблетки, покрытые оболочкой гомеопатические.

СВЕДЕНИЯ ОБ АВТОРАХ

Коваленко Лариса Петровна Автор, ответственный за переписку

e-mail: kovalenko.larisa@mail.ru ORCID ID:0000-0002-2083-0832

SPIN-код: 5185-4250

д. б. н., в. н. с. лаборатории лекарственной токсикологии ФГБНУ «НИИ фармакологии имени В.В. Закусова», Москва

Иванова Елена Анатольевна

ORCID ID: 0000-0003-4961-2051

SPIN-кол: 5005-0337

к. фарм. н., с. н. с. лаборатории лекарственной токсикологии ФГБНУ «НИИ фармакологии имени В.В. Закусова», Москва

Kovalenko Larisa Corresponding author

e-mail: kovalenko.larisa@mail.ru ORCID ID:0000-0002-2083-0832

SPIN code: 5185-4250

Doctor of Biological Sciences, Leading Researcher of drug toxicology department FSBI «Zakusov

institute of Pharmacology», Moscow

Ivanova Elena

ORCID ID: 0000-0003-4961-2051

SPIN code: 5005-0337

Candidate of Pharmaceutical Sciences, Senior Researcher of drug toxicology department FSBI «Zakusov institute of Pharmacology», Moscow

Лапицкая Анастасия Сергеевна

к. б. н., с. н. с. лаборатории диагностики и профилактики инфекционных заболеваний ФБУН МНИИЭМ им. Габричевского, Москва

Коржова Ксения Витальевна

ORCID ID: 0000-0002-8087-4976

SPIN-код: 3831-3782

м. н. с. лаборатории лекарственной токсикологии ФГБНУ «НИИ фармакологии имени В.В. Закусова», Москва

Журиков Руслан Владимирович

ОŘČID ID:0000-0003-1084-690X SPIN-код: 6648-1794 м. н. с. лаборатории лекарственной токсикологии ФГБНУ «НИИ фармакологии имени В.В. Закусова», Москва

Lapickaya Anastasiya

Candidate of Biological Sciences, Senior Researcher of diagnosis and prevention of infectious diseases department Gabrichevsky Institute of Epidemiology and Microbiology, Moscow

Korzhova Kseniya

ORCID ID: 0000-0002-8087-4976

SPIN code: 3831-3782

Junior Researcher of drug toxicology department FSBI «Zakusov institute of Pharmacology»,

Moscow

Zhurikov Ruslan

ORCID ID:0000-0003-1084-690X SPIN code: 6648-1794

Junior Researcher of drug toxicology department FSBI «Zakusov institute of Pharmacology»,

Moscow

Литература / References

- 1. Гусейнов А.К., Ивашев М.Н. Синергизм лецитина и гомеовокса // Международный журнал медицинского образования. 2017. № 5. С. 32-33. [Gusejnov AK, Ivashev MN. Sinergizm lecitina i gomeovoksa. Mezhdunarodnyj zhurnal medicinskogo obrazovaniya. 2017;(5):32—33. (In Russ).]
- 2. Радциг Е.Ю. Нарушения голоса у детей и подростков и их лечение гомеопатическим препаратом Гомеовокс // Педиатрия. 2009. Т. 88. № 6. С. 130—136. [Radcig EYu. Narusheniya golosa u detej i podrostkov i ih lechenie gomeopatiche-skim preparatom Gomeovoks. *Pediatriya*. 2009;88(6):130—136. (In Russ).]
- 3. Радциг Е.Ю., Ермилова Н.В. Нарушения голоса в различные периоды его становления: причины и алгоритм ведения пациентов // Российский медицинский журнал. 2016. № 4. С. 217—220. [Radcig EYu, Ermilova NV. Voice disorders at different stages of its maturation: the causes and patient management. Rossijskij medicinskij zhurnal. 2016;(4): 217—220. (In Russ).]
- 4. Коваленко Л.П., Федосеева В.Н., Дурнев А.Д., и др. Методические рекомендации по оценке аллергизирующих свойств лекарственных средств. Руководство по проведению доклинических исследований лекарственных средств. Часть первая. / под ред. А.Н. Миронова. М.: Гриф и К; 2012. С. 51—63. [Kovalenko LP, Fedoseeva VN, Durnev AD,

- et al. Metodicheskie rekomendacii po ocenke allergiziruyushchih svojstv lekarstvennyh sredstv. Rukovodstvo po provedeniyu doklinicheskih issledovanij lekarstvennyh sredstv. Part one. / Ed by AN Mironova. Moscow: Grif i K; 2012. p. 51–63. (In Russ).]
- 5. Хаитов Р.М., Иванова А.С., Коваленко Л.П., и др. Методические рекомендации по оценке иммунотоксического действия фармакологических веществ. Руководство по проведению доклинических исследований лекарственных средств. Часть первая. / Под ред. А.Н. Миронова. М.: Гриф и К; 2012. С. 64–79. [Haitov RM, Ivanova AS, Kovalenko LP, et al. Metodicheskie rekomendacii po ocenke immunotoksicheskogo dejstviya farmakologicheskih veshchestv. Rukovodstvo po provedeniyu doklinicheskih issledovanij lekarstvennyh sredstv. Part one. / Ed by AN Mironova. Moscow: Grif i K; 2012. p. 64–79. (In Russ).]
- 6. Хаитов Р.М., Гущин И.С., Пинегин Б.В., и др. Методические рекомендации по доклиническому изучению иммунотропной активности фармакологических веществ. Руководство по проведению доклинических исследований лекарственных средств. Часть первая. / под ред. А.Н. Миронова. М.: Гриф и К; 2012. С. 626–656. [Haitov RM, Gushchin IS, Pinegin BV, et al. Metodicheskie rekomendacii po doklinicheskomu izucheniyu immunotropnoj aktivnosti farmakologicheskih veshchestv. Rukovodstvo po provedeniyu doklinicheskih issledovanij lekarstvennyh sredstv. Part one. / Ed by AN Mironova. Moscow: Grif i K; 2012. p. 626–656. (In Russ).]

УЧЕБНЫЕ ПОСОБИЯ



«УПРАВЛЕНИЕ КЛИНИЧЕСКИМИ ИССЛЕДОВАНИЯМИ»

описывает методологию эффективного управления проектом по изысканию, разработке и выводу на фармацевтический рынок лекарственных средств, начиная с этапа поиска перспективных химических соединений, проведения доклинических испытаний веществ-кандидатов, клинических исследований лекарств-кандидатов, фармаконадзора, управления данными, анализа полученных данных, составления окончательного отчёта об исследовании, получения регистрационного удостоверения, публикации результатов, заканчивая организацией пострегистрационных исследований безопасности, проведением неинтервенционных и фармакоэпидемиологических исследований, а также процесс обеспечения качества, проведения аудита и инспекций уполномоченных органов здравоохранения, создания стандартных операционных процедур, архивирования документов исследования. Изложенный материал основывается на современных регулирующих требованиях законодательства Российской Федерации и государств членов Евразийского экономического союза.



«ФАРМАКОНАДЗОР» описывает методологию фармаконадзора, организацию пострегистрационных исследований безопасности, фармакоэпидемиологических и неинтервенционных исследований, организация системы фамаконадзора в фармацевтической компании, чрезвычайные ситуации в клинических исследованиях, особенности фармаконадзора у беременных и кормящих. Изложенный материал основывается на современных регулирующих требованиях законодательства Российской Федерации и государств – членов Евразийского экономического союза.



«ВКЛЮЧЕНИЕ ЛЕКАРСТВЕННЫХ ПРЕПАРАТОВ В ОГРАНИЧИТЕЛЬНЫЕ ПЕРЕЧНИ: ПОШАГОВЫЙ

АЛГОРИТМ» - это невероятно полезный и компактный ресурс по подготовке Предложения на включение в ограничительные Перечни лекарственных препаратов. После прочтения этой книги процесс включения в Перечни сложится из разрозненных пазлов в единую картину. На страницах книги авторы профессионально, шаг за шагом, подробно и доходчиво объясняют методы сбора доказательной базы, рассказывают о методологии проведения сравнительной оценки эффективности и безопасности, клинико-экономических исследований и анализа влияния на бюджет, современных рекомендациях по подготовке Предложения на включение в ограничительные Перечни. Изложенный материал основывается на современных регулирующих требованиях законодательства Российской Федерации.

Приобрести книги можно по тел. +7 (910) 449-22-73 или e-mail: eva88@list.ru ООО «Издательство ОКИ», https://izdat-oki.ru